

# Tehniium

REVISTĂ LUNARĂ EDITATĂ DE C.G. AL U.T.C.

ANUL XVIII - NR. 212

7/88

## CONSTRUCȚII PENTRU AMATORI

### SUMAR

**LUCRAREA PRACTICĂ DE BACALAUREAT** ..... pag. 2—3

Combină multitest  
A244D

**INIȚIERE ÎN RADIOELECTRONICĂ** ..... pag. 4—5

Pe scurt despre atenuare și  
atenuatoare  
Temporizator  
Lumină modulată

**CQ-YO** ..... pag. 6—7

Etaje RF de putere

**ATELIER** ..... pag. 8—9

Bază de timp pentru  
osciloscop

**HI-FI** ..... pag. 10—11

Circuite SONY în  
audiofrecvență  
Minicasetofon

**INFORMATICĂ** ..... pag. 12—13

Biblioteca de titluri

**AUTO-MOTO** ..... pag. 14—15

Concursul pe teme rutiere  
„Circulația '88”

**LABORATOR** ..... pag. 16—17

K.S.F. — Comutator HI-FI de  
standarde fonografice  
Stroboscop

**CITITORII RECOMANDĂ** ..... pag. 18—19

Comutator senzorial  
Dispozitiv pentru tăiat tabla  
Tambur electronic

**FOTOTEHNICĂ** ..... pag. 20—21

Meopta Color 3  
Becul cu halogeni —  
utilizare îndelungată

**REVISTA REVISTELOR** ..... pag. 22

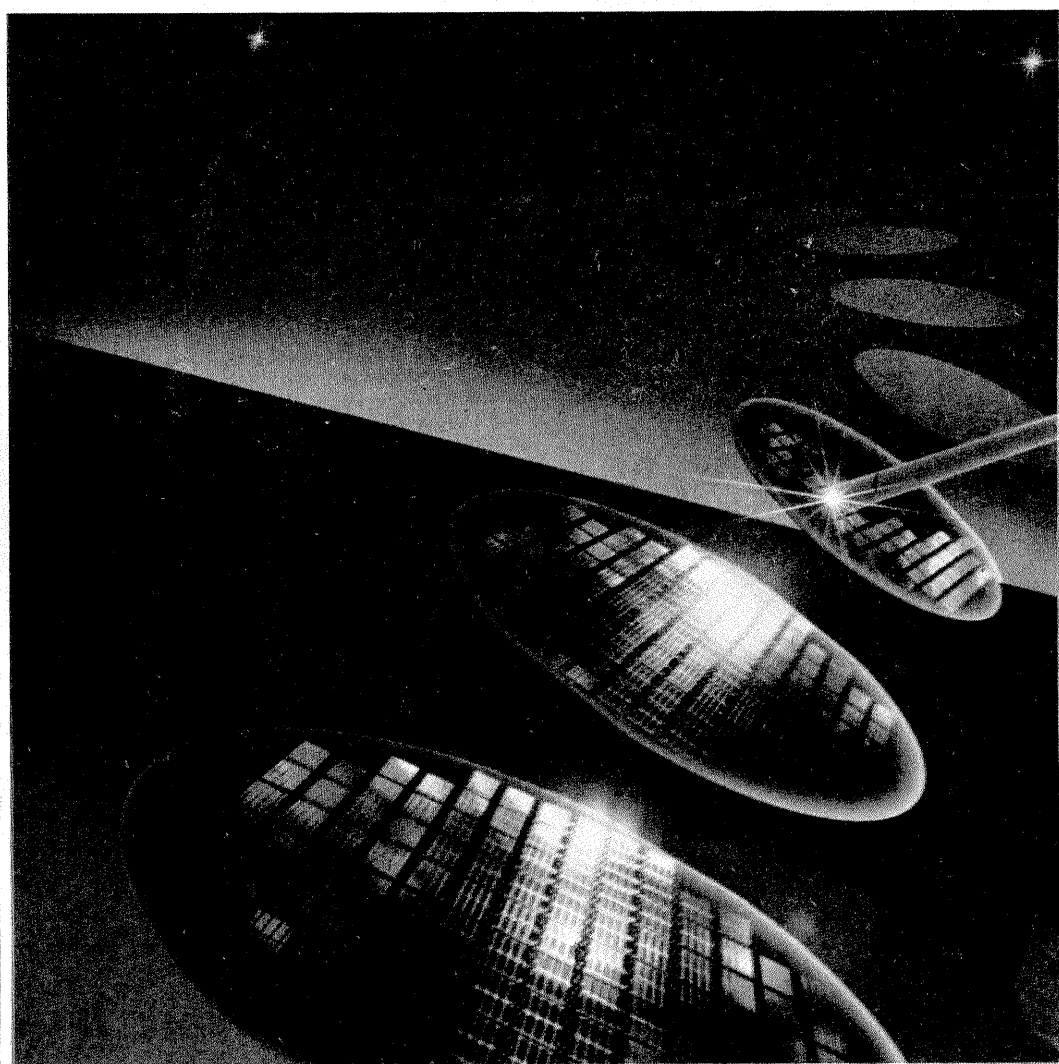
Amplificator 50 W  
Orgă de lumini  
Termometru

**PUBLICITATE** ..... pag. 23

I.A.E.M. — Timișoara

**SERVICE** ..... pag. 24

Radioreceptorul AZIMUT



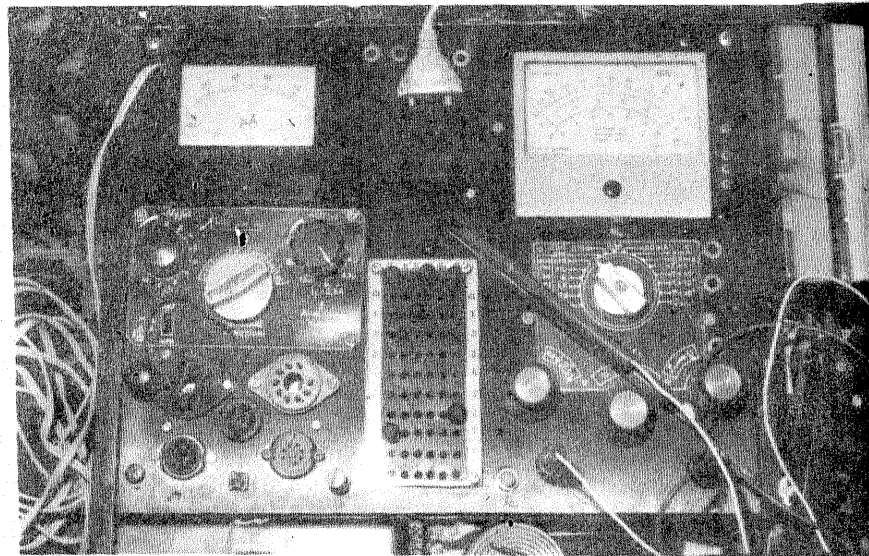
## COMBINĂ

## MULTITEST

(CITIȚI ÎN PAG. 2—3)

# LUCRAREA PRACTICĂ DE BACALAUREAT

## COMBINĂ MULTITEST

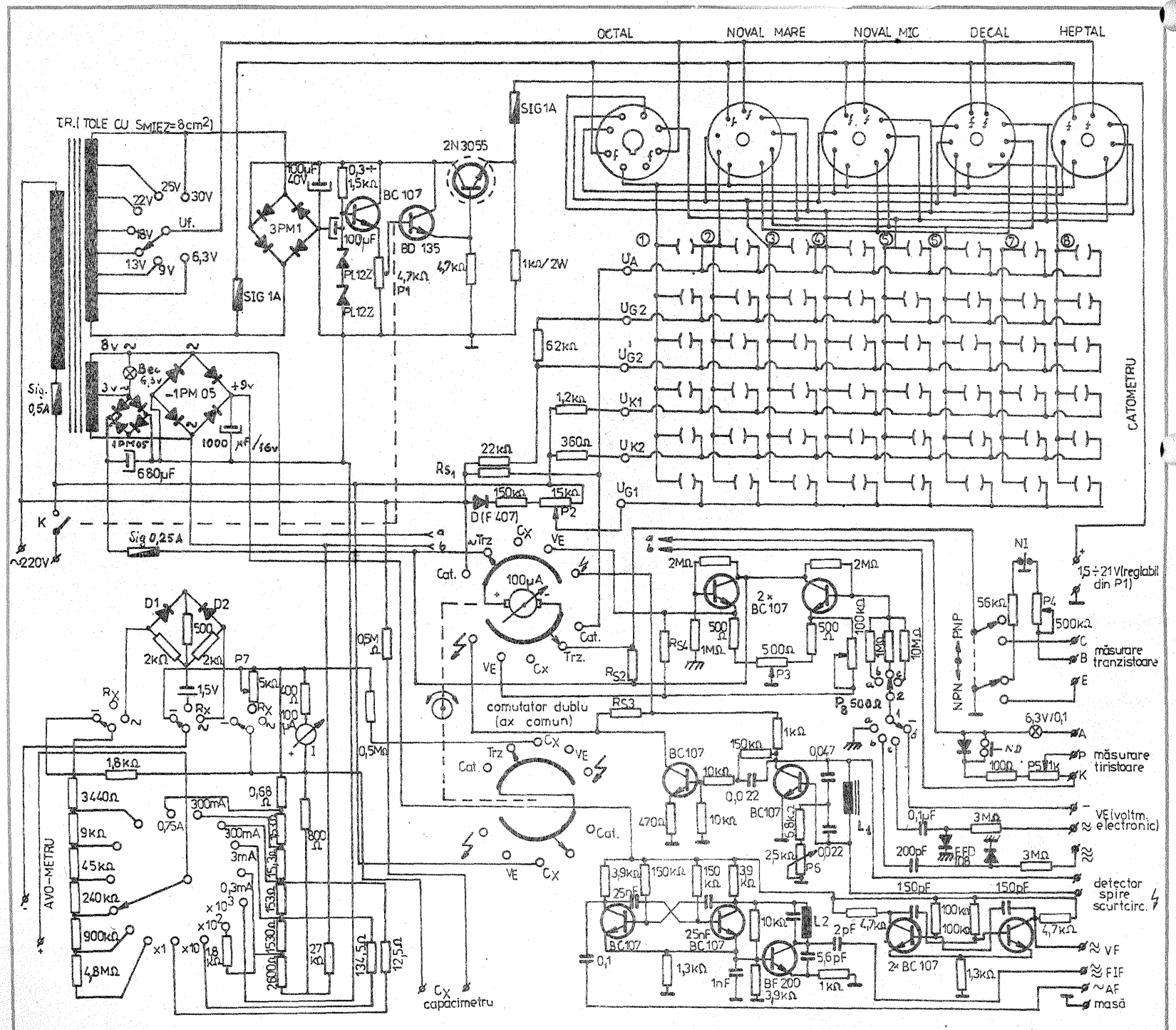


Ing. A. LEFTER, Braşov

În practica de depanare și reglaj a televizoarelor sunt necesare un minim de aparate de măsură și control (inclusiv generatoare), care facilitează mult descoperirea pieselor sau subsansamblurilor defecte.

Combina multitest realizată de autor (prezentată în fotografie) este concepută monobloc, cu alimentare comună a secțiunilor care o compun și care realizează următoarele funcțiuni:

- AVO-metru;
- catometru;
- tranzistrometru;
- capacimetru;
- generator bare TV (orizontale);
- generator A.F.;
- voltmetru electronic;
- verificator tiristoare;





- detector de spire în scurtcircuit;
- alimentator cu tensiune reglabilă.

Schema cuprinde următoarele piese principale:

Tr. — transformator de rețea de cca 30 W ( $S_{\text{ind}} = 8 \text{ cm}^2$ ); comutatoare cu contacte argintate, după cum urmează:

- 1 buc. comutator funcțiuni 2x5 poz. — dublu (etajat);
- 1 buc. comutator 1x15 poz. (pentru AVO-metru);
- 1 buc. comutator 3x3 poz. (pentru AVO-metru);
- 1 buc. comutator 1x7 poz. (pentru alimentarea filamentelor la catometru);
- 1 buc. comutator 2x2 poz. (pentru tranzistormetru);
- 2 comutatoare 1x3 și, respectiv, 1x4 poz. pentru voltmetru electronic;
- microampermetru cu sensibilitatea de 100  $\mu\text{A}$  pentru funcțiunile catometru, tranzistormetru, voltmetru electronic, detector de spire în scurtcircuit;
- microampermetru cu sensibilitatea de 100  $\mu\text{A}$  pentru AVO-metru (de la aparatul sovietic T-20);
- punte redresoare 3PM1 — 1 buc.;
- punți redresoare 1PM05 — 2 buc.;
- tranzistoare cu siliciu BC107 — 9 buc.;
- tranzistor putere medie BD135 — 1 buc.;
- tranzistor putere 2N3055 — 1 buc.;
- tranzistor de înaltă frecvență — tip BF200 — 1 buc.;
- diode EFD108 — 4 buc.;
- diode Zener — PL12Z — 2 buc.;
- socluri diferite: noval (micromare); octal; heptal; decal;
- rezistoare, potențioetre, condensatoare, siguranțe, conform schemei.

Date constructive pentru transformatorul de rețea:

$S = 8 \text{ cm}^2$  (tole E + I, oțel siliciu)

Nr. de spire pe volt:

— primar: 6 sp/V;

— secundar: 6.6 sp/V.

Diametrul sîrmei:

— primar  $\varnothing = 0.3 \text{ mm}$  CuEm;

— secundar  $\varnothing = 1 \text{ mm}$  CuEm.

Pentru evitarea comutatoarelor, care sînt greu de procurat, s-a recurs în construcția catometrului la utilizarea unei matrice cu contacte realizabile cu ajutorul unor minibobine (vezi fotografia).

Toate piesele și subsansamblurile electronice sînt prinse pe versoul panoului frontal, care se execută din material izolan rezistent (de preferință textolit) și pe care sînt montate instrumentele de măsură, comutatoarele, potențioetrele, becul și, respectiv, siguranțele (în cazul în care nu se prefera montarea lor în interior).

Sunturile  $R_{s1}$ ,  $R_{s2}$ ,  $R_{s3}$  și  $R_{s4}$  au valori experimentale cuprinse între 4,7  $\Omega$  și 150  $\Omega$ , în funcție de rezistența internă a instrumentelor folosite.

Combina multitest, construită și prezentată în articolul de față, este concepută în ideea separării perfecte a funcțiilor (evitarea interferențelor periculoase, mai ales cu capacimetrul, care este alimentat în c.a.). O dată construită, ea dă posesorului satisfacție deplină prin posibilitățile multiple de măsură și control pe care le conferă și prin construcția monobloc care presupune comoditate în exploatare.

### DESCRIEREA APARATULUI

Combina, concepută și realizată prin asamblarea mai multor module funcționale pe versoul unui panou frontal din textolit pe care sînt montate instrumentele de măsură, comutatoarele, potențioetrele, siguranțele și diferitele bucșe pentru intrări-ieșiri (după cum se vede în fotografie), este relativ ușor de construit și nu pune probleme deosebite. Imaginația și bunul simț tehnic al amatorului constructor sînt decisive în realizarea unei poziționări care să confere construcției, pe lîngă un design plăcut, și comoditatea utilizării.

a) AVO-metrul are o schemă clasică derivată din cea a aparatului sovietic T-20, la care s-a adăugat capacimetrul de concepție proprie, alimentat la 220 Vc.a. și cuplat co-

respunzător la comutatorul de funcțiuni.

Gradarea instrumentului pentru capacități (în domeniul cel mai frecvent utilizat în depanări radio-TV, adică 1 nF—0,5  $\mu\text{F}$ ) se face cu ajutorul unor capacități etalon, utilizînd legări serie-paralel.

b) Voltmetrul electronic de asemenea nu pune probleme deosebite; simpla respectare a valorilor pieselor din schemă asigură intrarea în funcțiune. De menționat că în schema acestui modul, simbolul reprezintă masa comună numai pentru voltmetrul electronic, nefiind legată la punctul comun al restului schemei ( $\perp$ ), pentru evitarea unor interferențe. Montajul este stabil datorită utilizării tranzistoarelor cu siliciu și unei scheme de amplificator diferențial.

Rezistența internă este de cca 100 k $\Omega$ /V. Poziția de masă a primului comutator de selectare a pozițiilor de lucru servește calibrării pe zero a voltmetrului.

Celelalte trei poziții ale acestui comutator servesc selectării tipului de semnal supus măsurării:

1 b — semnal de înaltă frecvență (radio);

1 c — semnal de audiofrecvență;

1 d — tensiuni continue.

Comutatorul 2 servește pentru selectarea tensiunilor maxime măsurate:

2 a — 3 V;

2 b — 30 V;

2 c — 300 V.

c) Detectorul de spire în scurtcircuit funcționează pe principiul întreruperii oscilațiilor într-un circuit oscilant, atunci cînd în paralel pe acesta este cuplată o bobină avînd spire în scurtcircuit (primare de transformatoare de rețea, de ieșire audio, de ieșire cadre, primare și secundare de transformatoare de linii etc.).

Fenomenul fizic bine cunoscut, de întrerupere a oscilațiilor întreținute din circuitul oscilatorului echipat cu tranzistorul BC107, se explică prin amortizarea puternică a acestuia produsă de spirele aflate în scurtcircuit în bobina care se testează. Dacă bobina testată (avînd o inductanță minimă de 0,1 H) nu are spire în scurtcircuit, oscilația nu se între-

rupe, iar instrumentul continuă să indice valoarea inițială, de la punerea în funcțiune.

În caz contrar (cînd avem spire în scurtcircuit), prin întreruperea oscilației locale, indicația instrumentului de măsură scade aproape de zero. Nu pot fi testate inductanțe a căror valoare este sub 0,1 H (sub valoarea inductanței  $L_1$ ).

Bobina  $L_1$  poate fi construită astfel: pe un miez de ferită E + I de la un transformator driver TV (ce se poate procura din comerț) se rebobinează o singură înfășurare cu sîrmă CuEm  $\varnothing 0,1 \text{ mm}$ , cit permite fereastra miezului. Din  $P_6$  se reglează regimul optim al oscilatorului.

d) Tranzistormetrul are o schemă simplă și testează amplificarea în curent, prin variația lui  $I_c$  din  $P_4$ .

Întrerupătorul normal închis (NI) servește la determinarea lui  $I_{c0}$  (prin apăsare, adică întrerupere).

e) Schema pentru testarea tiristoarelor este deosebit de simplă. Din  $P_5$  se reglează pragul de intrare în conducție a tiristorului (prin comanda porții), moment în care becul se aprinde. Pentru încercarea tiristoarelor bidirecționale (triac) se va apăsa întrerupătorul K (normal deschis). Din  $P_5$  se reglează deschiderea tiristorului (sau triacului), deci luminozitatea becului.

f) Schema generatorului de semnal TV (miră electronică) este bine cunoscută, funcționarea acesteia bazîndu-se pe emiteria unui semnal în domeniul F.I.F. (canal 4—5) modulat cu impulsuri dreptunghiulare generate de multivibratorul din stînga. Multivibratorul din dreapta funcționează cu armonici în domeniul frecvențelor video.

Multivibratorul din stînga produce și oscilații în spectrul audio.

g) Generatorul de tensiune reglabilă (1,5—21 Vc.c.) este clasic și se realizează fără probleme.

O vedere de ansamblu a combinei multitest realizată de autor se prezintă în fotografia alăturată. După cum se poate vedea, cutia în care a fost amplasată combina are și spații ce pot fi utilizate pentru piese, scule etc.

## A 244 D

Circuitul integrat A244 produs RFT are aplicații în construcția radioreceptoarelor pentru traficul de radioamatori, în telecomanda sau pentru receptoare de radiofuziune.

La terminalele 1—2 se aplica semnalul de la antenă, terminalele 4—5—6 sînt utilizate pentru oscilator, 12—15 pentru filtrul IF, 10 pentru indicatorul de acord, iar 7 pentru ieșire IF.

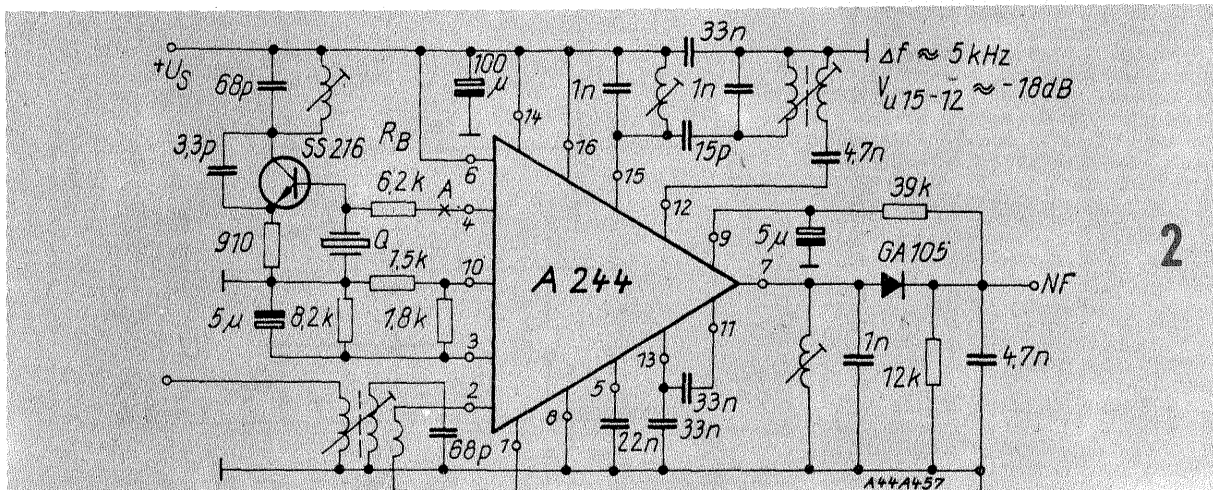
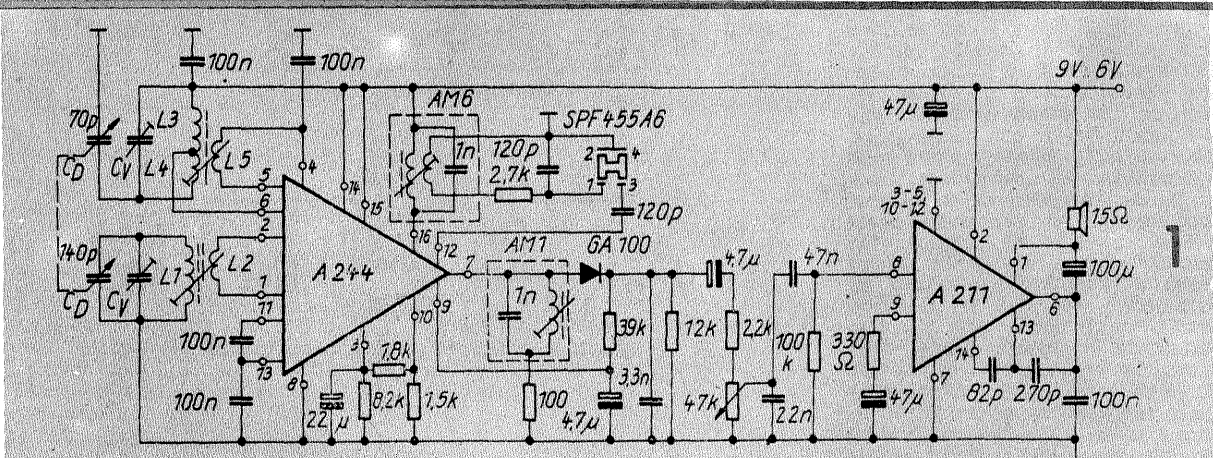
Circuitul A244 D are echivalent circuitul TCA 440 și poate funcționa pînă la 30 MHz.

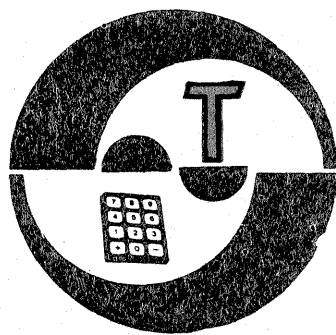
În figura 1 este prezentat un receptor pentru gama undelor medii.

Aici intrarea are bobinele pe o bară de ferită, la care  $L_1 = 95$  spire, iar  $L_2 = 9$  spire din CuEm 0,15. Oscilatorul are  $L_3 = 143$ ,  $L_4 = 55$  spire, iar  $L_5 = 25$  spire, toate din CuEm 0,5, bobinate pe o carcasă cu diametrul de 6 mm, cu miez de ferită. Celelalte circuite sînt transformatoare FI acordate pe 455 kHz. Tot în circuitul FI se montează un filtru piezoceramic de 455 kHz.

Amplificatorul audio este tot un circuit integrat A211 echivalent cu TBA 790.

În figura 2 circuitul A244 D apare în configurația unui receptor pentru telecomandă pe 27 MHz.





# INIȚIERE ÎN RADIOELECTRONICĂ

## pe scurt despre ATENUARE ȘI ATENUATOARE

(URMARE DIN NR. TRECUT)

Înainte de a trece la partea frumoasă a subiectului, să mai menționăm că și atenuarea (în tensiune, curent, putere), ca orice raport adimensional, poate fi și este frecvent exprimată în decibeli (dB), conform relațiilor:

$$a_u \text{ (dB)} = 20 \lg A_u \quad (11)$$

$$a_i \text{ (dB)} = 20 \lg A_i \quad (12)$$

$$a_p \text{ (dB)} = 10 \lg A_p \quad (13)$$

unde intervin logaritmi zecimali (în baza 10) ai rapoartelor  $A_u$ ,  $A_i$ ,  $A_p$ . Coeficienții de multiplicare diferiți (20 pentru tensiune și curent, 10 pentru putere) nu au fost întimplător aleși astfel, ci ținând cont de relațiile (6). Într-adevăr, în cazul conservării perfecte de impedanță, pe baza relațiilor (6) putem deduce ușor că:

$$a_u \text{ (dB)} = a_i \text{ (dB)} = a_p \text{ (dB)} \quad (14)$$

adică atenuările în tensiune, în curent și în putere, exprimate în decibeli, sînt egale între ele, deci putem vorbi de o singură atenuare.

### 3. CONDIȚIA DE SIMETRIE

Se învață adeseori mai bine dintr-o greșeală, dintr-o experiență cu rezultate negative, motiv pentru care vom începe și noi analiza propriu-zisă a atenuatoarelor cu un exemplu prost, respectiv cu divizorul rezistiv cel mai simplu, prezentat deja în figura 2. Ne-am convins că făcînd raportul  $R_1/R_2$  variabil, nu este posibilă conservarea adaptării de impedanță, dar să vedem ce se întîmplă dacă dorim să proiectăm acest divizor pentru un raport fix, respectiv pentru o anumită valoare dorită a atenuării. Mai precis, să considerăm din nou o sursă de semnal și un consumator adaptate perfect ca impedanță (fig. 4) și să intercalăm între ele un atenuator de forma celui din figura 2. Obținem situația reprezentată schematic în figura 8, unde problema este de a determina valorile  $R_1$  și  $R_2$  în funcție de atenuarea  $A_u$  dorită și de impedanța comună  $Z$  a sursei de semnal și a consumatorului.

Privit dinspre sursa de semnal, ansamblul atenuator + consumator are schema echivalentă din figura 9. Condiția de conservare a adaptării impune ca la bornele 1-2 să avem o impedanță echivalentă egală cu  $Z$ , adică:

$$R_1 \equiv R_1 + R_2 \parallel Z = Z \quad (15)$$

iar condiția ca atenuarea în tensiune să aibă valoarea dorită  $A_u$  se scrie

$$A_u = \frac{R_1 + R_2 \parallel Z}{R_2 \parallel Z} \quad (16)$$

Pentru concretizare numerică, să presupunem  $Z = 100 \Omega$ ,  $A_u = 10$ .

Din relația (16) putem scoate expresia  $R_2 \parallel Z = R_1/(A_u - 1)$ , pe care o introducem în relația (15) obținînd, după un calcul elementar,

$$R_1 = Z \cdot \frac{A_u - 1}{A_u} \quad (17)$$

sau numeric  $R_1 = 100 \Omega \cdot 9/10 = 90 \Omega$ , iar din relația (15) deducem  $R_2 \parallel Z = Z - R_1$ , unde putem înlocui pe  $R_1$  cu expresia (17), rezultînd  $R_2 \parallel Z = Z/A_u$ .

Dezvoltînd expresia  $R_2 \parallel Z$  după formula cunoscută de grupare în derivație și efectuînd calculele, obținem în final

$$R_2 = \frac{Z}{A_u - 1} \quad (18)$$

iar pentru exemplul numeric ales  $R_2 = 100 \Omega/9 \approx 11,1 \Omega$ .

Se poate verifica ușor că atenuatorul astfel obținut asigură o atenuare în tensiune cu valoarea dorită,  $A_u = 10$  și conservă adaptarea de impedanță la bornele 1-2, adică la cuplajul cu sursa de semnal.

Ceea ce nu este însă în regula cu atenuatorul nostru este faptul că, privit dinspre consumator (fig. 10), adică dinspre bornele 3-4, grupul atenuator plus sursă prezintă o impedanță de ieșire pronunțat diferită de  $Z$ , mai precis:

$$Z_o = R_2 \parallel (R_1 + Z) \quad (19)$$

Prin urmare, nu este îndeplinită condiția esențială de conservare a adaptării de impedanță și deci schema divizorului rezistiv din figura 2 nu se pretează la construcția unui atenuator în sensul celor discutate anterior.

Din acest exemplu prost tragem concluzia importantă că un atenuator corect proiectat trebuie să prezinte o simetrie internă intrare-ieșire. Într-adevăr, în caz de adaptare perfectă, sursa și consumatorul au aceeași impedanță  $Z$ , deci atenuatorul trebuie să prezinte și el impe-

danțe egale la bornele de intrare și cele de ieșire. Plecînd de la această observație, s-au ales schemele simetrice cele mai simple, prezentate în figurile 6 și 7 și cunoscute în literatură sub denumirile de atenuator în  $\pi$ , respectiv atenuator în T. În continuare vom analiza în detaliu aceste scheme fundamentale, care constituie practic punctul de plecare al oricărui atenuator rezistiv.

### 4. ATENUATORUL ÎN $\pi$

După cum se observă în figura 6, acest atenuator este alcătuit din trei rezistențe dispuse sub forma literei  $\pi$ , dintre care două sînt egale între ele, motiv pentru care au și fost notate ambele cu  $R_1$ . Schema este astfel perfect simetrică intrare-ieșire, avînd impedanța comună

$$Z_i = Z_o = R_1 \parallel (R_1 + R_2) \quad (20)$$

Prin urmare, bornele de intrare și cele de ieșire se pot inversa între ele, iar pentru a impune condiția de conservare a adaptării de impedanță este suficient să ne ocupăm de un singur cuplaj — de exemplu, cel cu consumatorul (fig. 11) —, celălalt tratîndu-se exact la fel, grație simetriei. Evident, pentru adaptarea de impedanță sursa conectată la bornele 1-2 trebuie să aibă tot impedanța  $Z$ .

Dimensionarea atenuatorului constă în determinarea celor două valori  $R_1$  și  $R_2$ . În acest scop avem nevoie de două relații matematice, pe care le deducem ținînd cont de valoarea impusă a atenuării în tensiune și de condiția de conservare a adaptării.

a) Condiția ca atenuarea în tensiune să aibă valoarea dorită  $A_u$  se poate deduce analizînd schema echivalentă a grupului atenuator + consumator (fig. 12). Într-adevăr, tensiunea de intrare  $U_i$  se regăsește la bornele grupului serie  $R_2 + (R_1 \parallel Z)$ , iar tensiunea de ieșire  $U_o$  la bornele grupului derivație  $R_1 \parallel Z$ , deci putem scrie:

$$A_u = \frac{U_i}{U_o} = \frac{R_2 + (R_1 \parallel Z)}{R_1 \parallel Z} \quad (21)$$

Dezvoltînd expresia  $R_1 \parallel Z$  și efectuînd calculele deducem:

$$A_u = 1 + \frac{R_2 + R_2}{R_1} \quad (22)$$

adică o primă relație între mărimile necunoscute  $R_1$ ,  $R_2$  și datele inițiale ale problemei,  $A_u$  și  $Z$ .

b) Condiția de conservare a adaptării cere ca impedanța de intrare  $Z_i$  a grupului atenuator plus consumator să fie egală cu impedanța  $Z$  a consumatorului, adică:

$$Z_i = Z = R_1 \parallel [R_2 + (R_1 \parallel Z)] \quad (23)$$

Efectuînd și aici calculele, obținem cea de-a doua relație căutăată,

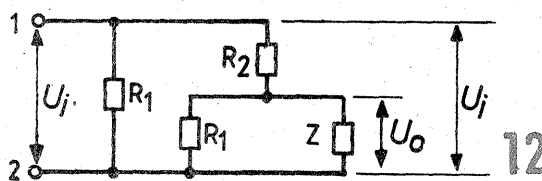
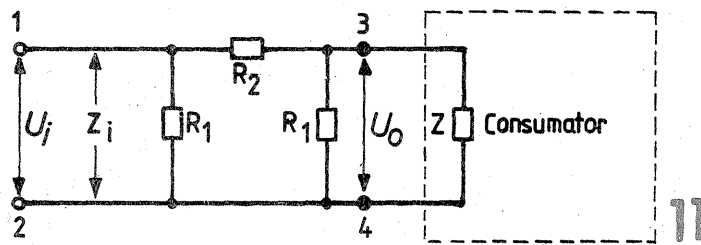
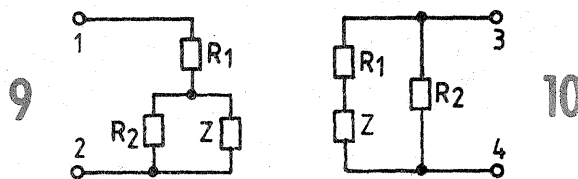
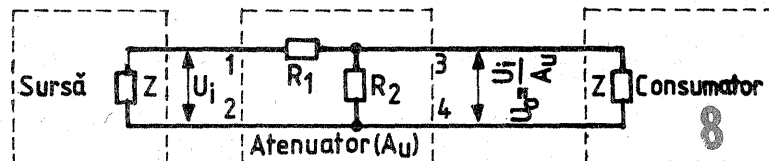
$$R_2 = \frac{2R_1 Z^2}{R_1^2 - Z^2} \quad (24)$$

iar prin rezolvarea în raport cu  $R_1$  și  $R_2$  a sistemului de ecuații (22) și (24) obținem soluția problemei:

$$R_1 = \frac{A_u + 1}{A_u - 1} \cdot Z \quad (25)$$

$$R_2 = \frac{A_u^2 - 1}{2A_u} \cdot Z \quad (26)$$

Exemplul nr. 1. Sursa de semnal și consumatorul au aceeași impedanță,  $Z = 75 \Omega$ , și se cere să se in-





tercazele între ele un atenuator în  $\pi$  care să nu afecteze adaptarea de impedanță și să asigure o atenuare în tensiune  $A_u = 10$ .

Practic nu avem decât să înlocuim în expresiile (25) și (26) valorile  $A_u$  și  $Z$  impuse:

$$R_1 = \frac{10 + 1}{10 - 1} \cdot 75 \Omega \approx 91,66 \Omega;$$

$$R_2 = \frac{100 - 1}{2 \cdot 10} \cdot 75 \Omega \approx 371,25 \Omega.$$

Valorile  $R_1$  și  $R_2$  reieșite din calcul pot fi rotunjite în funcție de exigențele problemei concrete (în general, o abatere maximă de  $\pm 1\%$  este acceptabilă).

În alte situații practice, datele inițiale ale problemei se referă la atenuarea în putere sau în curent, iar foarte frecvent aceste atenuări sînt exprimate în decibeli, nu în rapoartele definite prin relațiile (2), (7) și (8). Deoarece ne ocupăm aici exclusiv de cazul particular al adaptării (teoretic) perfecte de impedanță, putem utiliza concluziile formulate în paragraful 2, respectiv relațiile (10) — (14) care exprimă interdependența dintre mărimile  $A_u$ ,  $A_i$ ,  $A_p$ ,  $a_u$  (dB),  $a_i$  (dB),  $a_p$  (dB). Evident, soluția atenuatorului în  $\pi$  exprimată prin relațiile (25) și (26) este valabilă ca atare numai pentru atenuarea  $A_u$  dată ca raport sau atenuarea  $A_i$  ca raport, numeric egală cu  $A_u$  în cazul nostru particular.

**EXEMPLUL NR. 2.** Se dau  $Z = 50 \Omega$  și  $a_u = 20$  dB și se cer valorile  $R_1$ ,  $R_2$  ale atenuatorului în  $\pi$  corespunzător.

Conform definiției (11), deducem  $lg A_u = a_u/20 = 1$ , deci  $A_u = 10$ . Înlocuind în (25) și (26), obținem:

$$R_1 = \frac{10 + 1}{10 - 1} \cdot 50 \Omega \approx 61,11 \Omega;$$

$$R_2 = \frac{100 - 1}{20} \cdot 50 \Omega \approx 247,5 \Omega.$$

**EXEMPLUL NR. 3.** Se cere realizarea unui atenuator în  $\pi$  pentru  $Z = 75 \Omega$  și o atenuare în putere  $A_p = 10$ .

Relația (10) ne conduce la valoarea atenuării în tensiune,  $A_u = \sqrt{A_p} = \sqrt{10} \approx 3,16$ . Înlocuind în (25) și (26) obținem:

$$R_1 = \frac{3,16 + 1}{3,16 - 1} \cdot 75 \Omega \approx 144,44 \Omega;$$

$$R_2 = \frac{10 - 1}{6,32} \cdot 75 \Omega \approx 106,80 \Omega.$$

(CONTINUARE ÎN NR. VIITOR)

# TEMPORIZATOR

Montajul alăturat a fost conceput pentru oprirea automată a unor consumatori alimentați de la rețea după un interval de timp prestabilit, reglabil din potențiometrul P. În funcție de valorile componentelor P (100 k $\Omega$  — 1 M $\Omega$ ) și  $C_3$  (47  $\mu$ F — 1 000  $\mu$ F) din circuitul propriu-zis de temporizare, durata maximă poate fi aleasă de la câteva secunde pînă la ordinul sutelor de secunde. Cu valorile indicate în schemă s-a obținut o plajă maximă de cca 70 s, suficientă — de exemplu — pentru utilizarea montajului ca temporizator foto, respectiv cu rolul de a stinge automat, după scurgerea intervalului de expunere prestabilit, becul aparatului de mărit. Măriind durata maximă la ordinul citorva minute, aparatul poate fi folosit ca automat de scară sau de hol.

Blocul de alimentare cuprinde un transformator de sonerie, o punte redresoare și un condensator de filtraj,  $C_1$ . Pentru a se obține o mai bună reproducibilitate a duratelor de temporizare, a fost introdus și un stabilizator ( $T_1$ ,  $D_1$ ,  $R_2$ ,  $C_2$ ), care debitează o tensiune de cca 8,4 V, avînd în vedere faptul că s-a utilizat un releu cu tensiunea de anclanșare

de 6 V. Stabilizatorul este voit supradimensionat față de consumul de curent al montajului (cca 200 mA, față de numai cca 25 mA, cît ar fi fost suficient), în ideea utilizării sale independente pentru eventuale alte scopuri.

De asemenea, a fost introdus și un indicator optic pentru conectarea aparatului la rețea (LED în serie cu o rezistență de limitare,  $R_1$ ).

Temporizatorul propriu-zis este alcătuit din circuitul R—C, care dă constanta de timp ( $C_3$  și P în serie cu  $R_6$ ), și dintr-un comutator electronic de tip trigger Schmitt, realizat cu tranzistoarele  $T_2$  și  $T_3$ , care are ca sarcină releul electromagnetice Rel. La alegerea releului se va avea în vedere faptul că prin contactele sale de lucru, k (normal deschise), se comandă închiderea, respectiv deschiderea unui circuit de rețea.

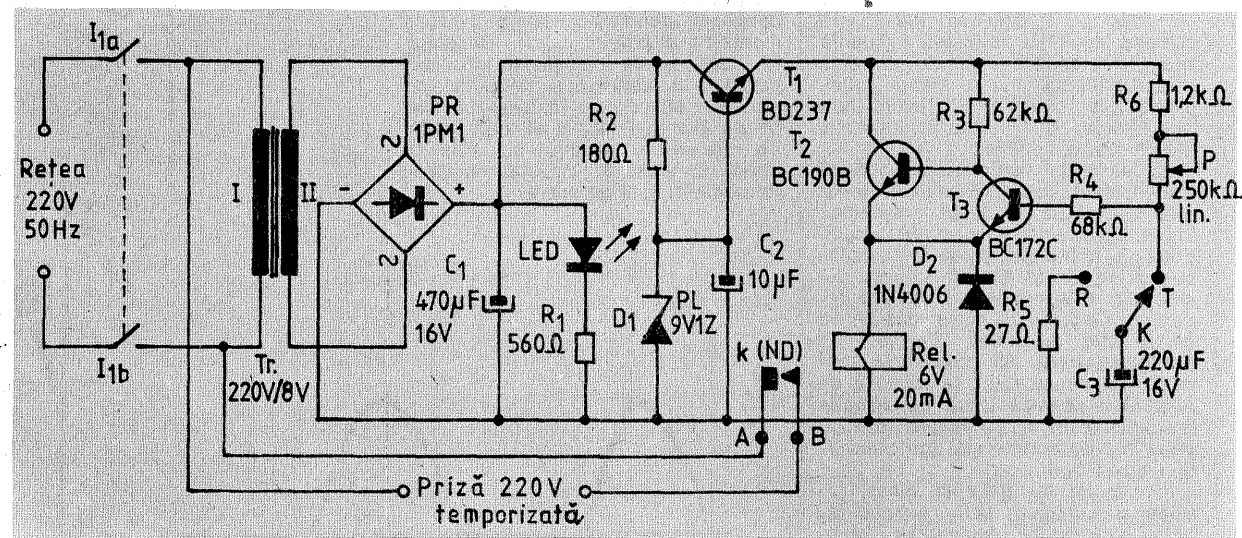
Modul de funcționare și de utilizare a montajului rezultă din schemă. După conectarea la rețea, din întrerupătorul dublu  $I_1$ , se trece comutatorul K în poziția T. Prin aceasta condensatorul  $C_3$  începe să se încarce prin grupul serie  $R_6$  (limitare) plus P, menținînd astfel tranzistorul  $T_3$  blocat, ceea ce per-

mite conducția lui  $T_2$ , polarizat în bază de  $R_3$ . Releul este deci anclanșat, contactele sale de lucru k închizînd circuitul de alimentare a consumatorului conectat la priza temporizată.

După încărcarea condensatorului  $C_3$  pînă la o anumită tensiune, curentul absorbit de el scade, permițînd la un moment dat intrarea în conducție a lui  $T_3$ . În acest moment circuitul trigger basculează,  $T_2$  se blochează ferm și releul revine în repaus, întrerupînd alimentarea consumatorului.

Înainte de a comanda un nou ciclu de temporizare, comutatorul K se trece pentru un timp scurt în poziția R, ceea ce permite descărcarea rapidă a condensatorului  $C_3$  prin rezistența de limitare  $R_5$ .

Pentru o utilizare comodă, potențiometrului P i se va monta un buton cu „cioc” (sau cu un reper), iar pe panoul cutiei se va fixa un disc pe care vor fi divizate și marcate diverse valori intermediare ale duratelor de temporizare. Experimental s-a obținut o variație aproximativ liniară a duratei cu rezistența totală  $R_6 + P$ .



Pagini realizate de Fiz. A. MĂRCULESCU

De la amplificatoarele magnetice (cu transformatoare) la tranzistoare, tiristoare și apoi la triace — aceasta a fost calea simplificării treptate a montajelor de tip „orgă de lumini”.

Pentru a ilustra avantajele obținute — față de toate celelalte variante — prin utilizarea triacelor, dăm alăturat trei exemple tipice de

## LUMINĂ MODULATĂ

orgă de lumini cu unul, două, respectiv trei canale (figurile 1, 2 și 3). În toate cele trei cazuri se folosesc becuri obișnuite de rețea (220 V),

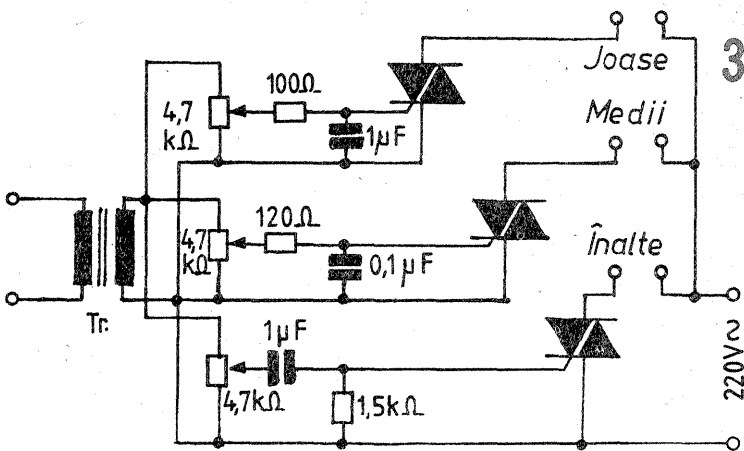
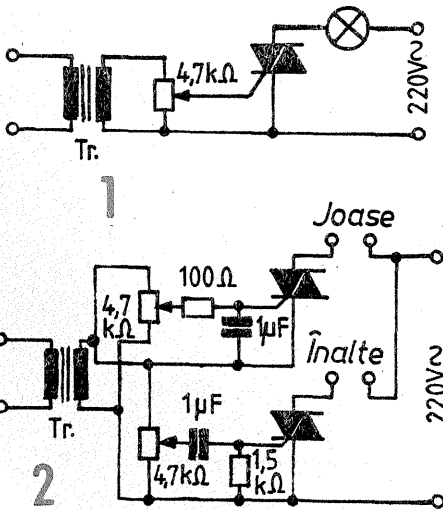
grupînd în paralel mai multe becuri pe fiecare canal, fără a depăși, bineînțeles, curentul maxim suportat de triac.

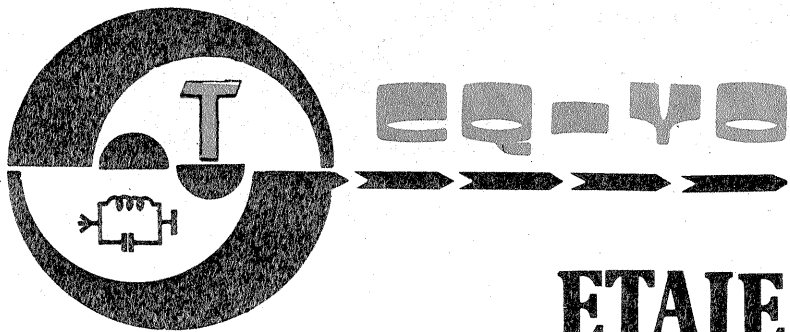
După cum se știe, triacul se comportă ca un tiristor bidirecțional. El permite utilizarea ambelor semialternanțe ale tensiunii de rețea, fără a mai fi necesară în acest scop (ca la tiristoare) redresarea prealabilă în punte.

Triacele folosite trebuie să suporte tensiuni de cel puțin 400 V, la curentul dorit (valoarea de vîrf a tensiunii de rețea este de cca  $\sqrt{2} \cdot 220 \text{ V} \approx 310 \text{ V}$ , dar mai sînt și fluctuații).

Filtrele pentru canale, sub formă de rețele R—C, pot fi optimizate experimental, folosind exclusiv condensatoare nepolarizate.

Semnalul de comandă se culege în toate cele trei cazurile de pe bornele de difuzor ale amplificatorului AF (magnetofon, radioreceptor etc.), prin intermediul unui transformator ridicător de tensiune, Tr. Raportul de transformare va fi ales prin tatonare experimentală în plaja 1:1 ÷ 1:5 (prize în înfășurarea secundară), iar înfășurarea primară va avea o impedanță de ordinul zecilor sau sutelor de ohmi, pentru a nu suferi supraîncălzirea (sau chiar pericolul) ieșirea amplificatorului.





# ETAJE RF DE PUTERE

Ing. TUDOR TĂNĂSESCU,  
Y03 - 200 000/B

(URMARE DIN NUMĂRUL TRECUT)

În figura 7 este scos în evidență elementul de cuplaj intrare-ieșire, iar tabelul 1 sumarizează o medie tipică reprezentativă a valorilor capacităților interne, conform cu datele publicate în cataloagele de tuburi.

Interpretarea acestor date se poate face ușor intuitiv, prin simpla observare a construcției tuburilor. Astfel, la triodă grila de comandă și anodul se află „față în față” și deci capacitatea ce ia naștere prin influență directă va fi relativ mare (schema cu catod la masă). În schema cu grilă la masă influența anodului asupra catodului este „obstrucționată” de existența grilei, care joacă rol de ecran, astfel încât capacitatea grila catod, respectiv intrare-ieșire, va fi mica.

La pentode sau tetrode grila 2' (sau ecran), care în mod normal este decuplată la masă, împiedică influența directă a anodului asupra grilei de comandă, astfel încât capacitatea ce ia naștere între acești doi electrozi ( $C_{ag}$ ) este de valoare redusă și depinde în mare măsură de construcția ecranului (la tuburile pentode tetrode RF grila ecran este mult mai deasă decât la tuburile de AF). Prin această nouă construcție influența ieșirii către intrare este redusă în mod substanțial (de circa 50 de ori față de triode).

În montaj cu grila la masă, tetroda cu fascicul sau pentoda cu grile supresoare conectate intern relevă un aspect nou, care de altfel poate fi ușor intuit dacă privim cu atenție construcția tubului. Astfel, electrozii de deflexie a fasciculului sau grila supresoare se găsesc din nou „față în față” cu anodul. Consecința imediată este formarea unei capacități  $C_{ak}$  de valoare relativ mare. Această capacitate nu este altceva decât „legătura de cuplaj” intrare-ieșire. Comparativ cu trioda în montaj „grilă la masă”, tetrodele cu fascicul sau pentodele cu grile supresoare conectate intern prezintă un cuplaj inoportun intrare-ieșire de circa 100 de ori mai intens.

În ultima rubrică a tabelului 1 a fost trecută pentru comparație și valoarea tipică a pantei  $S$  pentru tuburile de RF și AF, deoarece stabilitatea etajelor RF depinde în mod esențial de aceasta. Deși la prima vedere o valoare mare a pantei pare

„avantajoasă”, tuburile de putere se construiesc în mod intenționat cu pante mici tocmai pentru a se putea realiza un câștig de putere satisfăcător în condițiile unei bune stabilități.

În condițiile de lucru AF, unde problema stabilității are alte aspecte, într-adevăr o valoare mare a pantei este în general preferabilă, dar în cazul RF condiția devine discutabilă, astfel încât o valoare moderată poate deveni avantajoasă.

Nu este încă momentul să tragem concluzii definitive asupra performanțelor diferitelor tipuri de etaje RF, dar putem cel puțin intui că pentoda cu supresoare conectat intern sau tetrode cu fascicul nu vor aduce avantaje față de triodă, dacă ne referim la montajul cu grila la masă. Dimpotrivă, înrăutățirea performanțelor este de prevăzut.

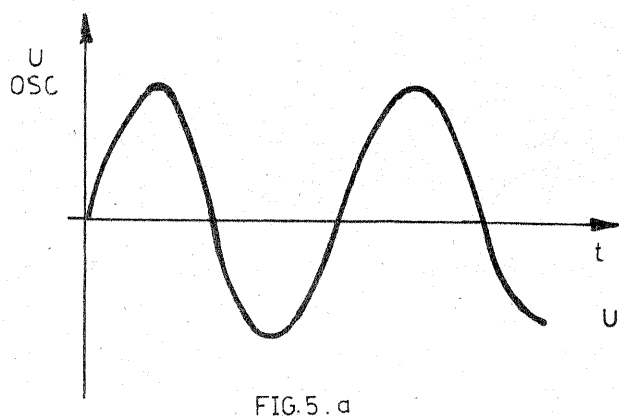


FIG. 5. a

Fig. 5: Moduri de oscilație în absența excitației:  
a.  $f_{osc} = f_{acord}$   
b.  $f_{osc} > f_{acord}$   
c. trenuri intermitente autoblocate;  $f_{osc} \gg f_{acord}$ ;  $f_{repetiție} \ll f_{acord}$   
d. impulsuri singulare;  $f_{repetiție} \ll f_{acord}$

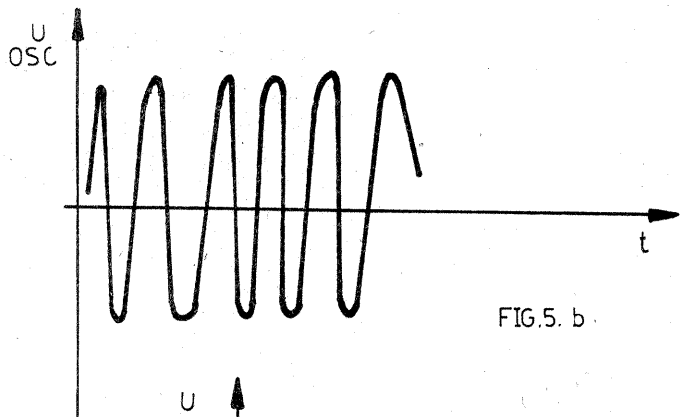


FIG. 5. b

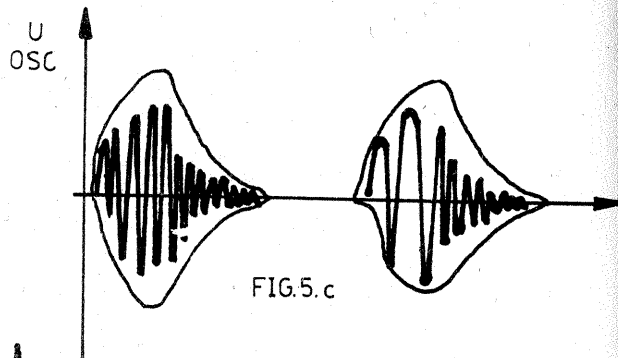


FIG. 5. c

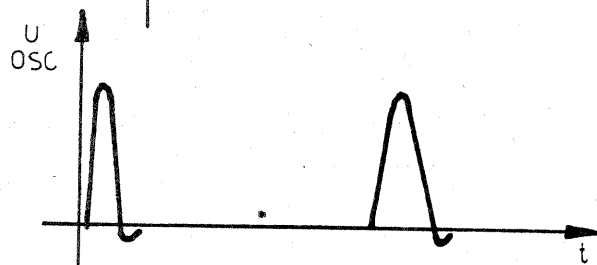


FIG. 5. d

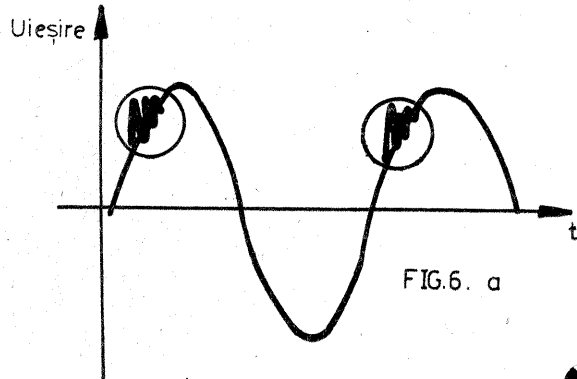


FIG. 6. a

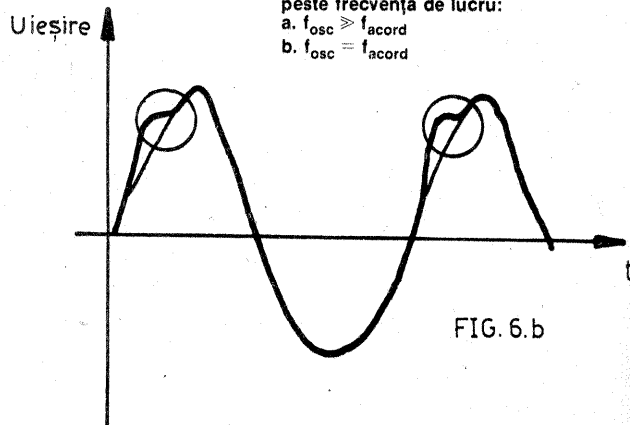
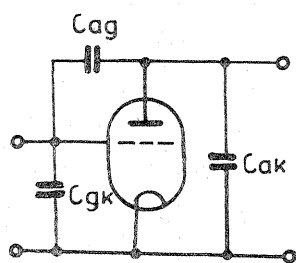
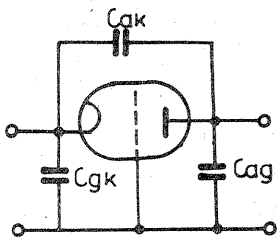


FIG. 6. b

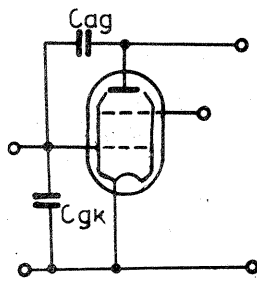
Fig. 6: Oscilații parametrice suprapuse peste frecvența de lucru:  
a.  $f_{osc} \gg f_{acord}$   
b.  $f_{osc} \ll f_{acord}$



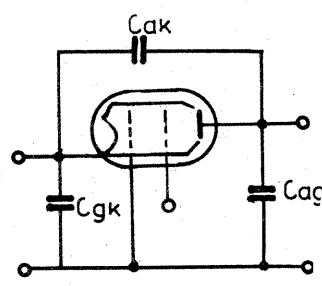
a



b



c



d

FIG. 7



### Conexiuni tipice de bază

Deși cauza apariției oscilațiilor este unică și, reamintim, se datorează cuplajului inoportun intrare-ieșire, găsirea unui singur răspuns valabil pentru toate cazurile particulare nu este posibilă. De aceea este necesară o analiză în detaliu a citorva tipuri particulare de etaje RF, frecvent utilizate în practică și considerate tipuri fundamentale.

Intr-o masura mai mare sau mai mică, totalitatea realizărilor întâlnite sînt variante ale tipurilor de baza obținute prin diverse artificii privind alimentarea, polarizarea electrozilor, modul de cuplaj cu sursa de excitație sau a sarcinii (antena) etc.

Pentru început să considerăm clasicul etaj cu catod la masa și cu circuite acordate derivativ în grila și anod echipat cu trioda sau pentoda (figura 8 a, b, c). Pentru simplificarea vom considera numai componentele esențiale care intervin în curent alternativ la frecvența de lucru, cu mențiunea că bine cunoscutul filtru  $\pi$  de adaptare cu antena sau cuplajul capacitiv cu grila (circuitul de acord fiind plasat în anodul tubului prefinal) reprezintă variante care se reduc la schema prezentată.

S-a considerat un exemplu mai general la care cuplajul tubului la circuite este realizat la prize pe circuitele oscilante. Fixarea prizei la capătul „cald” al circuitelor corespunde cuplajului direct  $p = 1$ .

Factorul de priză  $p$  corespunde raportului tensiunilor față de masa.

În teoria de specialitate se demonstrează că dacă circuitul de sarcină este puțin dezacordat în sens inductiv la frecvența de rezonanță  $f_0$  față de circuitul de intrare, atunci montajul poate îndeplini condițiile de intrare în oscilație pe o frecvență apropiată de  $f_0$ .

Conform acestei teorii se construiesc și se utilizează oscilatoarele cunoscute sub denumirea de „oscilatoare Miller”.

Capacitățile interne ale tubului intervin ca elemente de acord în paralel pe capacitățile circuitelor de ieșire, respectiv intrare. Intrarea în oscilație este posibilă datorită capacității de cuplaj  $C_{ag}$  care leagă intrarea de ieșire.

Fără a urmări o expunere matematizată, evidențierea unei relații fundamentale este cit se poate de utilă tuturor amatorilor, cu atât mai mult cu cit aceasta relație nu comportă decât operații aritmetice la îndemina chiar și a începătorilor.

Astfel, condiția de intrare în oscilație a acestui tip de etaj poate fi exprimată în rezumat:

$S$  Rintr. pintr. Ries. pies.  $2 \pi f_0$   
 $C_{ag} = 2$  [1]  
 cu următoarea semnificație a factorilor:

$S$  = panta tubului, mA/V  $10^{-3}$ ;  
 Rintr = rezistența la rezonanța a circuitului de intrare ( $Q_{\omega L}$  intr.), k $\Omega$ ;  
 pintr = factorul de priză pe circuitul de intrare,  $< 1$ ;

Ries = rezistența la rezonanța a circuitului de ieșire ( $Q_{\omega L}$  ies), k $\Omega$ ;  
 pies = factorul de priză pe circuitul de ieșire,  $< 1$ ;

$f_0$  = frecvența de rezonanță a circuitelor (frecvența de lucru), MHz;  
 $C_{ag}$  = capacitatea proprie anod-grila a tubului, pF.

În cazul cuplajului direct, relația devine:

$S$  Rintr. Ries  $2 \pi f_0 C_{ag} = 2$  (pies. pintr. = 1) [2]

Importanța acestei relații este deosebită deoarece ne permite, fără nici un experiment, să știm dacă etajul realizat va oscila sau nu la frecvența de lucru, utilizând un anumit tip de tub pentru care deținem datele de catalog.

Formula este foarte precisă în cazul pentodelor și se poate aplica cu o bună aproximație la trioda care lucrează pe sarcini de valoare scăzută (Ries) în raport cu rezistența internă a tubului.

Astfel în cazul unui tub de putere cunoaștem Ries, acesta fiind rezistența optimă de sarcină pe care do-

rim să obținem puterea maximă. Celelalte mărimi de asemenea ne sînt cunoscute, cu excepția lui Rintr, pe care urmează să o determinăm astfel încît la frecvența de lucru etajul să funcționeze stabil.

Un exemplu de verificare practică a relației menționate poate fi util.

Astfel, alegînd un tub de AF de tip EL11 pentru care cunoaștem:

$S = 9$  mA/V;  
 $C_{ag} = 0,8$  pF;  $R_{oopt} = 7$  k $\Omega$ ,  
 la frecvența de 30 MHz rezulta la rezonanța o rezistență echivalentă a circuitului de intrare, Rintr = 635  $\Omega$ .

Evident că realizarea unui circuit cu un factor de calitate atît de scăzut, care să asigure o asemenea valoare a rezistenței echivalente paralele, nu este posibilă decît prin amortizarea circuitului, introducînd în paralel peste circuit rezistența astfel calculată. În această situație montajul se află în prag de oscilație. Amortizarea circuitului de intrare reprezintă o primă posibilitate de înlăturare a oscilațiilor, dar aceasta nu poate fi aplicată decît în cazul cînd nu este necesară o selectivitate bună a acestui circuit.

Cea de-a doua posibilitate de care dispunem este cuplarea grilei de comandă la o priză cît mai apropiată de masa.

Cuplarea circuitului de sarcină la o priză mai apropiată de masa nu este posibilă deoarece nu vom mai putea obține puterea maximă de care avem nevoie.

În rezumat, tratamentele aplicate pe circuitul de intrare și consecințele ce deriva din acestea sînt:

- amortizarea circuitului;  
 pierderea selectivității la intrare;  
 creșterea puterii de excitație necesare, concomitent cu o scădere a amplificării etajului prefinal;
- cuplarea la o priză apropiată de masa (eventual și cu o amortizare moderată);  
 pastrarea selectivității în limite acceptabile;  
 pierderea tensiunii necesare de atac, ceea ce necesită sporirea amplificării etajului prefinal, însoțită de creșterea puterii de atac;  
 complicarea circuitelor de comutație prin introducerea prizei.

Se constată deci că, oricum am proceda, o dată cu creșterea frecvenței de lucru cîștigul în putere al tubului va scădea.

Soluția radicală a problemei constă în utilizarea unui tub special construit pentru RF.

Pentru ca exemplul utilizat să fie cît mai concludent, autorul a folosit tubul de tip RL12P10, mai puțin cunoscut, tub de construcție specială.

Acest tub este echivalent la absolut toți parametrii cu tubul EL11, cu excepția capacității  $C_{ag} = 0,1$  pF, adică de circa 8 ori mai mică.

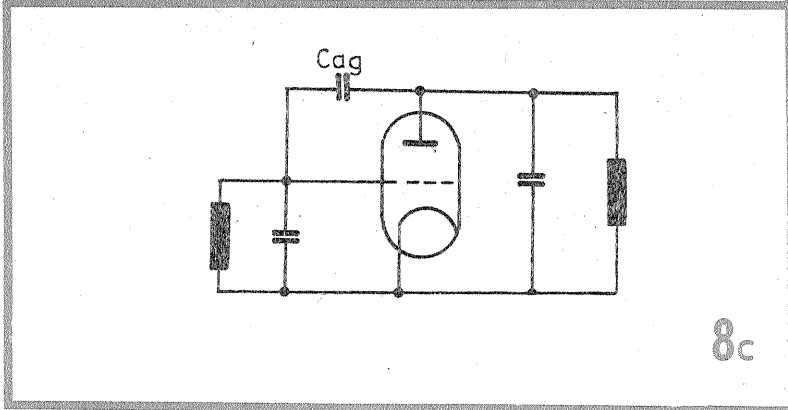
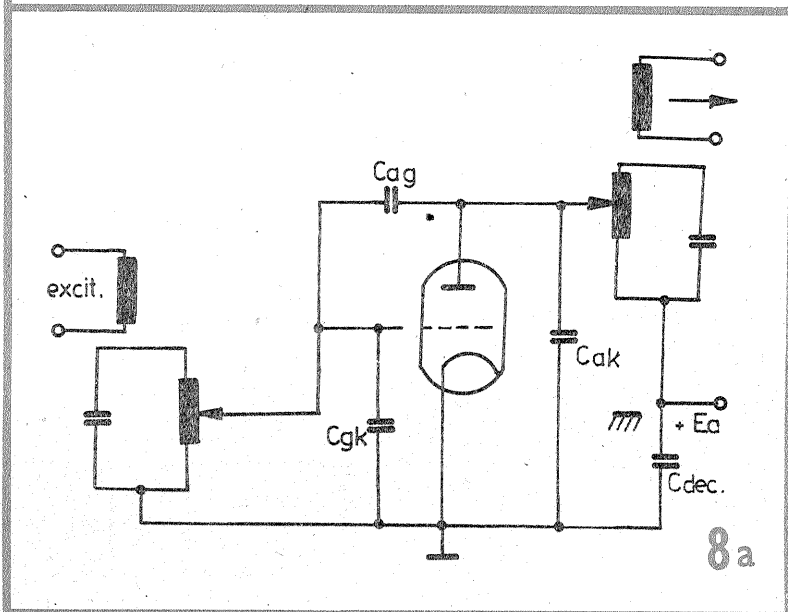
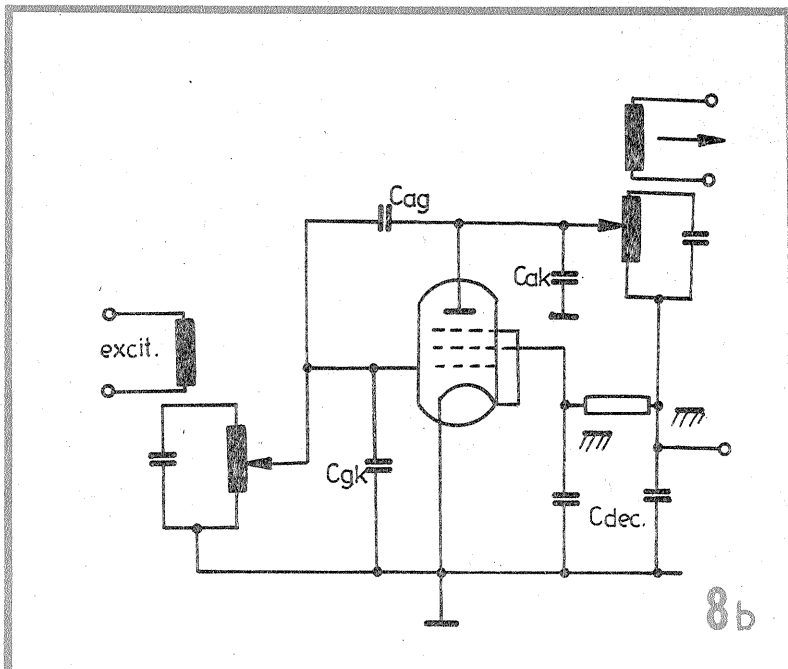
Deși construcția electrozilor tubului a rămas practic neschimbată (parametrii electrici identici), obținerea unei capacități  $C_{ag}$  de valoare redusă a fost posibilă printr-un „tratament de RF” aplicat tubului de baza.

Astfel au fost adăugate o serie de ecrane care izolează ieșirea grilei, iar terminalele au fost scoase lateral, avînd o lungime minimă realizabilă tehnologic.

Această modificare mai ales a construcției interne a condus de asemenea și la diminuarea inductanțelor proprii ale terminalelor de ieșire care, așa cum vom vedea, au o contribuție deosebită privind oscilațiile pe frecvențe foarte ridicate.

Ca un rezumat al celor de mai sus privind utilizarea tuburilor în benzile superioare se pot trage următoarele concluzii referitoare la etajul cu catod la masa cuplat la circuite acordate:

- folosirea triodelor este practic imposibilă la aceste frecvențe;
- utilizarea unor tuburi de AF sau baleiaj (vezi tabelul 1) „echivalente” conduce în mod aproape sigur la apariția oscilațiilor, dacă montajul inițial echipat cu tub de RF nu are prin construcție rezerve foarte mari în ceea ce privește marginea de stabilitate.



Este bine de menționat că la limita domeniului US (30 MHz), chiar cu tuburi de RF, rezerva de stabilitate nu poate fi luată prea mare. Astfel se considera satisfăcătoare îndeplinirea relației.

$S$  Rintr. Ries  $2 \pi f C_{ag} \approx 0,4$ .  
 Rezerva de stabilitate [1] se poate exprima prin raportul  $\frac{2}{0,4} \approx 5$ , sau exprimat în decibeli = 14 dB.

Un etaj astfel dimensionat, prin înlocuirea tubului cu un altul avînd fie panta, fie capacitatea  $C_{ag}$  mai mari, oricum își pierde stabilitatea sau va oscila.

Se mai impune o observație importantă referitoare la tetrode și pentode.

Spațiul catod, grila de comandă, grila ecran se comportă întocmai ca o trioda, existînd deci o capacitate relativ mare între cele două grile, echivalenta capacității  $C_{ag}$  a triodei.

Dacă în grila ecran ia naștere un circuit acordat paralel (de regulă

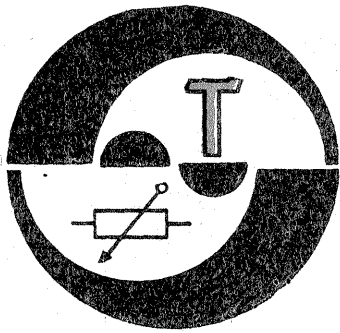
acesta nu se poate forma decît din elemente parazite), atunci tubul va genera oscilații întreținute pe ecran.

Oscilațiile astfel produse vor putea ajunge la anod prin fluxul de electroni și, chiar dacă circuitul de sarcină nu este acordat pe o frecvență apropiată, funcționarea etajului va fi oricum necorespunzătoare. Etajul funcționează asemănător cu oscilatorul ECO.

Se impune deci la pentode luarea unor măsuri deosebite și sub acest aspect specific.

Oscilațiile ce se produc prin acest mecanism, subliniem, corespund genului de oscilații pe frecvența fundamentală — figura 5a, în lipsa excitației. Dacă etajul neexcitat nu oscilează dar rezerva de stabilitate este foarte redusă, în regim dinamic etajul va funcționa necorespunzător (tendința către oscilație parametrică, fig. 6b).

(CONTINUARE ÎN NR. VIITOR)



## BAZĂ DE TIMP PENTRU OSCILOSCOP

Ing. GABRIEL SEGĂRCEANU

Schema pe care o prezint ilustrează mecanismul de funcționare a unui osciloscop ce permite vizualizarea simultană a două semnale, A și B, în următoarele moduri: ALTERNAT, CHOPAT, A, B, la alegere. Particularitatea schemei față de cele prezentate anterior în revista constă în posibilitatea sincronizării pe modurile de lucru „alternat” sau „chopat” cu oricare dintre semnalele A sau B. Se obține astfel pe ecran

— viteze de baleiere (pentru baza de timp) TIMP/DIV: 0,1  $\mu$ s; 0,5  $\mu$ s; 2  $\mu$ s; 10  $\mu$ s; 50  $\mu$ s; 200  $\mu$ s; 1 ms; 5 ms; 20 ms; 100 ms; 500 ms;

— sincronizare pe front crescător sau descrescător (+/-), lucrul în regim automat sau declansat al bazei de timp (AUTO/DECL);

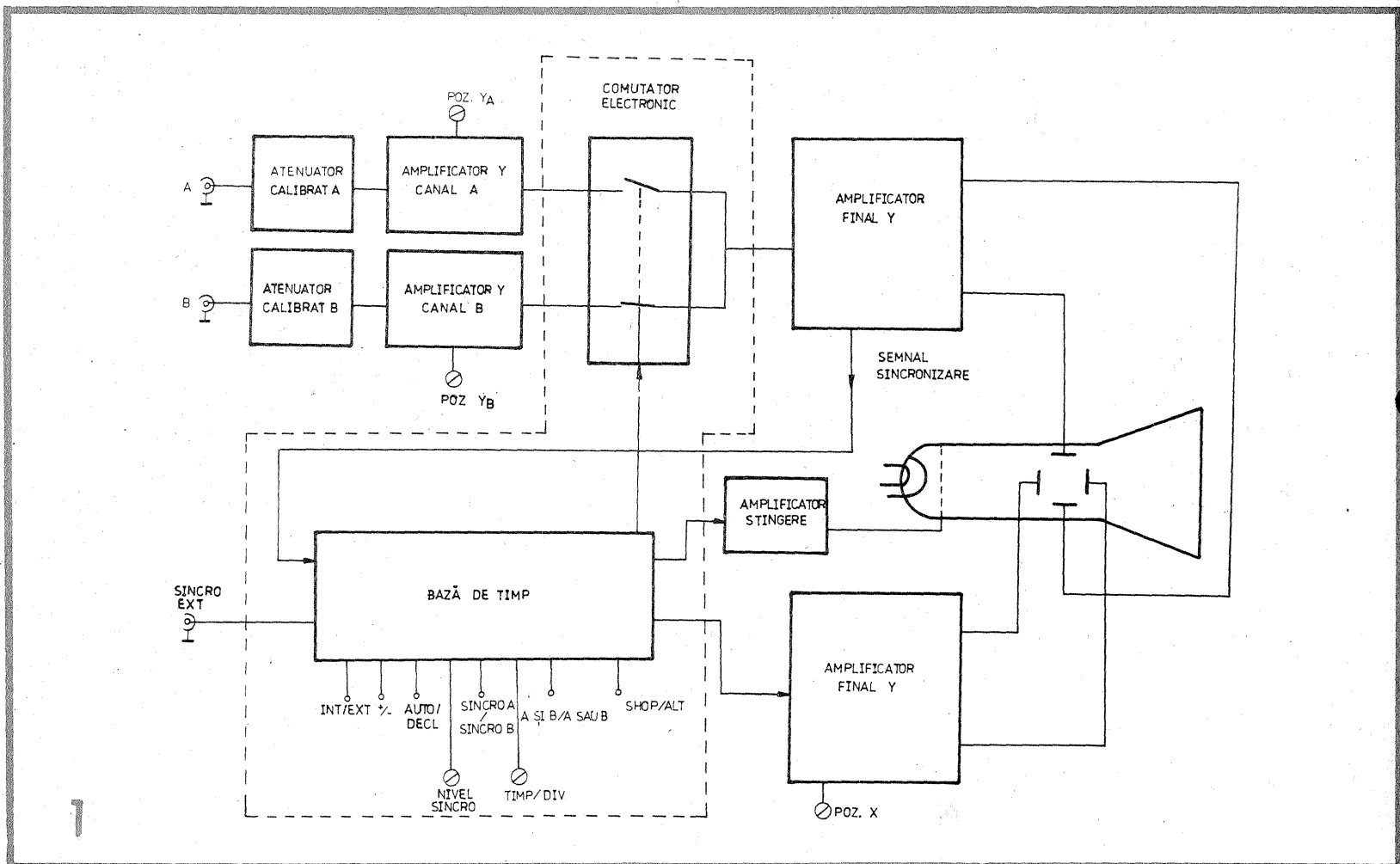
— sincronizare externă sau internă (EXT/INT);

— sincronizarea se face în dome-

(T.L.V.), un comutator al canalelor  $Y_A$  și  $Y_B$  și un circuit logic care realizează sincronizarea comutatorului electronic cu generatorul de T.L.V.

Generatorul de T.L.V. este realizat din: bistabilul de declanșare A, generatorul de curent constant, grupat în jurul tranzistoarelor  $T_{12}$ ,  $T_{13}$ ,  $T_{14}$ , condensatorul  $C_8$  și tranzistorul  $T_5$  care îl descarcă periodic, repetorul pe emitor  $T_3$ ,  $T_4$ , circuitul de limitare

sincronizare ( $P_3$ ), selectat de comutatorul  $K_2$  (+/-), va determina setarea bistabilului A. Ieșirea  $Q_4$  va trece în  $Q_4 = 0$  și tranzistorul  $T_5$  se va bloca. Curentul debitat de sursa de curent constant realizată din  $R_{17}$ ,  $T_{13}$ ,  $T_{13}$ ,  $T_{14}$  va încărca pe  $C_8$ . Tensiunea pe acesta crește liniar în timp, deoarece încărcarea se face cu curent constant. Imediat ce ten-



imaginea celor două semnale A și B, stabilă și totodată corelată în timp. Schema-bloc a unui astfel de osciloscop este prezentată în figura 1, iar schema care face obiectul prezentului articol este încadrată în chenar cu linie întreruptă.

### PERFORMANȚE:

— consum redus: +5 V — 60 mA;  
+ 15 V — 20 mA; —15 V — 30 mA;

niul de frecvență 20 Hz—10 MHz al semnalului de vizualizat;

— amplitudinea semnalului maxim admis pentru sincronizare externă: 6 V;

— amplitudinea semnalului dinte de ferăstrău la ieșire: 14 Vv.

### FUNCȚIONARE (fig. 2)

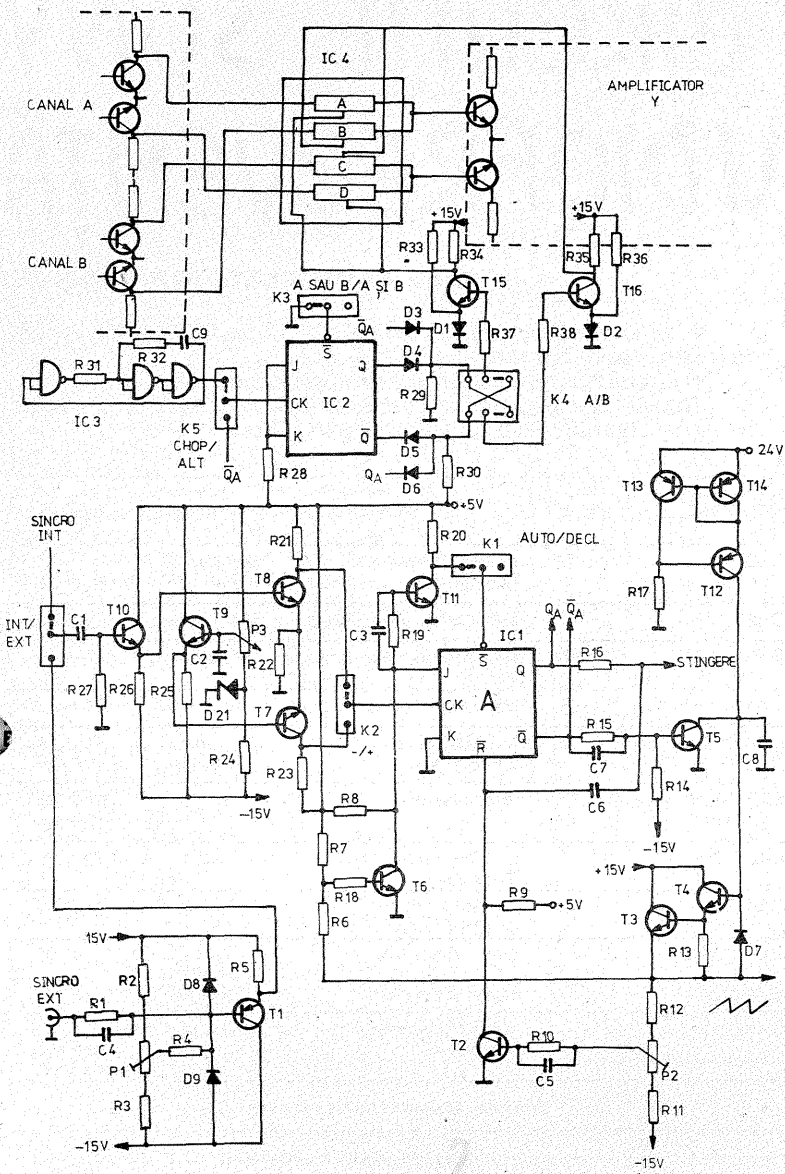
Schema se compune dintr-un generator de tensiune liniar variabilă

a amplitudinii ( $T_9$ ), circuitul de inhibare a declanșării ( $T_6$ ), circuitul de amplificare și sincronizare ( $T_7$ — $T_{10}$ ).

Sa considerăm comutatorul  $K_1$  (AUTO/DECL) pe poziția DECL. În repaus, starea bistabilului de declanșare A este:  $Q_4=0$ ;  $Q_4=1$ . Tranzistorul  $T_5$  este saturat, tensiunea pe  $C_8$  este de 0,2 V, iar tensiunea la ieșire de -1 V (emitorul lui  $T_3$ ). Semnalul de declanșare amplificat și comparat cu nivelul dat de potențiometrul de

siunea pe  $C_8$  începe să crească,  $T_6$  se saturează, forțând  $J=0$ . Un nou impuls de declanșare va fi deci inhibat. Când tensiunea liniar variabilă atinge un anumit nivel, reglabil din  $P_2$ ,  $T_7$  se deschide și reșetează bistabilul,  $Q_4=1$ . Ca urmare,  $C_8$  se descarcă prin  $T_5$ . Când tensiunea pe  $C_8$  ajunge la 0,2 V,  $T_6$  se blochează,  $J=1$  și o nouă declanșare este permisă. Spotul va pleca mereu din același punct.





În regim automat, o nouă declanșare este asigurată de atingerea tensiunii de repaus la ieșire, când  $T_1$  se deschide și forțează  $S=0$ , setînd bistabilul A. Ciclul se reia fără a mai fi necesară sincronizarea. Condensatorul  $C_6$  anticipează semnalul de stingere a spotului, micșorînd o eventuală întârziere datorată amplificatorului de stingere, care ar putea duce la o suprapunere peste imagine a cursei de întoarcere a spotului.

Comutatorul electronic este realizat în jurul circuitului IC4—MMC4066, care conține patru comutatoare analogice.

Semnalele pentru comutare sînt culese dinaintea etajului amplificator Y final, din colectoarele etajelor diferențiale ale canalelor Y<sub>1</sub>, respectiv Y<sub>2</sub>. Datorită acestei configurații, se pot regla independent pozițiile semnalelor A și B pe ecran.

Pentru modificarea unui osciloscop cu un singur canal va fi deci necesară „dublarea” amplificatorului Y pînă în punctul unde se face comutarea.

Blocul logic care realizează sincronizarea comutatorului electronic cu generatorul T.L.V. este grupat în jurul bistabilului IC2 și al astabilului format cu IC3.

Diodele  $D_3$  și  $D_4$  realizează semnalul  $a=Q\bar{U}\bar{Q}$ , iar  $D_5$  și  $D_6$  semnalul  $b=\bar{Q}\cap QA$ . Se observă că  $a=\bar{b}$ .

Să presupunem comutatorul K3 (A și B/A sau B) pe poziția „A sau B”. Se setează bistabilul IC2 ( $\bar{Q}=0$ ;  $Q=1$ ). Rezultă  $a=„1”$ ;  $b=„0”$ , indiferent de intrarea CK a bistabilului IC2. Pe ecran se va putea vizualiza un singur canal, și anume acela care va fi selectat din comutatorul K4 (A/B) cu posibilitatea sincronizării pe acest canal, deoarece  $a=„1”$  va deschide în mod permanent calea către amplificatorul final Y unui singur canal, și anume celui ales din K. Semnalul de sincronizare pentru generatorul T.L.V. este cules din amplificatorul final Y.

Pe poziția „A și B” a lui K3, semnalele a și b vor evolua ca în figura 3 pentru modul ALTERNAT, respectiv ca în figura 4 pentru modul CHOPAT. Modul de lucru (ALT/

CHOP) se alege din K5. Pe ecran vor apărea ambele canale.

Să presupunem comutatorul A/B pe poziția „A” (fig. 3). Pentru  $\bar{Q}_1=„1”$ , generatorul T.L.V. este în așteptarea semnalului de sincronizare.  $\bar{Q}_1=„1”$  face  $a=„1”$ .

Pe amplificatorul Y va pătrunde semnalul de pe canalul A, care va sincroniza baza de timp. În urma sincronizării,  $\bar{Q}_1=0$  și  $a=„0”$ ;  $b=„1”$ . Pe ecran va apărea canalul B, dar sincronizat de către semnalul de pe canalul A. În următorul ciclu ( $\bar{Q}_1=1$ ;  $a=„1”$ ;  $b=„0”$ ) se face sincronizarea din nou cu canalul A. În urma sincronizării,  $\bar{Q}_1=0$ , dar de data aceasta  $a=„1”$  și pe ecran apare canalul A. Funcționarea se repetă. Canalele A și B apar alternat pe ecran, dar sincronizarea se face numai cu semnalul de pe canalul A.

Pe poziția CHOPAT a comutatorului K5, sincronizarea se face după același principiu, dar pe ecran apar canalele A și B comutate cu jumătaea frecvenței astabilului format cu IC3.

Pe poziția B a lui K4 sincronizarea se face cu semnalul de pe canalul B.

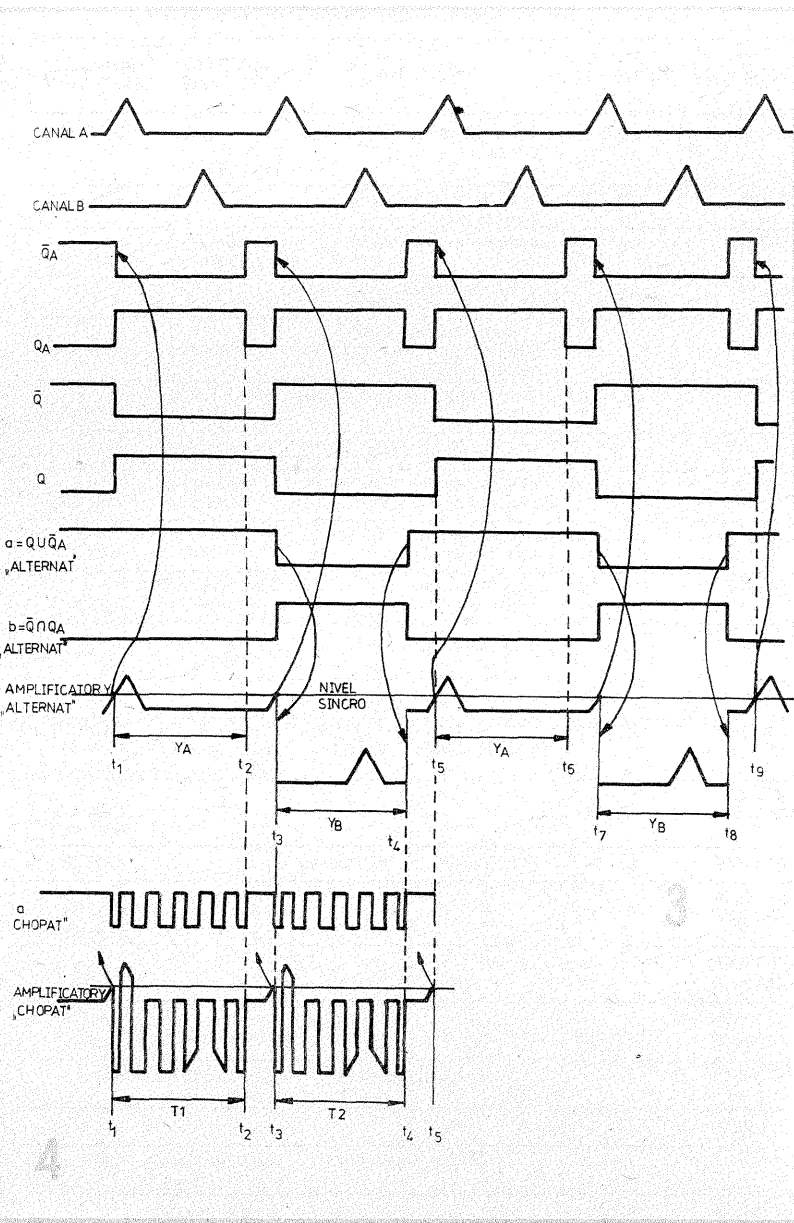
Deoarece frecvența de chopare nu este corelată cu frecvența semnalului, pe ecranul osciloscopului nu se va observa comutarea spotului de la un canal la celălalt.

#### LISTA DE PIESE:

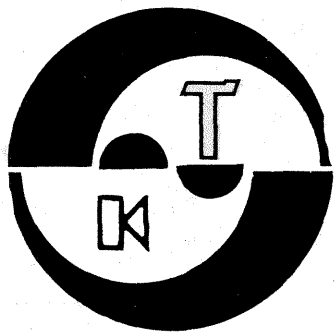
R1 = 56 kΩ; R2 = 25 kΩ; R3 = 75 kΩ; R4 = 470 kΩ; R5 = 47 kΩ; R6 = 1,8 kΩ; R7 = 5,6 kΩ; R8 = 4,7 kΩ; R9 = 4,7 kΩ; R10 = 18 kΩ; R11 = 4,7 kΩ; R12 = 4,7 kΩ; R13 = 2 kΩ; R14 = 18 kΩ; R15 = 1,5 kΩ; R16 = 100 Ω; R17 = — în tabel; R18 = 4,7 kΩ; R19 = 7,5 kΩ; R20 = 4,7 kΩ; R21, R23 = 22 kΩ; R22 = 6,8 kΩ; R24 = 7,5 kΩ; R25, R26 = 36 kΩ; R27 = 51 kΩ; R28 = 1 kΩ; R29 = 2 kΩ; R30 = 2 kΩ; R31 = 1,3 kΩ; R32 = 220 Ω; R33 = 5 kΩ; R34 = 4,7 kΩ; R35 = 4,7 kΩ; R36 = 5 kΩ; P1 = 5 kΩ; P2 = 10 kΩ; P3 = 5 kΩ; DZ1 = PL6V2; D1 ÷ D9 = 1N4148; T1 ÷ T4 = BC171; T5 = 2N2219; T6 ÷ T11 = BC171; T12 ÷ T14 = BC251; T15, T16 = BC171; C1 = 100 nF; C2 = 100 nF; C3 = 4,7 nF; C4 = 18 pF; C5 = 4,7 nF; C6 = 4,7 nF; C7 = 470 pF; C8 — în tabel; C9 = 1 nF; IC1 = CDB472E; IC2 = CDB472E; IC3 = CDB400; IC4 = MMC4066.

#### BIBLIOGRAFIE

Colectia revistei „Tehnum”, 1979  
Anca Manolescu, Anton Manolescu, Culegere de probleme de circuite integrate liniare.



TIMP/DIV	0,1	0,5	2	10	50	200	1	5	20	0,1	0,5
	μS	μS	μS	μS	μS	μS	ms	ms	ms	s	s
R <sub>17</sub>	10 kΩ	50 kΩ	200 kΩ	1 MΩ	10 kΩ	50 kΩ	200 kΩ	1 MΩ	50 kΩ	200 kΩ	1 MΩ
C <sub>8</sub>	200	200	200	200	100	100	100	100	10	10	10
	pF	pF	pF	pF	nF	nF	nF	nF	μF	μF	μF



# CIRCUITE SONY ÎN AUDIOFRECVENȚĂ

Ing. AURELIAN MATEESCU

În prezent există un mare număr de firme în întreaga lume care utilizează o mare diversitate de circuite integrate specializate în domeniul audiofrecvenței.

Firma japoneză SONY produce și utilizează în aparatura de audiofrecvență circuite integrate și multe componente discrete proprii.

Vom prezenta în cele ce urmează caracteristicile și destinația unor componente SONY apărute în ultimii ani în scopul facilitării identificării circuitului (componentei) și al eventualei echivalări.

**Tabelul 1**  conține:

- circuite integrate pentru magnetofone și casetofone;
- circuite integrate pentru reductoare de zgomot de tip DOLBY;

**TABELUL 1: Circuite pentru magnetofone și radioreceptoare**

INDICATIV	TENSIUNE ALIMENTARE (V)	FUNCȚIA	DOMENIU UTILIZARE	CAPSULĂ NR. PINI
CX20023	1,6 ÷ 3,5	preamplificator R/PB stereo	casetofone mici tip WALKMAN	SOP 24
20089A	0,9 ÷ 2,2	amplificator stereo pentru căști	—, —	SOP 10
10032A	±6 ÷ ±8	preamplificator R/PB stereo	magnetofone	DIP 16
10033A	±6 ÷ ±8	preamplificator microfon stereo	—, —	DIP 14
20107	1,8 ÷ 3,5	preamplificator, CAA, amplificator final și driver pentru LED-uri	casetofone	SOP 24
20172	0,9 ÷ 2,2	amplificator putere stereo	casetofone, radio	SOP 14
CXA1034P	1,8 ÷ 7	amplificator căști stereo	casetofone	DIP 16
1115BP	3,5 ÷ 14	preamplificator PB, mixer, comutator electronic	casetofone deck	DIP 20
1116S	4,5 ÷ 14	preamplificator record, mixer, comutator	—, —	DIP 24
CX10006	8 ÷ 18	detector rotație, acționare plunger	deteție cap bandă	SIP 9
CX20077	8 ÷ 16	DOLBY B și C	magnetofone	SOP 28
CX20078	8 ÷ 16	DOLBY B și C	—, —	SOP 28
CX20/87 CXA1097Q	8 ÷ 21	DOLBY B și C înregistrare și redare stereo (R/PB)	magnetofone, casetofone auto	SRK 42 QFP 48
CX20188 CXA1098Q	8 ÷ 21	—, —	—, —	SRK 42 QFP 48
CXA1100P	12 ÷ 16	DOLBY B; R/PB stereo	—, —	DIP 16
CXA1101M CXA1101P	9 ÷ 16	—, —	—, —	SOP 16 DIP 16
CXA1102M CXA1102P	7 ÷ 16	—, —	—, —	—, —
CXA1163M CXA1163P	5 ÷ 16	—, —	—, —	—, —
CX—065B	15	controlul frecvenței	magnetofone și pick-up-uri	SIP 8
CX—069A	3,6 ÷ 14,4	—, —	—, —	SIP 8
CX—891	1,8 ÷ 14,4	controlul frecvenței	magnetofone și pick-up-uri	SIP 8
CX10031A	±9 ÷ ±12	controlul motoarelor fără perii	magnetofone deck	DIP 16
CX20084	1,8 ÷ 10	servocontrol al cabestanului	—, —	SOP 16
CX20123	0,9 ÷ 4,2	servocontrol motoare fără perii	magnetofone și pick-up-uri	SOP 20
CX—857	1,9 ÷ 12	AM radio stereo	MA stereo	SOP 20
CX10053B	1,0 ÷ 2,0	MA/MF FI—MF detector	radio AM/FM	SOP 18
CX10054	1,0 ÷ 2,5	PLL, stereo, multiplex.	FM stereo	SOP 16
CX20029	2 ÷ 9	MA—MF frontend, FI, detector, decodor	MA/MF stereo	QFP 48

- circuite de control al motoarelor de antrenare a magnetofonelor, casetofonelor și pick-up-urilor;
- circuite pentru construcția radioreceptoarelor.

**Tabelul 2**  cuprinde componente discrete, respectiv tranzistoare cu efect de câmp cu siliciu și galiu-arsen.

INDICATIV	TENSIUNE ALIMENTARE (V)	FUNCȚIA	DOMENIU UTILIZARE	CAPSULĂ NR. PINI
CXA1238M CXA1238S	2 ÷ 9	—, —	MF stereo, MA	SOP 30 SRK 30
CX20111	2 ÷ 9	FM/AM frontend, FI, detector	MF, MA radio	SOP 24
CX20177	5 ÷ 8	MA stereo pilot detector	MA stereo	SOP 28
CXA1015M	2 — 7	MA frontend, FI, detector, AF	MA radio	SOP 20
CXA1017M	5 — 8	MA stereo detector pilot	MA stereo	SOP 24
CXA1019M CXA1019P	2 — 7,5	MA/MF frontend, FI, detector, AF	radio MA/MF	SOP 28 DIP 28
CXA1191M CXA1191P	2 — 7,5 2 — 8,5	idem plus mute	—, —	SOP 28 DIP 28
CXA1030P	2 — 7	MA/MF frontend, FI, detector	—, —	DIP 28
CXA1031M	2 — 4,5	MA/MF frontend, FI, detector, audio	—, —	SOP 28
CXA1032M	1,8 — 4,5	idem numai MA	radio MA	SOP 20
CXA1033P	2—7	idem numai MA	radio MA	DIP 16
CXA1111P	2 — 7	MA/MF frontend, FI, detector	MA/MF radio	DIP 24

**TABELUL 2: Componente discrete**

TIPUL	NR. PINI	CAPSULĂ	STRUCTURĂ	APLICAȚII	TENSIUNEA DE ALIMENTARE (V)
2SK43	3	TO-92	J. FET canal N	AF, IF	10
2SK107	3	TO-92	—, —	—, —	10
2SK121	3	TO-92	—, —	—, —	10
2SK125	3	TO-92	—, —	UHF, mixer, oscilator	10
2SK152	3	TO-92	—, —	AF, IF	5
2SK300	3	Minimold	—, —	—, —	5
2SK581	3	S Pack	—, —	—, —	10
2SK582	3	S Pack	—, —	UHF, mixer, oscilator	10
2SK613	3	Minimold	—, —	AF, IF	5
2SK722	3	TO-3P	MOSFET can. N	AF, amplificator putere, compl. 2SJ131	170
2SJ131	3	TO-3P	MOSFET can. P	AF, ampl. putere, compl. 2SK722	—170
3SK164	4	Minimold	GaAsMESFET cvadripol	UHF ampl., mixer, osc.	5
3SK165	4	—, —	—, —	UHF ampl., mixer, osc.	5
3SK166	4	—, —	—, —	UHF ampl., oscilator	5
2SK585	4	Disk Mold	GaAsMESFET	SHF ampl., oscilator	3
2SK586	4	Ceramic	—, —	SHF ampl.	3
2SK587	4	Disk Mold	—, —	SHF ampl.	3
2SK671	4	—, —	—, —	SHF ampl., mixer, osc	3
2SK676	4	Ceramic	AlGaAs/GaAs	amplificator LN microunde	2
2SK677	4	—, —	HEMT	—, —	2
2SK878	4	—, —	(hetero interface FET)	—, —	2

MES = Metal Semiconductor  
HEMT = High Electron Mobility Transistor



# MINICASETOFON

Student ANDREI BUTUC,  
București

Circuitele integrate liniare au căpăt în ultimii ani o deosebit de largă răspândire.

În cadrul circuitelor integrate liniare, alături de circuitele amplificatoare operaționale, comparatoare etc., un loc aparte este ocupat de circuitele de larg consum, ca de exemplu TBA790. Acest circuit se fabrică la I.P.R.S.-Băneasa și este unul dintre cele mai folosite componente în practica amatorilor.

Circuitul cuprinde 23 de tranzistoare și 10 rezistențe, fiind realizat pe o pastilă de siliciu încapsulată în două variante. Varianta aleasă de noi pentru acest montaj este cea fără radiator, din lipsă de spațiu.

Puterea debitată de circuitul integrat este suficientă pentru a asculta un program muzical în căști.

Montajul prezentat cuprinde un preamplificator cu posibilitate de mixare prin microfon și un amplificator final de putere, realizat cu circuitul integrat TBA790.

Preamplificatorul este realizat cu tranzistoarele  $T_1$  și  $T_2$  cuplate galvanic, cu emitoarele la masă.

Amplificarea montajului este egală cu produsul amplificărilor celor două tranzistoare.

Preamplificatorul este prevăzut cu un circuit de corecție montat în buclă de reacție negativă. Rolul acestui circuit ( $R_6$ ,  $R_7$ ,  $C_5$ ) este de a reduce distorsiunile neliniare și de a mări banda de frecvențe amplificate.

Pentru bandă de tipul CROM, circuitul de corecție devine  $R_6$ - $C_5$ , prin scurtcircuitarea rezistorului  $R_7$  cu ajutorul comutatorului  $K_1$ .

Pentru a se obține un raport semnal-zgomot cât mai bun se utilizează tranzistoare cu zgomot redus (BC109C, BC173).

Cu ajutorul comutatorului  $K_2$  se realizează mixarea programului muzical cu microfonul. Când comutatorul  $K_2$  este acționat, programul muzical scade în intensitate (este înseriat cu rezistorul  $R_{10}$ ), peste el suprapunându-se semnalul provenit de la microfonul încorporat. Comutatorul  $K_2$  se recomandă să fie fără automenținere.

Amplificatorul final este realizat cu circuitul integrat TBA790. Montajul este relativ simplu, necesitând un număr foarte mic de componente pasive.

Semnalul de intrare (programul muzical sau programul mixat) se aplică piciorușului 7 prin intermediul condensatorului  $C_8$ , picioruș care reprezintă intrarea în primul tranzistor al preamplificatorului.

Etajul prefinal din circuitul integrat este alimentat în curent continuu prin intermediul căștilor.

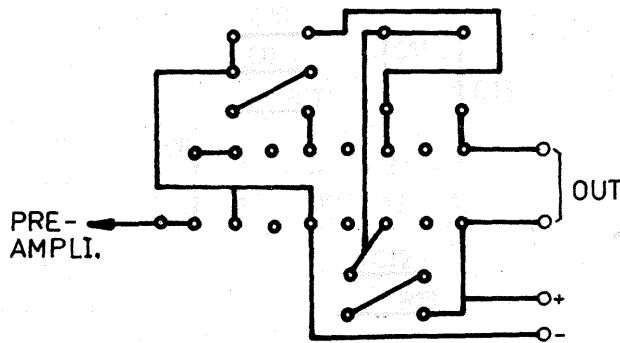
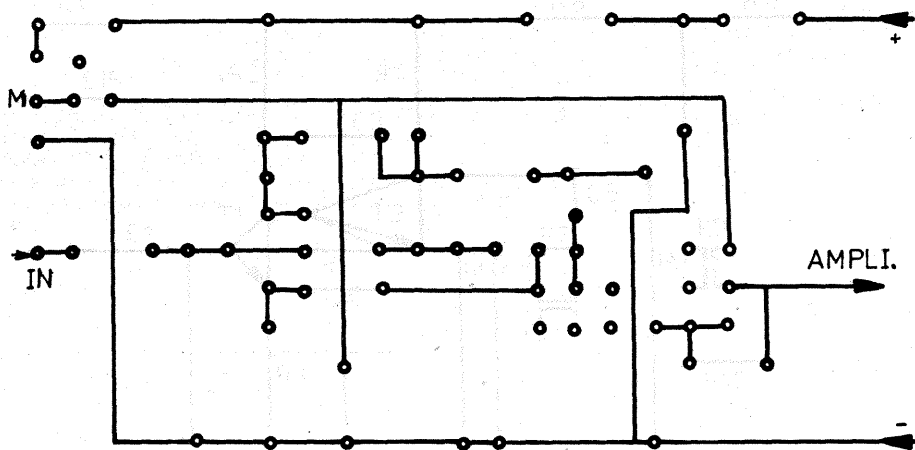
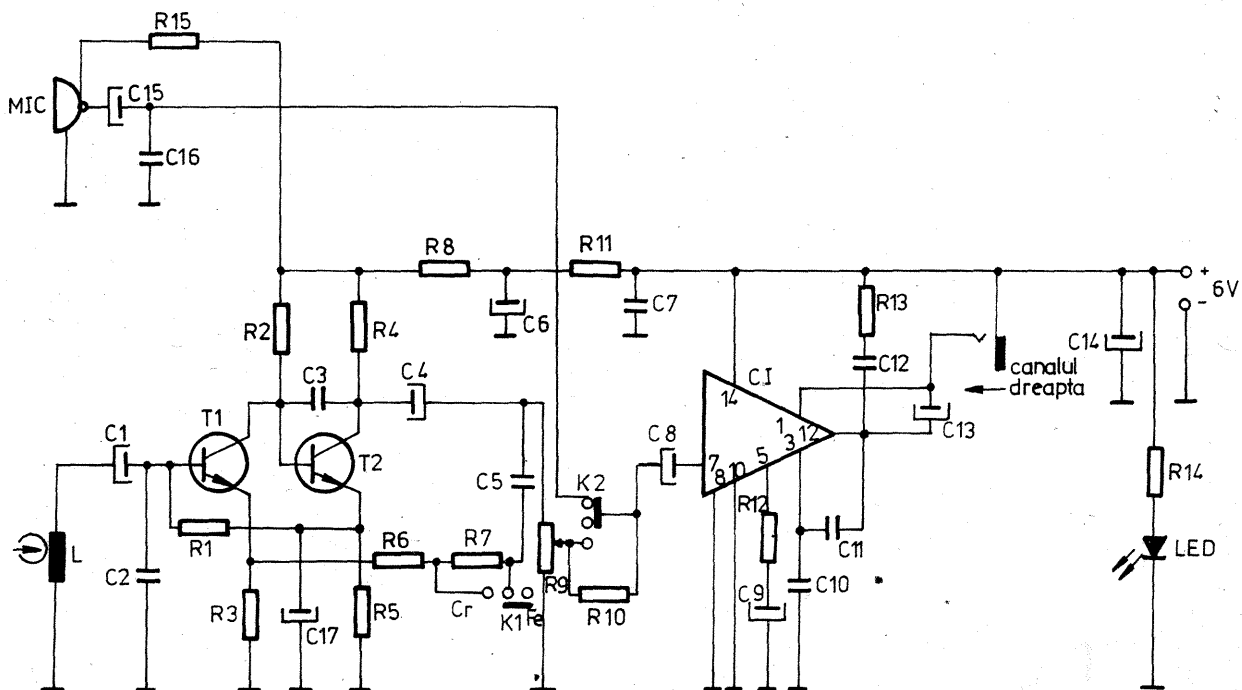
Grupul  $R_{12}$ - $C_9$  stabilește coeficientul de reacție în curent alternativ al circuitului. Pentru ca aplicarea reacției negative să fie uniformă în toată banda de frecvențe, condensatorul  $C_9$  are o valoare mare.

Dacă se micșorează valoarea lui  $C_9$  se obține o creștere a reacției negative în curent alternativ la frecvențe joase, ceea ce duce la reducerea benzii audio în zona frecvențelor joase.

Rolul de a preîntîmpina intrarea în oscilație a întregului amplificator îl are grupul  $R_{13}$ - $C_{12}$ .

Reacția negativă a amplificatorului este asigurată de condensatorul  $C_{11}$ .

Mixajul programului muzical este realizat cu ajutorul unui microfon încorporat, care poate fi de tip 23 S Philips, piesă ce se poate procura din magazinele de specialitate.



Microfonul conține un preamplificator încorporat, alimentat cu ajutorul rezistenței  $R_{15}$ .

Semnalul este preluat prin condensatorul  $C_{15}$  și adus la intrarea amplificatorului final cu ajutorul comutatorului  $K_2$ .

Pentru indicarea funcționării întregului montaj s-a introdus o diodă luminescentă LED (de preferință de culoare roșie), înseriată cu rezistența  $R_{14}$ . Consumul acestui element indicator este relativ mic față de consumul montajului în sine (plus motorul).

Alimentarea întregului montaj se face la 6 V, tensiune debitată de baterii (4 baterii R6) sau de un redresor stabilizat.

Regulatorul de turație nu este prezentat în schemă, avîndu-se în vedere că asemenea montaje au mai fost publicate în ultima vreme. În figura 1 este prezentat unul din canale (canalul stîng), al doilea fiind identic.

Cablajele amplificatorului și preamplificatorului sînt prezentate la scară; pentru realizarea practică ele vor fi micșorate corespunzător.

$R_1 - 33 \text{ k}\Omega$ ;  $R_2 - 15 \text{ k}\Omega$ ;  $R_3 - 220 \Omega$ ;  
 $R_4 - 2,2 \text{ k}\Omega$ ;  $R_5 - 1,5 \text{ k}\Omega$ ;  $R_6 - 4,7 \text{ k}\Omega$ ;  
 $R_7 - 2,2 \text{ k}\Omega$ ;  $R_8 - 560 \Omega$ ;  $R_9 - 22 \text{ k}\Omega$ ;  
 $R_{10} - 10 \text{ k}\Omega$ ;  $R_{11} - 1,2 \text{ k}\Omega$ ;  $R_{12} - 100 \Omega$ ;  
 $R_{13} - 1 \Omega$ ;  $R_{14} - 560 \Omega$ ;  $R_{15} - 10 \text{ k}\Omega$ ;  
 $C_1 - 10 \mu\text{F}$ ;  $C_2 - 1 \text{ nF}$ ;  $C_3 - 330 \text{ pF}$ ;  $C_4 - 10 \mu\text{F}$ ;  
 $C_5 - 20 \text{ nF}$ ;  $C_6 - 100 \mu\text{F}$ ;  $C_7 - 100 \text{ nF}$ ;  
 $C_8 - 4,7 \mu\text{F}$ ;  $C_9 - 47 \mu\text{F}$ ;  $C_{10} - 10 \text{ nF}$ ;  
 $C_{11} - 2,2 \text{ nF}$ ;  $C_{12} - 0,1 \mu\text{F}$ ;  $C_{13} - 220 \mu\text{F}$ ;  
 $C_{14} - 47 \mu\text{F}$ ;  $C_{15} - 1 \mu\text{F}$ ;  $C_{16} - 0,01 \mu\text{F}$ ;  
 $C_{17} - 47 \mu\text{F}$ .

## BIBLIOTECA DE TITLURI

Chim. D. SERACU, I.C.P.C.I.S.Z.S.D.-Fundulea

O bibliotecă de titluri cuprinde (după cum îi spune și numele) o înșiruire a unor titluri de lucrări (cărți, articole, metode de lucru etc.) grupate după anumite criterii. O asemenea listă trebuie să cuprindă, pe lângă numele autorului (sau autorilor), și titlul, sursa (carte, revistă, bibliograf etc.), anul apariției, numărul revistei (sau volumul), paginile între care se găsește. De asemenea, la fiecare inserare (titlu), ea trebuie să cuprindă câteva cuvinte specifice domeniului tratat de material, cuvinte cunoscute sub denumirea de CUVINTE-CHEIE. Ele sînt deci cuvinte și noțiuni legate strict de materialul respectiv, permițînd ca după parcurgerea lor cititorul să-și poată da seama despre informațiile ce le-ar obține citind textul „in extenso”.

Astfel, în cazul articolului „Calcul Chimice”, inserarea acestuia (împreună cu cinci cuvinte-cheie) într-o bibliotecă de titluri ar arăta în felul următor:

BASIC, PROGRAM, CHIMIE, CALCULE, SIST. PERIODIC, D. Seracu, Calcul Chimice, Tehnium, 1988, 2-3, 12-13

Pentru a căuta într-o asemenea bibliotecă, în primul rînd trebuie stabilite

cuvintele-cheie după care să se efectueze căutarea. În cazul în care se găsesc suprapuneri între cuvintele-cheie stabilite și cele de la înregistrare, se notează numele autorilor, titlul lucrării, sursa unde poate fi găsită, anul apariției, numărul sau volumul și paginile între care se găsește, date absolut necesare regăsirii materialului original.

Din cele de mai sus reiese clar cît de ingrată este o asemenea muncă, mai ales cînd avem la dispoziție o bibliotecă vastă.

Tocmai acesta este scopul punerii pe calculator de către majoritatea bibliotecilor mari din lume a colecției lor de titluri. Chiar dacă amatorul nu dispune de o colecție documentară ce s-ar putea numi vastă, totuși, dacă are câteva sute de titluri, un asemenea program și-ar găsi utilitatea, acesta fiind și scopul nedeclarat al prezentului articol.

Programul este conceput de așa manieră încît să permită utilizarea mai multor biblioteci introduse în fișiere (memorii) externe, fiecare din ele grupînd titlurile pe o anumită temă (de exemplu: electronică; auto-moto; foto — și de ce nu — supe; ciorbe etc.). Natural, în cazul fiecărei teme se vor alege cuvintele-cheie specifice acesteia, în cazul temelor culinare ele fiind de tipul: legume, cărnuri, materialele necesare pentru gătit și care se găsesc în camera de alimente.

### PREZENTAREA PROGRAMULUI

Programul „Bibliotecă de Titluri” este împărțit în 4 subrutine:

- subrutina 1 permite crearea de noi biblioteci de titluri, pe o anumită temă dată de operator;

- subrutina 2 permite inserarea (adăugarea) de noi titluri la o bibliotecă existentă;

- subrutina 3 permite afișarea și listarea (la solicitare) a întregii biblioteci;

- subrutina 4 permite căutarea după cel mult 5 cuvinte-cheie în biblioteca de titluri.

1. Crearea de noi biblioteci de titluri (etichetele 890—1090) se efectuează prin înregistrarea într-un fișier nou, deschis sub numele temei introduse la eticheta 90, a titlurilor în ordinea introducerii lor de la consolă (tastatură). În cazul în care s-a terminat introducerea de titluri, la o nouă solicitare a calculatorului, pentru primul cuvînt-cheie se va tasta 0 [900]. La întîlnirea acestui caracter, calculatorul îl înregistrează în fișierul deschis [910], îl închide și revine la începutul programului, la eticheta 170.

Întregul program a fost conceput de așa manieră încît la întîlnirea caracterului 0 pe poziția primului cuvînt-cheie, acesta să fie recunoscut ca sfîrșit de fișier.

În cazul în care operatorul nu are nevoie și de o altă temă, la solicitarea de la eticheta 170 va răspunde

cu NU, sau doar tastînd <CR> (pe parcursul întregului program, pentru simplificarea manipularii, la răspunsuri negative este suficientă tastarea butonului CR). La solicitarea următoare [190] însă, operatorul va răspunde cu DA, sau doar D, moment în care programul se reia de la 90.

2. Inserarea de noi titluri (1100—1390) se începe cu deschiderea fișierului cu titlul identic cu tema indicată de operator (la eticheta 90) și copierea acestuia într-un al doilea fișier, denumit „COPIE” [1100—1120; 1140]. La întîlnirea caracterului de sfîrșit de fișier, „0” [1130], se șterge fișierul original [1170], după care se începe înregistrarea în continuarea fișierului COPIE a titlurilor introduse de la consolă [1180—1360]. La introducerea caracterului de terminare (0), se înregistrează și acesta la sfîrșitul fișierului, i se schimbă numele pe numele inițial al temei [1370—1380], iar după aceasta se trece la instrucțiunea 170.

3. Listarea bibliotecii de titluri permite afișarea și (la solicitare) listarea la imprimantă a conținutului bibliotecii de titluri (mai puțin cuvintele-cheie), cu tema dată de operator [220—330].

4. Căutarea după cel mult 5 cuvinte-cheie în biblioteca de titluri se compune la rîndul său din alte două subrutine: cea de afișare (și listare) a cuvintelor-cheie și cea de căutare propriu-zisă în bibliotecă.

În cazul în care operatorul solicită afișarea (și listarea) cuvintelor-cheie folosite la tema respectivă, acestea sînt citite pe rînd din fișier, puse în ordine alfabetică afișate și listate (la solicitarea operatorului), ținîndu-se cont ca să nu se afișeze (listeze) de mai multe ori același cuvînt [670—850].

Pentru căutare în biblioteca de titluri se solicită introducerea de la consolă a maximum 5 cuvinte-cheie, precum și a numărului de suprapuneri dorite [370—420]. După corectarea unor eventuale erori de tastare [430—470] se deschide fișierul cu numele identic cu tema introdusă la eticheta 90, din care se citesc pe rînd titlurile. Se compară cuvintele-cheie cu cele introduse de operator. Dacă numărul de suprapuneri (cuvinte identice în cele două liste) este mai mare sau egal cu cel introdus la eticheta 390, se afișează: AUTOTITLUL LUCRĂRII/SURSA (revista, cartea, dosarul etc.)/ANUL/NUMĂRUL sau VOLUMUL/PAGINA (de început — cea de sfîrșit) [480—630]. La solicitarea operatorului, în paralel se efectuează și listarea titlurilor găsite.

La terminarea cercetării se interoghează operatorul dacă are și alte subiecte de căutat în cadrul aceleiași teme [640—650]. În caz afirmativ, subrutina este reluată de la eticheta 370, iar în caz negativ se iese din execuția ei, trecîndu-se la instrucțiunea cu eticheta 170.

Programul (datorită limitărilor impuse de capacitatea limbajului BASIC) permite cercetarea a maximum 2500 cuvinte-cheie [10], adică o bibliotecă cu cel mult 500 de titluri. Acest impediment poate fi însă depășit printr-o alegere judicioasă a temelor sub care se deschid fișierele de titluri.

Tocmai în folosirea fișierelor externe programului rezidă marele avantaj al acestuia față de altele de acest gen, la care stocarea titlurilor se face la sfîrșit (de exemplu, sub formă de DATA). Aceasta deoarece din acest punct de vedere volumul bibliotecii de titluri este limitat doar de capacitatea memoriei externe folosite (disc de masă, bandă magnetică, dischetă, casetă etc.).

Un alt mare avantaj este utilizarea programului atît pentru gestionarea unei biblioteci de titluri, cît și pentru obținerea unor liste bibliografice pe domenii sau teme.

În fine, dar nu și în ultimul rînd, un avantaj major al programului este că are întrebuintări deosebit de vaste, începînd cu elaborarea de liste bibliografice (amintite mai sus) pe domenii, teme, subteme etc. și mergînd pînă la a răspunde la întrebări de genul „Ce gătim pentru azi?”.

```

10 DIM A*(2500),I(2500)
20 PRINT CHR*(24):FOR I=1 TO 20:PRINT CHR*(26);:NEXT I:PRINT
30 PRINT TAB(15);
40 PRINT TAB(15);" | ";TAB(63);" | "
50 PRINT TAB(15);" |  BIBLIOTECA DE TITLURI  | "
60 PRINT TAB(15);" | ";TAB(63);" | "
70 PRINT TAB(15);
80 PRINT TAB(26);"Compilare D. Seracu (1988)":PRINT:PRINT:PRINT
90 PRINT:INPUT "Tema";TEMA*:PRINT
100 PRINT "SUBROUTINE:"
110 PRINT:INPUT TAB(10);"1. Crearea unei noi biblioteci de titluri"
120 PRINT:PRINT TAB(10);"2. Inserarea de noi titluri intr-o biblioteca existenta"
130 PRINT:PRINT TAB(10);"3. Listarea bibliotecii de titluri"
140 PRINT:PRINT TAB(10);"4. Cautarea dupa max. 5 cuvinte cheie":PRINT:PRINT:RESTORE
150 INPUT " Introduceți subrutina necesara ",R
    
```

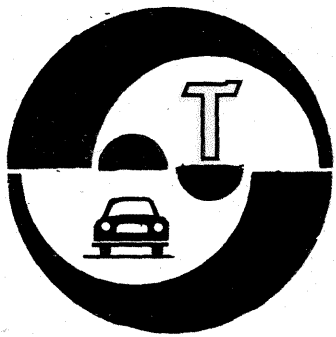


```

160 DN R GOTO 890,1100,220,350
170 PRINT:INPUT"Doriti o alta subrutina ";R*
180 IF LEFT*(R*,1)="D" THEN 100
190 PRINT:INPUT"Doriti o alta tema ";TE*
200 IF LEFT*(TE*,1)="D" THEN 90
210 END
220 N=0:PRINT:INPUT"Doriti listarea bibliotecii de titluri ";BIBL*
230 IF LEFT*(BIBL*,1)="D" THEN LPRINT:LPRINT TAB(15);"BIBLIOTECA DE TITLURI":
LPRINT:LPRINT
320 IF LEFT*(BIBL*,1)="D" THEN LPRINT:LPRINT N;" / ";AUTORI*;" / ";TITLU*;" /
";SURSA*;" / ";AN*;" , ";NR*;" , ";PG*
240 OPEN "I",#1,TEMA*
250 GOSUB 860
260 IF B*(1)="0" THEN CLOSE #1:GOTO 170
270 N=N+1
280 PRINT:PRINT N;" / ";AUTORI*;" / ";TITLU*;" / ";SURSA*;" / ";AN*;" , ";NR*;" , ";PG*
290 IF N/7<>INT(N/7) THEN 320
300 PRINT:PRINT"Pentru a continua, tastati orice caracter"
310 IF INKEY*="" THEN 310
330 GOTO 250
340 CLOSE #1
350 PRINT:INPUT"Doriti o afisare sau listare a cuvintelor cheie folosite ";W*
360 IF LEFT*(W*,1)="D" THEN GOSUB 670
370 PRINT:INPUT"Cite cuvinte cheie aveti ";V
380 IF V>5 THEN PRINT CHR*(7):PRINT"***** M A X I M U M 5 C U V I N T E
C H E I E ! *****":GOTO 370
390 PRINT:INPUT"Minimum cite din ele doriti sa le regasiti ";Z
400 IF Z>V THEN PRINT CHR*(7):PRINT"***** DATI UN NUMAR MAI MIC SAU EGAL
CU ";V;" ! *****":GOTO 390
410 PRINT:PRINT"Introduceti cuvintele cheie ":FOR I=1 TO V:PRINT I,:INPUT Q*(I)
420 NEXT I
430 PRINT:INPUT"Exista cuvinte cheie tastate gresit ";W*
440 IF LEFT*(W*,1)<>"D" THEN 480
450 PRINT:INPUT"Care numar ";NUM
460 IF NUM>V THEN PRINT CHR*(7):PRINT:PRINT"***** A T I T A S T A T
G R E S I T ! *****":GOTO 450
470 PRINT NUM,:INPUT Q*(NUM):GOTO 430
480 OPEN "I",#1,TEMA*
490 PRINT:INPUT"Doriti si o listare a titlurilor gasite ";LISTA*
500 IF LEFT*(LISTA*,1)="D" THEN LPRINT TAB(20);"LISTA TITLURILOR CARE INCLUD
CUVINTELE CHEIE: " ELSE 530
510 LPRINT:FOR I=1 TO V:LPRINT Q*(I),:NEXT I:LPRINT
520 FOR I=1 TO 130:LPRINT"-";:NEXT I:LPRINT:LPRINT
530 GOSUB 860
540 IF B*(1)<>"0" THEN 560
550 CLOSE #1:GOTO 640
560 FOR I=1 TO V
570 FOR J=1 TO 5
580 IF Q*(I)=B*(J) THEN W=W+1
590 NEXT J
600 NEXT I
610 IF W>=Z THEN PRINT TAB(5)"- ";AUTORI*;" / ";TITLU*;" / ";SURSA*;" /
";AN*;" , ";NR*;" , ";PG*
620 IF LEFT*(LISTA*,1)="D" THEN LPRINT TAB(5);"- ";AUTORI*;" ; ";TITLU*;" ;
";SURSA*;" ; ";AN*;" , ";NR*;" , ";PG*
630 W=0:GOTO 530
640 PRINT:PRINT"Aveti si alte subiecte de cautat in domeniul ";TEMA*,:INPUT V*
650 IF LEFT*(V*,1)="D" THEN 370
660 GOTO 170
670 OPEN "I",#1,TEMA*:N=0
680 N=N+1
690 FOR I=(L+1) TO (L+5):INPUT #1,A*(I):IF A*(I)="0" THEN 730
700 NEXT I
710 INPUT #1,AUTORI*,TITLU*,SURSA*,AN*,NR*,PG*:L=N*5:GOTO 680
720 REM **** ARANJAREA IN ORDINE ALFABETICA A CUVINTELOR CHEIE ****
730 CLOSE #1:FOR I=1 TO L-1
740 M=I
750 FOR J=I TO L
760 IF A*(J)<A*(M) THEN M=J
770 NEXT J

```

(CONTINUARE ÎN NR. VIITOR)



**Articolul 1:** În scopul formării unui comportament disciplinat și preventiv pe drumurile publice, cât și pentru cunoașterea și respectarea de către întregul tineret a normelor de circulație și de conduită preventivă, redacția revistei „Tehnum”, cu sprijinul de specialitate al Direcției Circulație din Inspectoratul General al Miliției, organizează anual un concurs pe teme rutiere „Circulația”.

**Articolul 2:** Concursul se va desfășura anual în trei numere consecutive ale revistei „Tehnum”, prezentându-se grafic imagini din circulația rutieră, însoțite și de texte explicative care vor cuprinde probleme de circulație și de conduită preventivă specifice pietonilor (A), bicicliștilor, motocicliștilor, motoretistilor (B) și automobiliștilor (C).

**Articolul 3:** Publicarea imaginilor însoțite de întrebări și textele explicative corespunzătoare se va face anual în trei numere consecutive ale revistei „Tehnum”.

**Articolul 4:** La concurs pot participa toți tinerii care au împlinit vârsta de 14 ani, cât și colective de membri din cadrul cercurilor de creație tehnico-aplicative din sistemul U.T.C., întreprinderi și instituții etc.

**Articolul 5:** Participanții la concurs sînt datori să comenteze, cu soluții temeinic justificate și în spiritul conducerii rutiere preventive, toate situațiile publicate în fiecare număr al revistei.

**Articolul 6:** Scrisorile cu răspunsurile, pentru fiecare situație publicată, se vor expedia pe adresa redacției revistei „Tehnum” — Piața Scînteii nr. 1, București, Cod 79784, pentru Concursul pe teme rutiere „Circulația” —, pînă la data de 15 a lunii următoare (data poștei).

**Articolul 7:** Juriul, constituit din specialiști, reprezentanți ai C.C. al U.T.C., I.G.M. — Direcția Circulație — și ai revistei „Tehnum”, va examina conținutul scrisorilor primite în vederea premierii celor mai bune răspunsuri.

**Articolul 8:** Premiile se procură anual de către redacția revistei „Tehnum”.

**Articolul 9:** Răspunsurile apreciate ca fiind foarte bune vor fi recompensate cu următoarele premii:

- a) un premiu special al revistei „Știință și tehnică” în valoare de 1 000 de lei;
- b) un premiu special al revistei „Tehnum” în valoare de 1 000 de lei;
- c) trei premii constînd din obiecte în valoare de 600 de lei;
- d) zece mențiuni constînd din 5 almanahuri „Știință și tehnică” și 5 almanahuri „Tehnum”;
- e) mai pot fi acordate alte premii din partea unor întreprinderi sau instituții.

**Articolul 10:** Cele mai bune răspunsuri vor fi popularizate prin intermediul presei.

**Articolul 11:** Concluziile desprinse în urma verificării răspunsurilor primite și a recompensării celor apreciate corespunzător vor fi inserate în scurte note, care vor fi supuse spre analiză conducerii Direcției Circulație și a revistei „Tehnum” ce vor stabili măsuri adecvate pentru întărirea disciplinei rutiere și prevenirea accidentelor de circulație.

## EXEMPLE DE ACCIDENTE

La 7 ianuarie 1987, în jurul orei 20,30, în dreptul stației ITB cu refugiu pentru tramvaie Rîmnicu-Sărat, Pica Ecaterina, 61 ani, și Gabriela Chervase, 59 ani, angajîndu-se în traversare neatente și prin loc nepermis, au fost grav accidentate de un autoturism (16-B-7272, Dacia 1300, condus de Nicolae Trăchinescu).

La data de 15 ianuarie 1987, ora 9,00, pe linia de centură a municipiului București, dinspre comuna Tunari spre comuna Ștefănești, Cristina Popescu, 24 de ani, coborînd din autocamionul 21-B-6552, s-a angajat în traversare prin fața acestuia, fiind accidentată de autocamionul 21-PH-5080.

La 3 iulie 1987, ora 18,00, pe ploaie, în orașul Cîmpulung, Nicolae Poienaru, 19 ani, deplasîndu-se pe acostament cu umbrela deschisă, a pătruns brusc pe carosabil, și fără să se asigure, în fața unui autoturism ARO, fiind accidentat mortal.

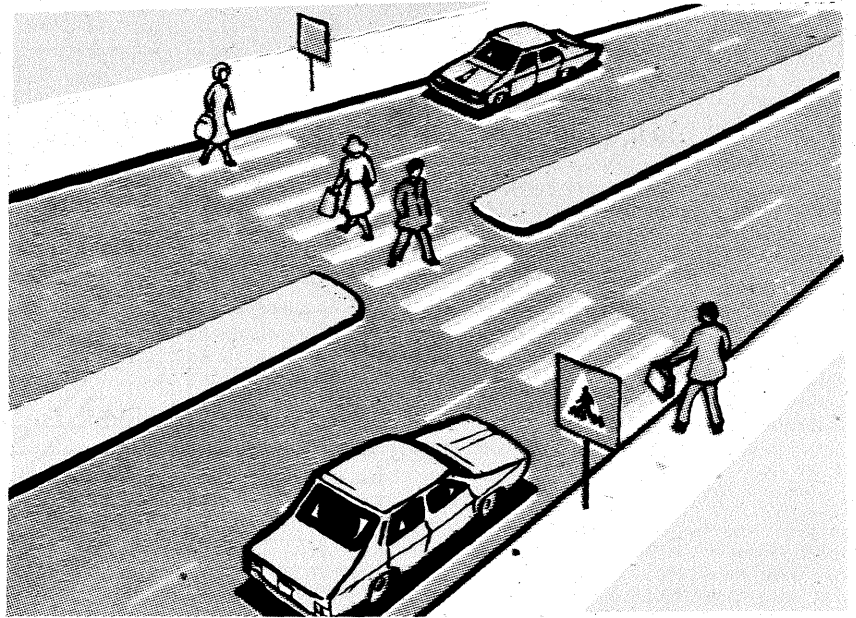
La 5 iulie 1987, ora 0,40, în Sibiu, Cristea Traian, traversînd strada, în fugă și fără să se asigure, prin fața unui troleibuz staționat, a fost accidentat de autoturismul 4-SB-2332, condus de Crețu Nicolae, 25 de ani.



# ÎNTREBĂRI

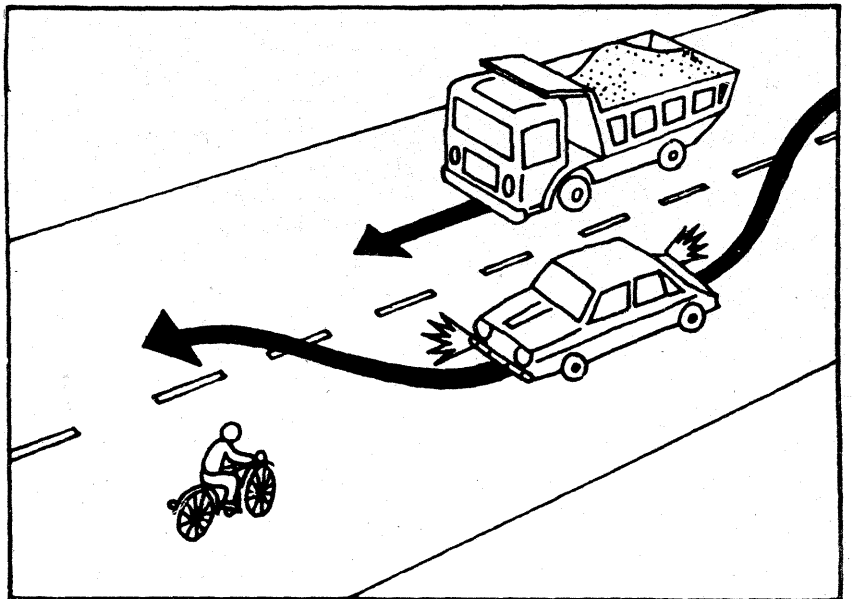
## Întrebarea nr. 1 A

Autoturismul de culoare verde se află în mișcare. În această situație, arătați dacă pietonul de pe șosea se poate angaja în traversarea străzii.



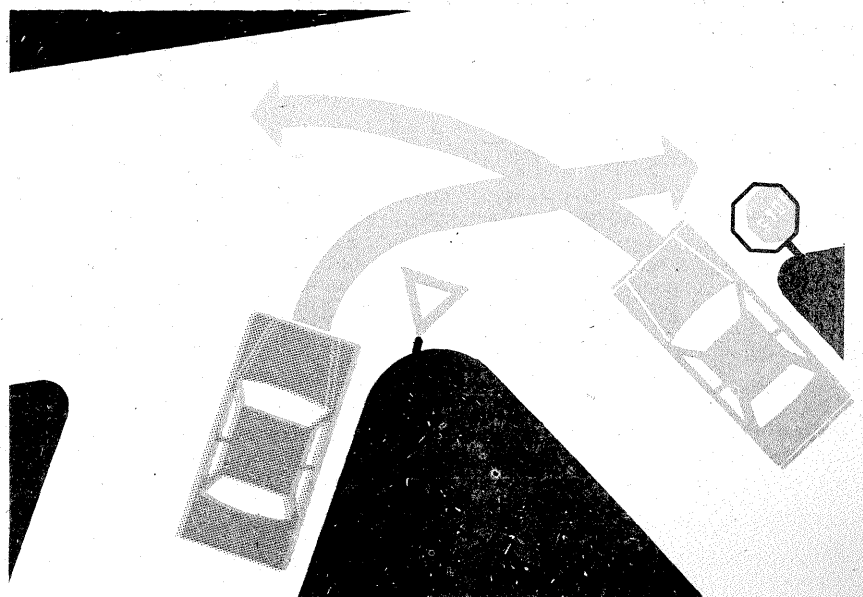
## Întrebarea nr. 1 B

Cum trebuie să procedeze din punct de vedere al conduitei preventive biciclistul și conducătorul vehiculului greu din desenul alăturat?



## Întrebarea nr. 1 C

Explicați pe ce se întemeiază prioritatea între cei doi conducători de vehicule din punct de vedere legal și al normelor de conduită preventivă.





# K.S.F.-COMUTATOR HI-FI DE STANDARDE FONOGRAFICE

FLORIN HARTNER

Dacă egalizorul în puncte de frecvență este destinat eliminării unor diferențe, dar numai acolo unde distorsiunile pe care le introduce sînt neglijabile în raport cu foloasele aduse, K.S.F. înlocuiește preamplificatorul dozei electromagnetice (dotat cu o singură corecție, de regula RIAA).

Audiția diferitelor discuri printr-o corecție unică produce ascultătorului o senzație neplăcută. Unele discuri „se aud bine” — altele nu. Ce se întîmplă?

Corecția existentă favorizează familia de firme careia îi aparține respectivul standard; consecința este denaturarea mesajului muzical pentru toate celelalte.

În decursul timpului, K.S.F. mi-a dovedit cu prisosință utilitatea atît la audiții, cît și (mai ales) la imprimări pe bandă magnetică. Redarea benzilor înregistrate prin K.S.F. oferă ascultătorului senzația unei singure scene pe care cîntă toți interpreții din lume. Dispar acele piese „cu mulți bași”, „fără înalte” etc.

Standardele de care aparțin feluritele case producătoare se determină fie „după ureche”, fie după nivelul la imprimare, astfel: se testează un disc cunoscut, de exemplu ELECTRECORD (imprimat în studiourile proprii) = R I A A = k1 și se reglează pe VU-m. Pentru celelalte discuri (necunoscute) se comută K.S.F.; cînd se regăsește nivelul de referință, firma producătoare poate fi catalogată la poziția respectivă (se vor întocmi 6 fișe numerotate K.1—K.6).

Neavînd control vizual, recunoaștem standardul discului cînd melodia se aude puternic și clar în tot spectrul de frecvență, solistul este detașat de orchestră, consoanele specifice nu mai șuiera (cu deosebire la discurile avînd 45 r.p.m.).

Menționez că acest dispozitiv este destinat publicului larg, oferînd — la un cost accesibil — înalte performanțe.

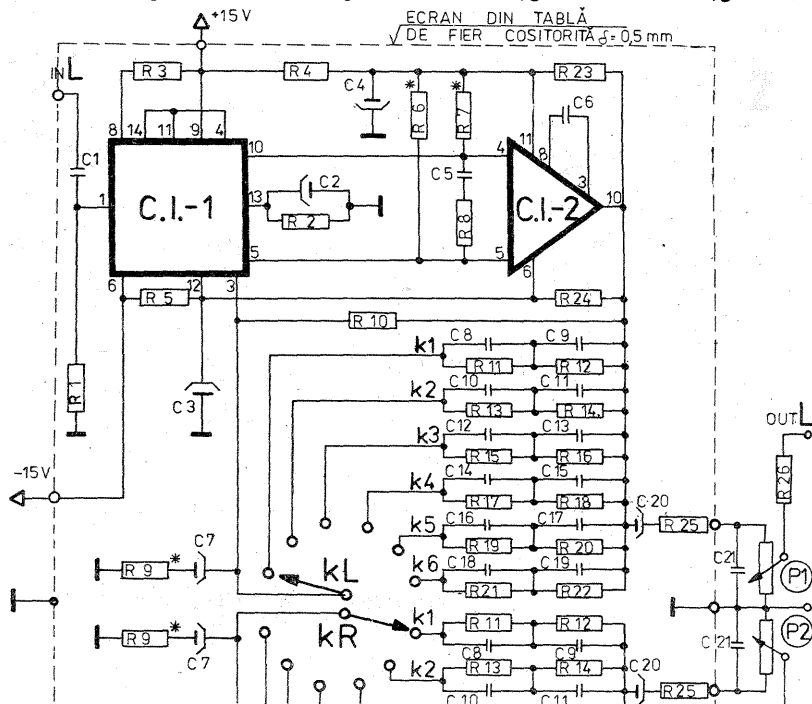
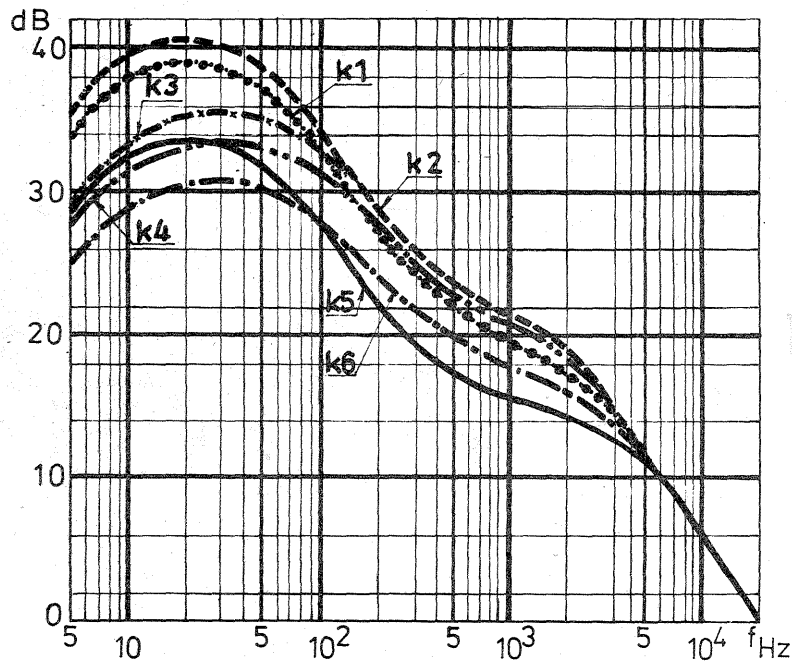
Dacă în urmă cu opt ani am realizat K.S.F. cu tranzistorul dublu BCY55 și cu  $\mu$ A741, în urma progreselor notabile reputeate de industria noastră și în circuite integrate, am redesenat întregul material folosind componente autohtone de cea mai potrivită calitate, respectiv  $\beta$ A726 (tranzistoare perechi, termostatate) și  $\beta$ M301A.

Trebuie menționat că lectura discurilor se va face cu o doză magnetică avînd  $Z=47$  k $\Omega$ , rezultatele K.S.F. fiind direct proporționale cu fidelitatea lectorului folosit.

În figura 1 se pot urmări curbele realizate de K.S.F. pe baza datelor din tabelul alăturat.

## DESCRIEREA MONTAJULUI

După cum se poate observa din figura 2, cele două circuite integrate C11 și C12 sînt cuplate în cascadă, obținîndu-se o amplificare sporită, condiție necesară pentru scopul propus — urmărirea precisă a 6 curbe ce diferă între ele nu foarte mult.



Impedanța de intrare este 47 k $\Omega$ . Intrarea se face prin C1 în baza lui Q1 (= Q2 prin construcție). Curentul  $I_{B1}=I_{B2}=500$  nA.

Oglinda de curent (Q3 și Q4) prin R2 asigură funcționarea lui Q1 și Q2 (emitor comun) în regim de izozgomot, menținîndu-se amplificarea la aproximativ 100.

Sarcina etajului diferențial o constituie C12 (cu impedanță mare de intrare).

Se remarcă simetria colector Q1 la intrarea inversoare a lui C12 și colector Q2 la intrarea pozitivă a aceluiași integrat.

Prin C5 — R8 se introduce o compensare suplimentară, absolut necesară acestui tip de montaj. C6 a fost ales conform indicațiilor uzinei producătoare. R23 și R24 amortizează

fenomene tranzitorii. R4 — C4 și R5 — C3 asigură un filtraj suplimentar, micșorînd posibilitatea diafoniei dintre canale. Filtrul C2 — R2 elimină zgomotul ce poate fi reflectat în

oginda de curent. R10 menține un potențial negativ pe baza lui Q2 în timpul comutărilor.

Filtrul C7 — R9 rejectează infrasonetele provenite din exterior (mecanism pick-up, disc ondulat etc.). C20 și R25 separă și protejează ieșirea C12. C21 — P1 (respectiv C21 — P2) feresc ieșirile de oscilații parazitare.

Din montaj se va prevedea ca P1 și P2 să permită un reglaj separat pe canale.

U ieșire L (R) = 0—600 mV (pe o sarcină de 22 k $\Omega$ ).

## ALIMENTAREA MONTAJULUI

Se va avea în vedere adoptarea unui stabilizator dublu de foarte bună calitate, protejat la scurtcircuit, capabil să debiteze  $2 \times I_{max} = 2 \times 150$  mA (din construcție termostatul din  $\beta$ A726 consumă la pornire cca 60 mA).

Transformatorul de rețea va fi ecranat cu tablă de fier de 1 mm grosime.

Înfășurările secundare se vor proteja cu siguranțe de cca 0,8 A în eventualitatea că se strîpunge vreunul din primele condensatoare de filtraj ( $2 \times 2200$   $\mu$ F).

## MATERIALE NECESARE

- 2 x C11 =  $\beta$ A726; 2 x C12 =  $\beta$ M301A; P1 = P2 = 5 k $\Omega$ /log.; 1 buc. comutator rotativ 2 x 6 poziții; C1 = 1  $\mu$ F/50 V (nepolarizat); C2 = 2,2  $\mu$ F/15 V; C3 = C4 = 100  $\mu$ F/15 V; C5 = 2200 pF; C6 = 33 pF; C7 = 220  $\mu$ F/U<sub>min</sub> = 3 V; C8 = 22 nF; C9 = 87,6 (82+5,6) nF; C10 = 20,6 (15+5,6) nF; C11 = C12 = 57,5 nF (56+1,5) nF; C13 = 58,7 nF (56+2,7) nF; C14 = C16 = C18 = 22 nF; C15 = 86 nF (39+47) nF; C17 = 133 nF (100+33) nF; C19 = 110 nF (100+10) nF; C20 = 10  $\mu$ F/15 V; C21 = 220 pF; R1 = R6 = R7 = 51 k $\Omega$ ; R2 = 150 k $\Omega$ ; R3 = 510 k $\Omega$ ; R4 = R5 = 220  $\Omega$ ; R8 = 470  $\Omega$ ; R9 = 56  $\Omega$ ; R10 = 4,7 M $\Omega$ ; R11 = 3,3 k $\Omega$ ; R12 =  $35,9 \cdot \left(\frac{56}{100}\right)$  k $\Omega$ ; R13 = R15 = R17 = 4,7 k $\Omega$ ; R14 = 47 k $\Omega$ ; R16 = 27 k $\Omega$ ; R18 =  $18,3 \cdot \left(\frac{33}{41}\right)$  k $\Omega$ ; R19 = R26 = 2,2 k $\Omega$ ; R20 = 24 k $\Omega$ ; R21 = 2,7 k $\Omega$ ; R22 = R23 = R24 = 15 k $\Omega$ .

## BIBLIOGRAFIE

- Amplificatoare de audiofrecvență — B. Bărbat, I. Presură, T. Tănăsescu, Editura Tehnică, 1972.
- Circuite integrate analogice — Catalog, Editura Tehnică, 1983.
- Circuite integrate liniare nr. 4 — Manual de utilizare, Editura Tehnică, 1985.

## NOTĂ

Toate rezistoarele pot fi de 0,125 W.

Piesele notate cu asterisc, precum și toate componentele din bucla de reacție negativă vor avea toleranța 1%.

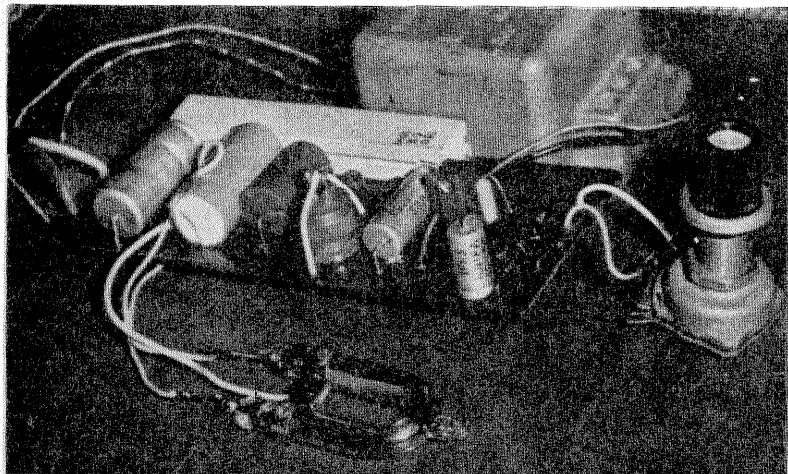
Ambele canale vor fi identice; astfel, condensatoarele și rezistoarele din KL și KR vor fi sortate perechi.

TABELUL STANDELELOR CONSIDERATE UTILE

K	CARACTERISTICI ( $\mu$ s)			Producător disc. observații	r.p.m. ( rotații pe minut)
	t.1	t.2	t.3		
1.	75	318	3180	Electrecord, R.C.A. etc.	
2.	100	318	2720	Balkanton, E.M.I. etc.	33 1/3
3.	100	318	1590	Supraphon, C.B.S. etc.	
4.	100	398	1590	copie coloană sonoră film sau înregistrare specială	
5.	50	318	3180	Idem, k1, k2, k3	45
6.	57	318	1590	Idem k4	

# STROBOSCOPI

BOGDAN BOTEANU,  
MARIUS BUHOICI



Sintem elevi ai Liceului Electro-Energetic din Braşov şi pasionaţi de electronică. Cu toate că amândoi sintem în ultimul an de liceu şi, bineînţeles, viitori candidaţi la studenţie ai Politehnicii, mai găsim totuşi timp şi pentru pasiunea noastră.

Practic, revista „Tehnum” ne-a trezit pasiunea pentru electronică, începînd cu cele mai simple montaje şi evoluînd spre cele mai complexe. Astfel am ajuns şi să proiectăm unele montaje în funcţie de piesele disponibile.

Propunem spre publicare o schemă de stroboscop care, alături de orga de lumini, vine să întregască seria montajelor de divertisment folosite la serbările muzical-dansante sau discotecii.

Efectul psihic deosebit, deoarece complexul alcătuit de muzică asociată cu efectele luminoase este completat şi de o „percuţie luminoasă”, deci de un efect stroboscopic, care dă impresia că dansatorii se mişcă sacadat, asemănător cu imaginile filmelor de la începuturile cinematografeii.

## DESCRIEREA MONTAJULUI

Montajul este alcătuit din două părţi principale: circuitul de alimentare a tubului cu descărcare în gaze şi comanda acestuia.

Circuitul de alimentare a tubului este alcătuit din dioda redresoare  $D_1$ , rezistenţa limitatoare de curent  $R_1$  şi condensatorul  $C_1$ . Rezistenţa  $R_1$  are puterea nominală de 16 W, deoarece tot curentul ce este absorbit de montaj trece prin ea. Puterea absorbită de tub este proporţională cu pătratul tensiunii de la bornele acesteia, valoarea condensatorului care se descarcă pe tub şi frecvenţa descărcărilor, deci:

$$P = \frac{U^2CR}{2}$$

Condensatorul  $C_1$ , montat în paralel cu electrozii tubului cu descărcare în xenon, are rolul de a menţine în permanenţă la bornele acestuia o tensiune de peste 300 V.

Amorsarea tubului are loc cu ajutorul condensatorului  $C_2$ , care prin intermediul tiristorului  $Th$  se descarcă pe primarul bobinei de inducţie, astfel încît în secundarul acesteia se obţine un impuls de tensiune de cîteva mii de volţi. Încărcarea condensatorului  $C_2$  este asigurată prin intermediul rezistenţei  $R_2$ . Comanda amorsării tubului este realizată prin intermediul tiristorului  $Th$ . De menţionat că tensiunea de vîrf repetitivă a acestui tiristor este de minimum 400 V.

Astfel se pot folosi următoarele tipuri: T1N4, T1N5... T1N8; T3N4, T3N5... T3N8.

Polarizarea tiristorului se poate realiza în mai multe variante. Noi vă propunem doar două din acestea.

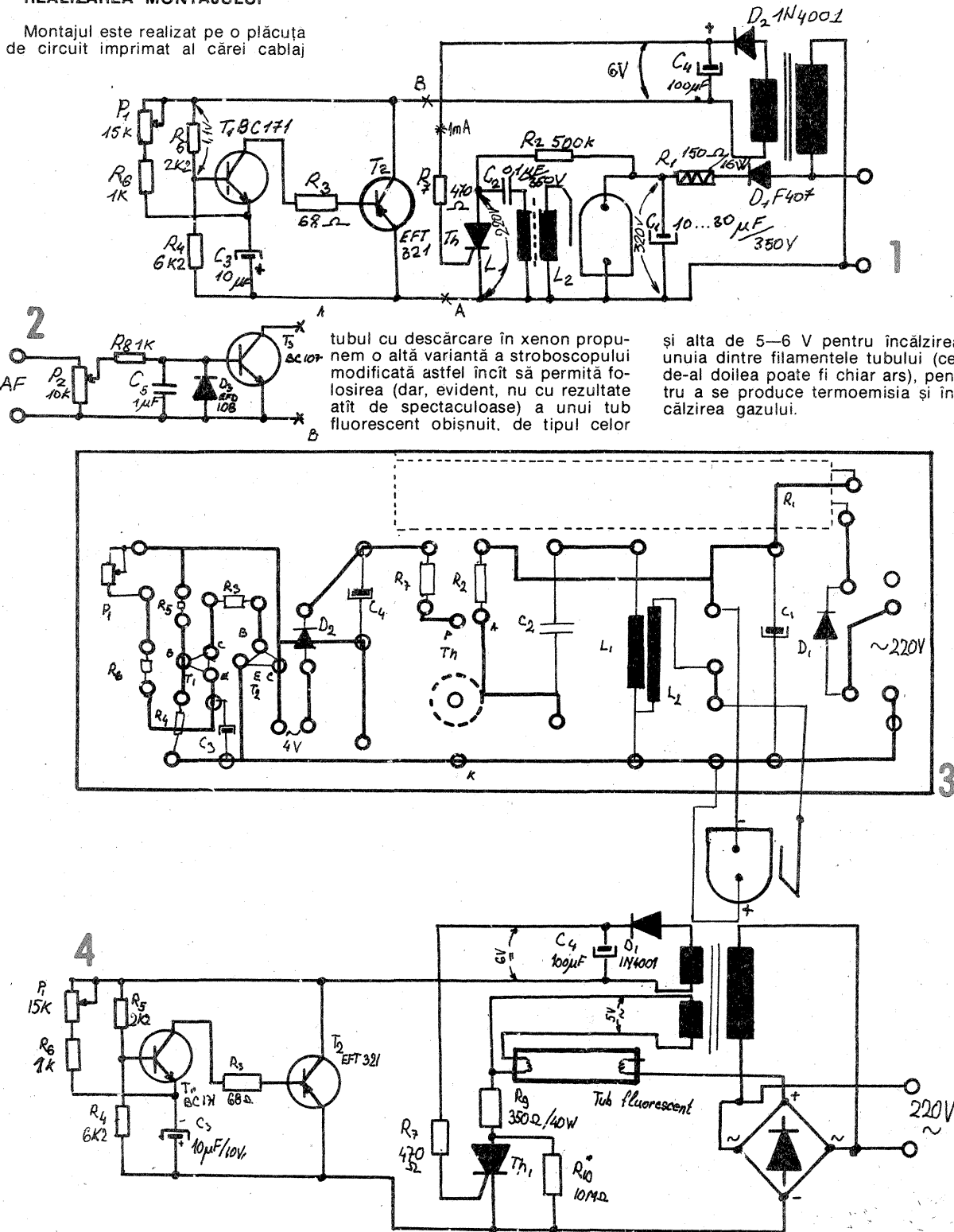
Prima este un generator de impulsuri, de fapt un monostabil realizat cu tranzistoarele  $T_1$  şi  $T_2$ . Schema este clasică şi de aceea nu insistăm asupra ei; de menţionat faptul că frecvenţa impulsurilor este reglabilă din potenţiometrul  $P_1$ .

A doua variantă de comandă a ti-

ristorului se realizează cu ajutorul unui filtru de frecvenţe de tip trece-jos, format din condensatorul  $C_5$  şi rezistenţa  $R_8$ . Acest filtru comandă deschiderea tranzistorului  $T_3$ , care la rîndul lui comandă deschiderea tiristorului; prin potenţiometrul  $P_2$  se reglează nivelul semnalului care este preluat direct de pe difuzor.

## REALIZAREA MONTAJULUI

Montajul este realizat pe o plăcuţa de circuit imprimat al cărei cablaj



este redat în figura 3. Bobina de inducţie este realizată pe o bară de ferită cu diametrul de 4 mm şi lungimea de 30 mm. Primarul are 20 de spire CuEm  $\varnothing$  0,7 mm, iar secundarul are 3 200 de spire CuEm  $\varnothing$  0,1 mm.

Condensatoarele  $C_1$  şi  $C_2$  trebuie să prezinte curenţi de fugă cît mai mici, la o tensiune de minimum 350 V.

Pe schemă sînt trecute valorile tensiunilor şi intensităţile curenţilor în diferite puncte, iar valorile pieselor folosite sînt trecute de asemenea pe schemă.

Montajul este realizat cu piese puţine şi ieftine, de fabricaţie indigenă, cu excepţia tubului, care este de tipul IFK 120 sau similare, utilizate la blitz, indiferent de forma acestora. De menţionat că stabilitatea montajului este mai bună de  $\pm 2\%$  pentru o variaţie de temperatură de  $10^\circ\text{C}$ .

Pentru a veni în ajutorul electroniştilor amatori care nu pot procura

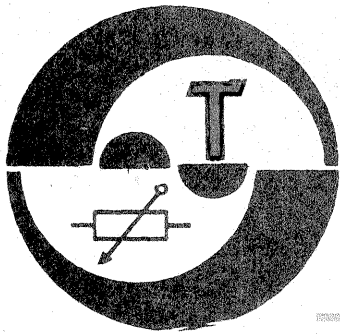
existente în comerţ.

Se poate utiliza orice tub fluorescent cu puterea cuprinsă între 14 şi 40 W.

Puntea de diode F407 (se poate utiliza şi o punte 3PM4 sau cu tensiuni nominale mai mari) redresează tensiunea alternativă a reţelei şi prin tiristorul  $Th$  se realizează alimentarea tubului (fig. 4). Rezistenţa de 375  $\Omega/40$  W are rolul de a limita curentul din circuit, iar  $R_{10}$  are rolul de a menţine o circulaţie minimă de purtători de sarcină prin tub; valoarea acesteia se va tatonaa între 4 şi 10  $M\Omega$  (la o putere de 1 W) astfel încît tubul să rămînă amorsat între două aprinderi.

Transformatorul  $Tr.1$  are în acest caz două înfăşurări secundare, una de 4 V care are rolul de a alimenta circuitul de comandă al tiristorului

şi alta de 5—6 V pentru încălzirea unuia dintre filamentele tubului (cel de-al doilea poate fi chiar ars), pentru a se produce termoemisia şi încălzirea gazului.



## COMUTATOR SENZORIAL

Ing. K. RADVANSKY

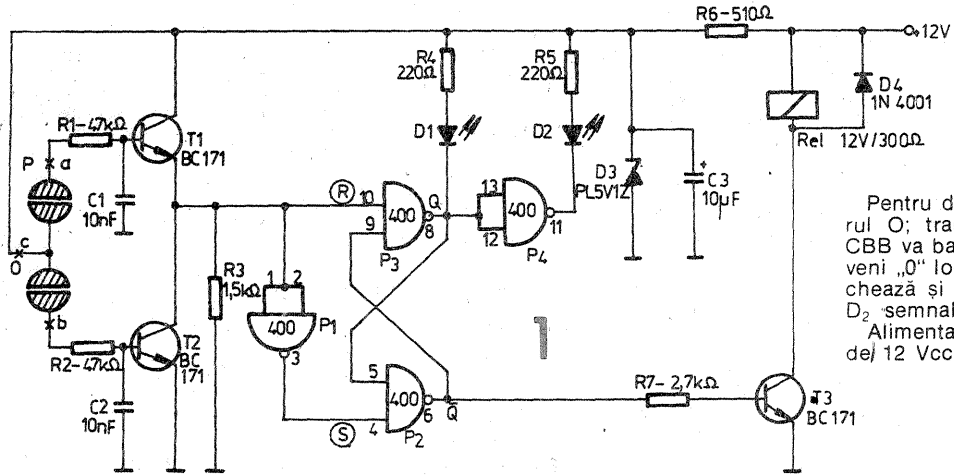
duce, la intrările CBB se aplică stare logică „1” pentru R și stare logică „0” pentru S, acesta basculează, ieșirea Q trece în stare logică „1”; tranzistorul  $T_3$  conduce și releul anclanșează. LED-ul  $D_1$ , de culoare verde, va lumina, semnalizând starea „cuplat”.

Clasicele butoane — comutatoarele mecanice — sînt din ce în ce mai mult înlocuite de către comutatoarele senzoriale.

Schema electrică de principiu a variantei propuse este prezentată în figura 1 și se compune din:

- doi senzori cu câte un circuit de amplificare;
- un CBB de tip R-S realizat cu porți NAND cu câte două intrări (CDB400E);
- un circuit de comandă pentru releu;
- un stabilizator de tensiune.

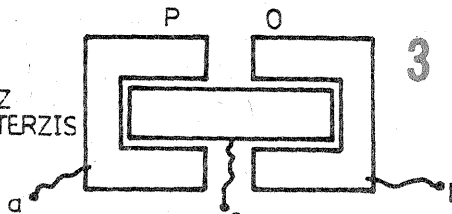
În figura 2 se prezintă tabela de adevăr pentru funcționarea circuitului basculant bistabil. Funcționarea montajului este foarte simplă și pentru explicarea ei considerăm ca moment inițial alimentarea cu tensiune. Ambele tranzistoare  $T_1$  și  $T_2$  sînt în stare blocată, intrarea R a CBB are o stare logică „0”, iar intrarea S stare logică „1”, datorată porții inversoare  $P_1$ . Conform tabelii de adevăr, ieșirea Q prezintă stare logică „1”, care este negată prin poarta  $P_4$ , iar LED-ul  $D_2$ , de culoare roșie, va lumina, indicînd starea „decuplat”. Pentru cuplare se atinge senzorul P. Tranzistorul  $T_1$  va con-



Pentru decuplare se atinge senzorul O; tranzistorul  $T_2$  va conduce, CBB va bascula, iar ieșirea Q va deveni „0” logic; tranzistorul  $T_3$  se blochează și releul pierde alimentarea.  $D_2$  semnalizînd starea „decuplat”. Alimentarea se face de la o sursă de 12 Vcc; reducerea la 5 V pentru

R	S	Q	$\bar{Q}$
0	0	1	1
0	1	1	0
1	0	0	1
1	1	NEMODIFICAT	

2  
CAZ  
INTERZIS



montaj se face prin rezistorul  $R_6$  și dioda stabilizatoare  $D_3$ . Plăcuța senzor se realizează pe cablaj imprimat, conform desenului din figura 3.

### BIBLIOGRAFIE

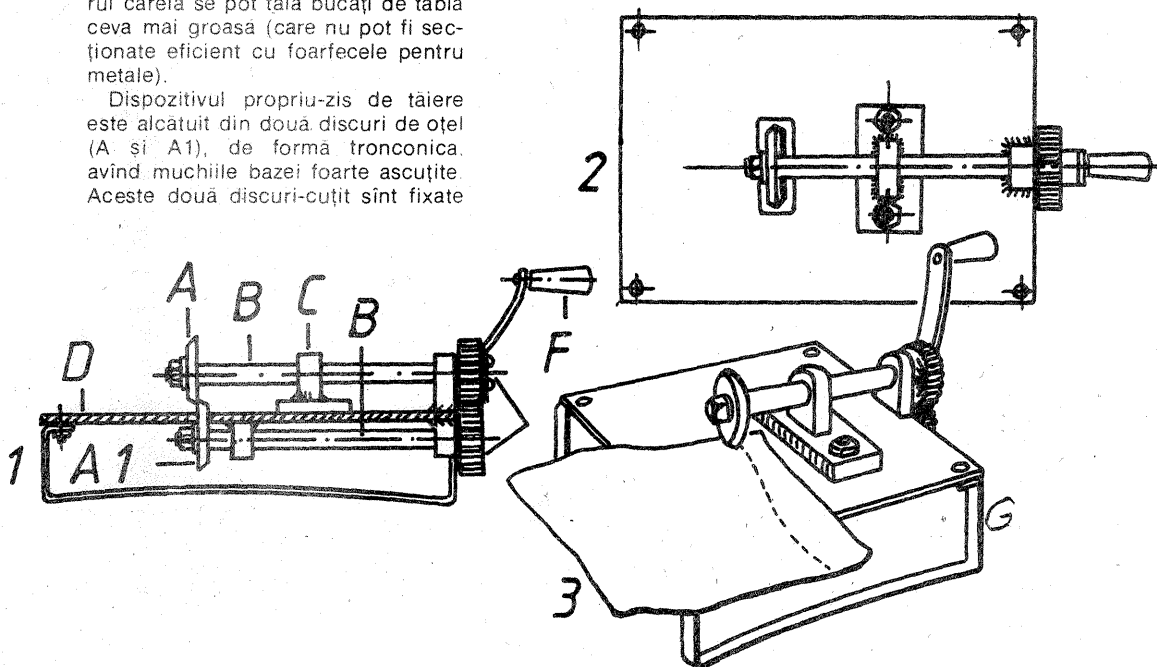
Practica electronistului amator. Editura „Albatros”, București, 1984, pag. 287.

## DISPOZITIV PENTRU TĂIAT TABLĂ

CLAUDIU VODĂ

În figurile alăturate este prezentată o unealtă foarte utilă, cu ajutorul căreia se pot tăia bucăți de tablă ceva mai groasă (care nu pot fi secționare eficient cu foarfecele pentru metale).

Dispozitivul propriu-zis de tăiere este alcătuit din două discuri de oțel (A și A1), de forma tronconică, avînd muchiile bazei foarte ascuțite. Aceste două discuri-cuțit sînt fixate



(prin intermediul unor axe metalice — B — și console — C) pe o masă ori pe o placă de lemn groasă de circa 40 mm (D). Celelalte capete ale axelor B sînt montate în roțile dințate (E), iar dispozitivul este acționat manual, cu ajutorul manivelei F. În sfîrșit, placa din lemn D este fixată pe suporturile G, din platbandă metalică groasă de 4—5 mm, în care caz dispozitivul este mobil. Realizați construcția potrivit desenelor 1 și 2, care indică în mod clar formele pieselor și modul de montare. Stabiliți singuri dimensiunile. Felul în care îl veți putea folosi este demonstrat în desenul 3.



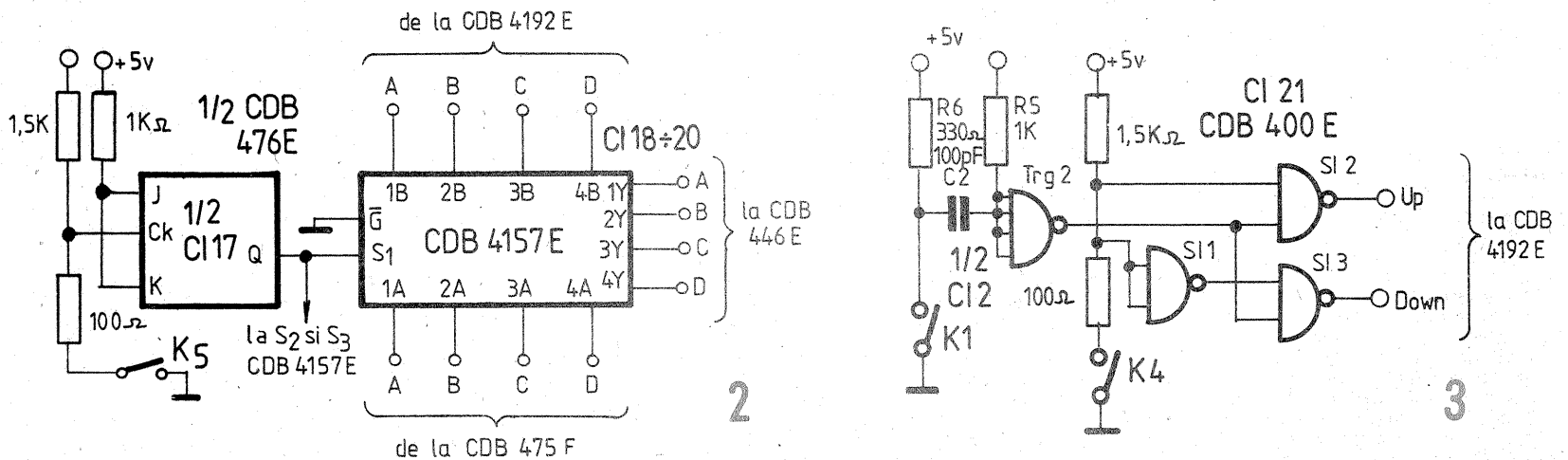
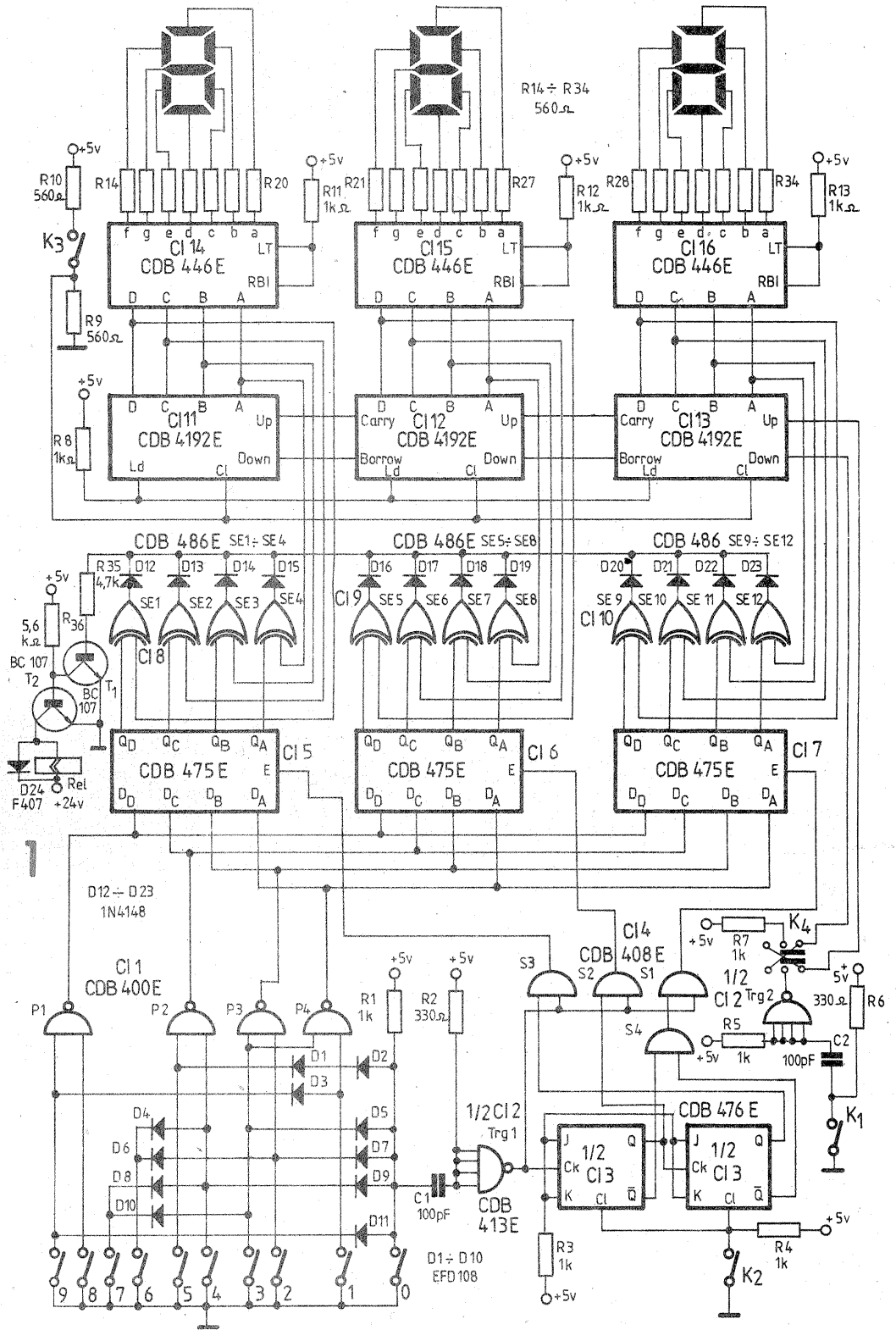
# TAMBUR ELECTRONIC

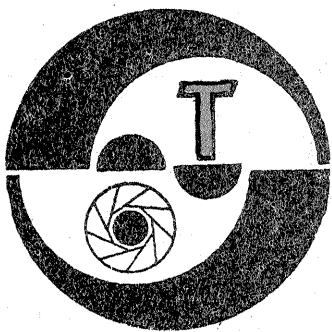
SILVIU UNGUREANU

Partea electronică a montajului (fig. 1) este alcătuită, în principal, din două blocuri: unul cuprinde circuitele CI11—16, 1/2 CI2, reprezentând aplicația propriu-zisă de înlocuire a tamburului mecanic, și celălalt bloc, alcătuit din CI1, 1/2 CI2, CI3—CI10, reprezintă partea de programare a numărului la care se dorește oprirea benzii. CI3, CI4 constituie un circuit de permutare a tactului pe cele trei intrări ENABLE ale circuitelor CI5—CI7, circuit care facilitează înscrisura cu o singură pereche de taste a numerelor în trei circuite CDB475. R<sub>1</sub>, R<sub>2</sub>, C<sub>1</sub>, 1/2 CI2 asigură un impuls de aproximativ 100 ns pentru a înscris rapid informația în bistabilele D, indiferent de durată a apăsării tastei. Circuitele de coincidență sunt realizate cu porți SAU-EXCLUSIV cu ieșiri conectate SAU cablat prin intermediul diodelor D<sub>12</sub>—D<sub>23</sub>. Pentru prevenirea opririi benzii în cazul în care număratoarele CI11—CI13 au configurația „000”, se poate intercala un comutator în serie cu releul aflat în colectorul tranzistorului T<sub>2</sub>.

Comutatorul K<sub>2</sub> asigură ștergerea bistabilelor tip T (CI3) în cazul înscrisurii greșite a unui număr în bistabilele D (CI5—CI7). Comutatorul K<sub>3</sub> resetează număratoarele reversibile care alcătuiesc tamburul electronic. Comutatorul K<sub>4</sub> (2x2 poziții) este anclanșat numai la apăsarea tastei de derulare înapoi a magnetofonului. El se poate înlocui cu un simplu comutator conform figurii 3.

Opțional, sistemului I se poate atașa un montaj care să asigure permutarea ieșirilor număratoarelor CI11—CI13 și ale bistabilelor din CI5—CI7 la intrarea decodoarelor CI14—CI16. Această funcție este preluată, conform figurii 2, de trei multiplexoare (CDB4157 și 1/2 CDB476). La apăsarea tastei K<sub>5</sub>, pe afișoare va apărea numărul programat cu ajutorul tastelor 0—9. Diodele D<sub>1</sub>—D<sub>10</sub> din circuitul tastelor vor fi obligatoriu cu germaniu.





## OBIECTIVELE INTERSCHIMBABLE SI UTILIZAREA LOR ÎN MACROFOTOGRAFIE

(URMARE DIN NR. TRECUT)

Pentru acest caz se poate folosi tabelul 2, care este util și fotoamatorilor ce nu dispun de aparate cu vizare prin obiectiv.

c) Profunzimea câmpului și focala sistemului optic. Este cunoscut faptul că un teleobiectiv necesită o punere la punct mult mai precisă decât un obiectiv normal și cu atât mai mult decât un superangul. Profunzimea câmpului scade pe măsură ce crește distanța focală a obiectivului. Spre exemplu, superangul Hologon 5,6/15 redă clar înțreg spațiul obiect începând de la 0,5 m la infinit, pe când pentru un obiectiv TAIR11, 2,8/135, focalizat pe infinit la aceeași diafragmă, cel mai apropiat punct clar se găsește la 15 m de aparat. Valoarea focalei obiectivului influențează implicit profunzimea câmpului prin intermediul raportului de reproducere, a cărui valoare este definită pe baza focalei și abscisei obiect. Rezultă că executând o fotografie cu același raport de reproducere pe rând prin două sisteme optice cu focale diferite, parametrul care variază este abscisa obiect. De exemplu, se realizează o fotografie cu mărire unitară, întâi cu un teleobiectiv cu focala 200 mm, apoi cu un superangul cu focala 29 mm. Raportul de reproducere fiind același ( $G = 1$ ), profunzimea va fi identică (1,5 mm la diafragma 11), dar distanțele obiect vor avea valorile  $S = 400$  mm pentru teleobiectiv și doar  $S = 58$  mm pentru superangul. Se înfiră astfel prejudecata conform căreia folosind un superangul s-ar putea obține imagini mărite ale obiectelor având o profunzime mai mare decât a altor obiective, în condiții similare. Mai mult, se va constata că utilizarea superangularelor pentru fotografierea la scară mare este chiar incomodă, deoarece obiectul trebuie să se găsească foarte aproape de lentila frontală a sistemului optic.

### INFLUENȚA RAPORTULUI DE REPRODUCERE ASUPRA NUMĂRULUI DE DESCHIDERE

Luminozitatea unui obiectiv fotografic este determinată de numărul minim de deschidere (gradat pe scala diaframelor) și este valabilă pentru condițiile obișnuite de exploatare a obiectivului. În domeniul fotografiei de aproape, când abscisa obiect este inferioară valorii minime de pe scara distanțelor, focalizarea se poate face numai prin intermediul accesoriilor menționate anterior (inela distanțiere, burdufuri) care acționează prin mărirea tirajului, provocând prin aceasta mari pierderi de lumină. O dată cu creșterea raportului de reproducere, luminozitatea unui

obiectiv are o tendință de scădere, după următoarea lege:

$$N = N' (G + 1) \quad (2)$$

în care:

$N$  — numărul de deschidere real;  
 $N'$  — numărul de deschidere relativ (cel gradat pe scala diaframelor);

$G$  — raportul de reproducere.

Reducerea luminozității poate fi considerată neglijabilă la abscise obiect care depășesc de cinci ori focala obiectivului, însă devine importantă în cazul scărilor de reproducere mari. De exemplu, o fotografie la scara 2:1, diafragma 11, se execută în realitate cu sistemul optic diaframat la valoarea 33, care se găsește aproape de limita admisibilă datorită fenomenului de difracție. În domeniul măririlor supraunitare se manifestă o contradicție între necesitatea de a diafragma sistemul optic pentru a obține o creștere satisfăcătoare a profunzimii și obligația de a ține cont de valoarea limită admisă pentru numărul de deschidere, din punctul de vedere al difracției.

O altă problemă pe care o ridică variația deschiderii relative a sistemelor optice este cea a prelungirii timpului de expunere. Dacă la utilizarea peliculelor alb-negru prelungirea timpului de expunere (acolo unde imobilitatea subiectului o permite) este posibilă, la peliculele color ea este limitată de apariția efectului Schwartzschild, care conduce la pierderea controlului expunerii. În aceste condiții, singura soluție este flashul, dar utilizarea acestuia în macrofotografie este destul de dificilă și necesită o oarecare experiență practică. Fotografia care posedă un aparat foto cu vizare prin obiectiv și măsurare a expunerii în sistem TTL este scutit de dificultățile pe care le ridică determinarea timpului de expunere, indiferent de focala și tipul constructiv al obiectivelor, deoarece determinarea se bazează pe fluxul luminos modulat de sistemul optic. Cei care nu dispun de un astfel de aparat, dar doresc să execute macrofotografii, folosind obiective interschimbabile, vor trebui să recurgă la măsurători, pentru a determina raportul de reproducere (pe baza abscisei obiect și a focalei) și apoi să execute o corecție a timpului de expunere cu factorul

$$k = (1 + G)^2 \quad (3)$$

### MACROFOTOGRAFIA CU OBIECTIVE INTERSCHIMBABLE

a) **Obiectivele normale** sînt cele mai indicate pentru execuția macrofotografiilor. Au luminozitățile cele mai mari, însoțite de o corecție optimă a aberațiilor. Din punctul de

vedere al formulei optice, majoritatea sînt asimetrice sau semisimetrice, și de aceea reproducerea la scară mare se va face întotdeauna cu obiectivul inversat. Distanța lor focală destul de redusă permite obținerea unor mărimi considerabile fără a crește prea mult tirajul. Principala calitate o reprezintă luminozitatea mărită (1:1,4—1:2), care permite fotografierea în condiții precare de iluminare. În aceeași categorie se înscriu și unele obiective cu focală lungă, 85—105 mm, a căror schemă optică este similară cu cea a obiectivelor normale. Aceste obiective conservă performanțele de luminozitate ale obiectivelor normale, dar oferă mai multă libertate de acțiune fotografului, deoarece permit îndepărtarea obiectivului de obiect, fără a reduce raportul de reproducere.

b) **Superangularele.** Acest tip de obiective se utilizează atunci cînd dorim să obținem rapoarte foarte mari de reproducere, deoarece necesită un tiraj considerabil mai redus față de cel al obiectivelor normale. Spre exemplu, pentru obținerea unui raport de reproducere de 5:1 cu un obiectiv normal avînd focala de 50 mm, este necesar un tiraj de 300 mm, pe cînd un superangul cu focala de 35 mm realizează aceeași mărime cu un tiraj cu 90 mm mai redus. Nu se recomandă utilizarea în macrofotografie a superangularelor cu focală mai mică de 29 mm, deoarece sub această valoare a focalei, deformarea imaginii devine supărătoare. Din același motiv nu se recomandă utilizarea obiectivelor cu focală scurtă, în combinație cu lentilele adiționale, care conduc la o înrăutățire considerabilă a calității imaginii. Un alt inconvenient al superangularelor folosite în macrofotografie este acela că distanța dintre obiect și lentila frontală a obiectivului este redusă și nu permite iluminarea corespunzătoare a obiectului. Cu atât mai mult superangularele sînt inadecvate la fotografierea de aproape a lumii vii (a insectelor sau animalelor mici), deoarece o astfel de activitate necesită o anumită discreție. Pentru reproducerea obiectelor cu o mărime mai ridicată de 5:1 nu se mai apelează la superangularele obișnuite, deoarece are loc o înrăutățire ireparabilă a calității imaginii. Pentru acest caz se folosesc obiective speciale, asemănătoare ca schemă optică cu cele de microscop. Ele au focala cuprinsă între 16 și 40 mm, iar montarea lor pe burdufurile distanțiere se face prin intermediul unei reducții de filet.

c) **Teleobiectivele.** Utilizarea teleobiectivelor în macrofotografie se lovește de un inconvenient major, și anume creșterea exagerată a tirajului. Dacă pentru un superangul de 35 mm tirajul necesar efectuării unei fotografii cu mărime unitară este de 70 mm, pentru un obiectiv normal de 100 mm, pentru teleobiectivul de 135 mm el devine de 270 mm, iar pentru teleobiectivul de 200 mm atinge valoarea de 400 mm. În primele două cazuri se pot utiliza pentru mărirea tirajului inele distanțiere. Pentru teleobiectivul de 135 mm tirajul necesar este prea mare pentru a folosi un set de inele și se poate recurge la serviciile unui burduf extensibil. În ceea ce privește teleobiectivul de 200 mm, acesta poate fi utilizat pentru execuția reproducătorilor la scara 1:1, dar numai în combinație cu un burduf performant (a cărui extensie să fie de cel puțin 200 mm); utilizarea sa este însă limitată de luminozitatea mai scăzută (1:4) față de cea a teleobiectivelor de 135 mm (1:2,8) sau

chiar a unor obiective de 180 mm (NIKKOR 180/2,8). Să se renunțe atunci la utilizarea teleobiectivelor în macrofotografie? Nicidecum. Dezavantajele menționate ale acestor sisteme optice se pot trece cu vederea, dacă pretențiile față de raportul de reproducere nu sînt prea mari. În concluzie, teleobiectivele sînt indicate pentru fotografia de aproape, cu condiția ca distanța lor focală să nu depășească 200 mm, iar scara maximă de reproducere să fie 1:1 (scara la care tirajele încă sînt compatibile cu posibilitățile fotografului amator). Executînd fotografii cu teleobiectivul, beneficiem de o serie de avantaje, deloc de ignorat, pe care nu le poate oferi nici unul dintre sistemele optice enumerate mai înainte. Primul dintre acestea ar consta în libertatea de manevră care i se oferă fotografului, datorită distanței mari între obiect și lentila frontală a obiectivului.

f	Formatul cadrului	
	24×36	60×60
8	„Ochi de pește”	
12		
15		
21	Superangul	„Ochi de pește”
24		
28		
35	Superangul	
50	Normal	
85	Focală lungă	Normal
105		
135	Teleobiectiv	Focală lungă
200		Teleobiectiv ușor
300	Teleobiectiv	Teleobiectiv
500		
>500		

TABELUL 1

Clasificarea obiectivelor fotografice funcție de distanța focală

Raport de reproducere	Deschiderea relativă		
	11	16	22
1:10	81	117	180
1:5	22	32	44
1:4	14	20	29
1:3	10	15	21
1:2	4,5	6	9
1:1	1,5	2	3
2:1	0,5	0,8	1
3:1	0,3	0,5	0,8
4:1	0,2	0,32	0,44
5:1	0,2	0,26	0,35
10:1	0,1	0,1	0,16

TABELUL 2

Profunzimea câmpului obiect în mm calculată pt. o valoare a petei de difuzie de 0,03 mm

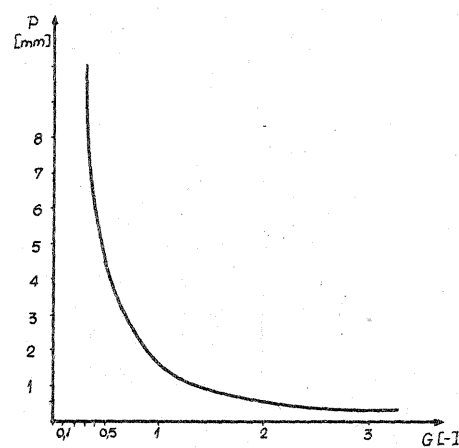


Fig 3

Dependenta profunzimii obiect P de raportul de reproducere G

Fotoamatorii de la noi din țară cunosc și folosesc capetele color produse de firma MEOPTA de tip MEOCHROME 1 și 2. De curând producătorul a realizat un nou model de cap color a cărui construcție se deosebește de primele două.

Aspectul exterior este redat în fotografia 1.

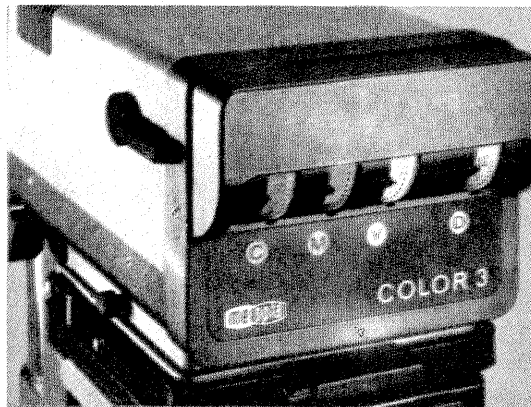
Principalele deosebiri față de primele tipuri constau în:

- înlocuirea camerei de amestec de tip globular cu o construcție nouă compusă dintr-o placă translucidă și un bloc translucid din polistiren expandat (figura 2). Lumina este transmisă spre camera de amestec prin reflexie pe un plan înclinat la 45°. Pentru fiecare format (24x36 cm, 6x6 cm, 6,5x9 cm) există o cameră de amestec;

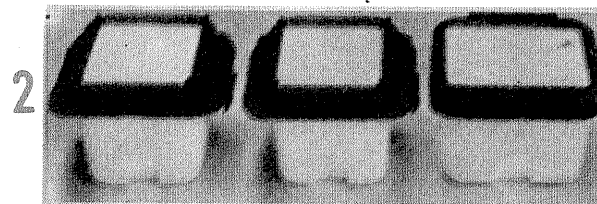
- introducerea unui sistem de micșorare a intensității luminoase constând dintr-o diafragmă metalică de tip special care acționează în paralel cu filtrele interferențiale de culoare; eficiența este de circa două trepte de expunere sau echivalent cu 60 de unități de densitate; reglarea este continuă;

# MEOPTA COLOR 3

Ing. VASILE CĂLINESCU



1



2

- lumina este de tip difuz și nu mai este necesar condensatorul în aparatul de mărit;

- reglarea densității culorii se face continuu pe un câmp de 200 de unități;

- filtrele interferențiale sînt acționate de came de dimensiuni relativ mari, ceea ce permite un sistem de afișare cu distanțe între diviziuni mai mari.

Puterea lămpii se menține, respectiv 100 W. Lampa este de tip halogen cu oglindă, la 12 V și este alimentată de un transformator/stabilizator (tip ST 100).

Intensitatea luminii furnizate este comparabilă cu cea dată de modelele anterioare.

Capul color MEOPTA COLOR 3 este destinat aparatelor de mărit de fabricație R.S.C. (AXOMAT 5, OPEMUS 6 și MAGNIFAX 4), dar poate fi folosit și pe alte aparate de mărit prin adaptări corespunzătoare.

lui. De exemplu, pentru teleobiectivul de 200 mm, la raportul 1:2, distanța obiect-obiectiv este de 600 mm. Pentru obținerea unor imagini inedite ale insectelor sau animalelor mici, pe care fotografatul să le poată pregăti pe indelete, fără a atrage atenția, teleobiectivele sînt cele mai indicate.

Un interes particular îl prezintă obiectivele cu focală lungă (85—105 mm), care se folosesc mai rar (de obicei la fotografia de portret) și care, prin poziția pe care o dețin, la granița dintre teleobiective și obiectivele normale, cumulează o serie din avantajele ambelor grupe: tirajul redus, compatibil cu seturile obișnuite de inele distanțiere — ca și cel al obiectivelor normale și libertatea de manevră mărită, caracteristică teleobiectivelor. Aceste calități au fost exploatate de constructorii de obiective macro, care oferă astăzi cumpărătorului pe lângă macroobiectivele derivate din obiective normale, și sisteme macro cu focală lungă (105 mm), produse care se bucură de un justificat succes.

Macrofotografia prin teleobiectiv mai oferă și un alt avantaj: acest sistem optic este cel mai adecvat spre utilizare în asociație cu un set de lentile adiționale. Un astfel de set cuprinde de obicei trei lentile pozitive (+1, +2, +4 dioptrii), care se atașează în fața obiectivului prin intermediul filetului de filtru. Prin această combinație se obține un sistem optic convergent care are o focală mai redusă decât cea a obiectivului inițial și, în consecință, pentru același tiraj, se obține o creștere a raportului de reproducere. Reducerea distanței focale a obiectivului în prezența unei lentile adiționale este cu atât mai semnificativă cu cât focala acestui obiectiv este mai mare. De aceea, la teleobiective acest efect este mai pronunțat și utilizarea lentilelor adiționale își găsește o deplină justificare. De exemplu, posesorul unui teleobiectiv cu focala de 200 mm poate să obțină, folosind o lentilă adițională cu puterea de 5 dioptrii, un raport de reproducere de 1:1 (fără a folosi nici un dispozitiv distanțier!) față de raportul de reproducere 1:4 pe care l-ar fi obținut dacă ar fi folosit un obiectiv normal cu focală 50 mm. Asocierea lentilelor adiționale cu focalele lungi este salutară și din punctul de vedere al aberațiilor, care se păstrează în limite acceptabile dacă puterea totală a lentilelor adiționale atașate obiectivului nu depășește 5 dioptrii.

## BECUL CU HALOGENI — UTILIZARE ÎNDELUNGATĂ

GEORGE TOMA

În acest articol se vor aborda probleme referitoare la utilizarea becurilor cu halogeni, mai exact la modul în care s-ar putea prelungi durata de funcționare a acestora.

Este cunoscut faptul că acest gen de lămpi funcționează pe principiul evaporării superficiale a filamentului de wolfram într-o atmosferă de halogeni, după care, în condiții de temperatură ridicată și la o anumită concentrație de atomi de wolfram, în balonul becului are loc redeponerea pe filament a acestor atomi.

Această funcționare ciclică are avantajul, cel puțin teoretic, de a nu conduce la epuizarea filamentului în timpul funcționării, deoarece acesta

pentru cele două momente principale ale aprinderii.

În primul moment (la acționarea întrerupătorului), filamentul este rece, iar rezistența electrică este mică. Rezultă că intensitatea curentului electric este mare:

$$I = \frac{U}{R}$$

Acest moment este cel critic deoarece intensitatea curentului poate fi de zeci de ori mai mare decât cea nominală și, ca urmare, filamentul se poate distruge instantaneu. Această posibilitate este cu atât mai probabilă cu cât numărul de aprinderi anterioare este mai mare.

În continuare, momentul următor este cel al intrării în regimul nominal de funcționare: filamentul se încălzește puternic, rezistența electrică crește, iar curentul scade mult, pînă la valoarea nominală.

În cele ce urmează se propune o adaptare menită să facă trecerea la regimul nominal mult mai ușoară și fără risc pentru integritatea filamentului. Efectul în timp este prelungirea vieții becului la cel puțin de 5 ÷ 10 ori durata obișnuită de lucru. Aceasta are o mare importanță economică și practică deoarece becul cu halogeni este foarte scump și, în afară de aceasta, defectarea lui poate surveni pe neașteptate, în toul lucrului, făcînd înlocuirea sa foarte dificilă, caz frecvent în practica celor ce lucrează fotografii color folosind aparatele de mărit cu cap color.

Schema adaptării este prezentată în figură. Descrierea funcționării se face ținînd cont de modul de lucru al releului de timp notat cu Rel. La alimentarea cu energie electrică, acesta va ține în continuare „închis” contactul K pînă la consumarea timpului prestabilit, după care acționează propriu-zis, deschizînd contactul.

Schema funcționează pentru exemplul dat pe un aparat de mărit de tip „Krokus”. În principiu, aprinderea becului cu halogeni nu se mai face brusc, ci este precedată de o preaprindere care se realizează montînd în serie cu primarul transformatorului Tr. rezistorul R.

Acționînd întrerupătorul I<sub>1</sub>, se conectează la rețea circuitul serie format din R și primarul lui Tr. Primînd o putere electrică mai mică (funcție de valoarea rezistenței R), becul cu

halogeni B se va aprinde lent și foarte slab. După ce filamentul se va fi înroșit, pentru expunerea propriu-zisă a hîrtiei fotografice se acționează întrerupătorul C<sub>1</sub>, care este sincronizat cu C<sub>2</sub>. Se observă că, închizînd pe C<sub>1</sub>, releul de timp este alimentat, contactul K rămînd închis. Rezistorul R este scurtcircuitat de contactul K și de întrerupătorul C<sub>2</sub>. Pe durata reglării becul va lumina la întreaga putere. După trecerea timpului de expunere, releul va deschide contactul K, deci becul va primi iarăși doar o mică parte din puterea nominală, insuficientă pentru a mai impresiona hîrtia fotografică.

Deschizînd contactul C<sub>1</sub>, releul nu mai este alimentat, contactul K se închide, dar simultan C<sub>2</sub> se deschide, astfel că R rămîne inseriată cu transformatorul Tr. În acest fel se poate expune acum următoarea poziție acționînd ca în poziția anterioară întrerupătorul C<sub>1</sub>.

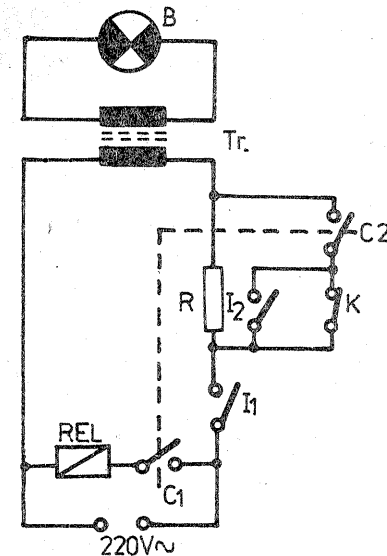
În schemă figurează și întrerupătorul I<sub>2</sub> cu rolul de a ține becul aprins la întreaga putere chiar și după trecerea timpului fixat, pentru diferite motive, de exemplu pentru realizarea clarului. Acesta se poate monta chiar în carcasa releului.

Intrerupătorul I<sub>1</sub> se poate monta la rîndul său pe carcasa transformatorului Tr.

Rămîne la aprecierea fiecărui constructor alegerea valorii rezistenței R. Se va lua în calcul faptul că puterea lui Tr. este de 120 W. Se recomandă o valoare în jur de 100 Ω, la o putere mai mare de 15 W. Se are în vedere ca mărimea rezistenței să fie astfel aleasă încît în faza de preaprindere becul să fie încălzit corespunzător scopului urmărit, în sensul că, pe de o parte, o aprindere inițială prea slabă nu ar ușura semnificativ aprinderea efectivă a becului, iar pe de altă parte, o preaprindere prea puternică ar impresiona hîrtia fotografică și ar fi ea însăși o trecere prea bruscă de la starea inițială.

Dacă nu se dispune de un rezistor adecvat, se poate monta în locul lui un bec electric obișnuit cu puterea de 40 ÷ 60 W.

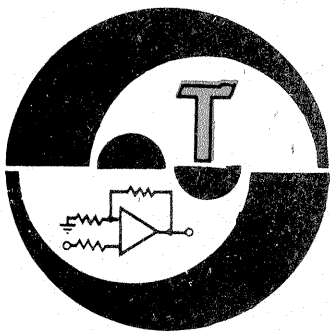
În ce privește întrerupătoarele C<sub>1</sub> și C<sub>2</sub>, se poate utiliza chiar butonul original al aparatului de mărit, făcînd micile schimbări cerute de legăturile schemei.



se reface continuu. În realitate, nu întotdeauna lucrurile decurg așa, pentru că pot avea loc scurgeri de gaz halogen și/sau atomi de wolfram pe lângă electrozii becului, sau pot exista depuneri de atomi din filament pe pereții balonului de sticlă din cauza atingerii acestuia cu degetele. Dar aceste imperfecțiuni nu duc la scurtarea bruscă a vieții becului și nu ele fac obiectul acestui articol.

În cele mai multe cazuri, distrugerea filamentului are loc datorită șocului termic ce apare la aprinderea becului. Acest lucru se explică foarte simplu aplicînd legea lui Ohm





## AMPLIFICATOR 50 W

Amplificatorul este conceput a lucra în banda de 80 m și poate debita 50 W pe o sarcină de 75 Ω. Este întrebuitat un tub electronic 6P45S în montaj cu grila la masă.

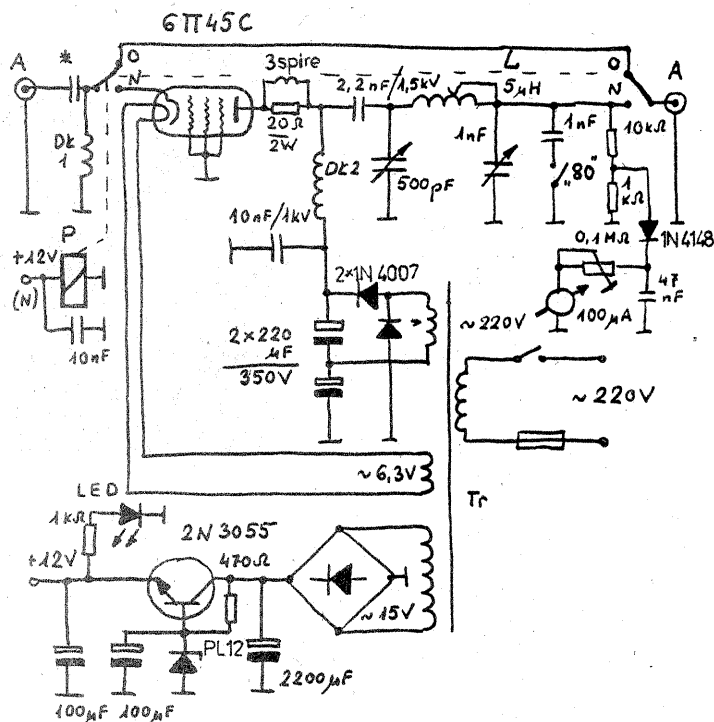
Filtrul π de la ieșire face adaptarea impedanței de ieșire a tubului (aproximativ 1 000 Ω) la impedanța cablului de 75 Ω.

Bobina L are 16 spire Cu Ø 2 mm bobinate pe un suport ceramic cu diametrul de 35 mm și lungimea 50 mm.

Bobina Dk1 are 50 de spire CuEm 0,3 mm, bobinate pe o carcasa cu diametrul de 7 mm, iar bobina Dk2 are 250 spire CuEm 0,3 mm, bobinate pe o carcasa cu diametrul de 14 mm.

Alimentarea etajului se face de la un redresor propriu; tensiunea de 600 V se obține de la o înfășurare ce debitează 220 V. Consumul etajului este de aproximativ 240 mA.

PZK — BULETIN, 3/1987

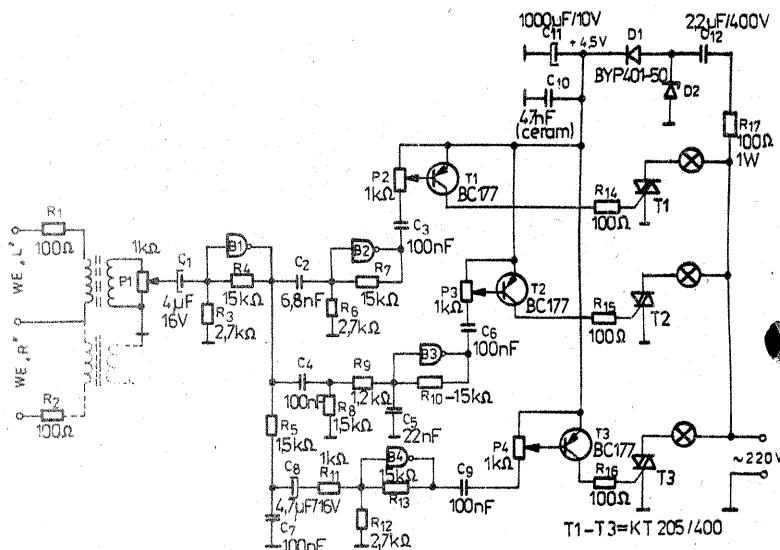
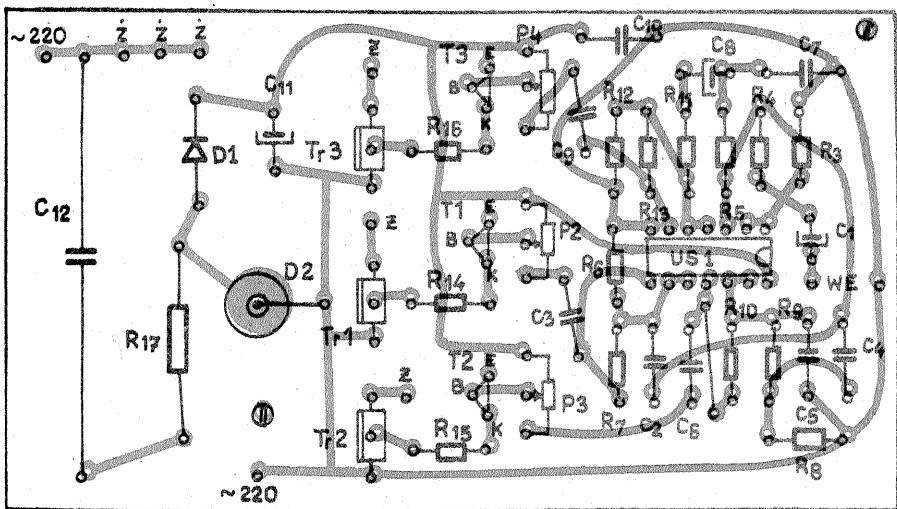


## ORGĂ DE LUMINI

Particularitatea montajului constă în folosirea unui sistem de separare a benzilor de frecvență cu un circuit CDB400. Sistemul de comandă pe canal constă dintr-un tranzistor tip BC177 și un triac KT205/400.

Întreg sistemul se montează pe circuit imprimat.

MLODY TECHNIK, 4/1988



## TERMOMETRU

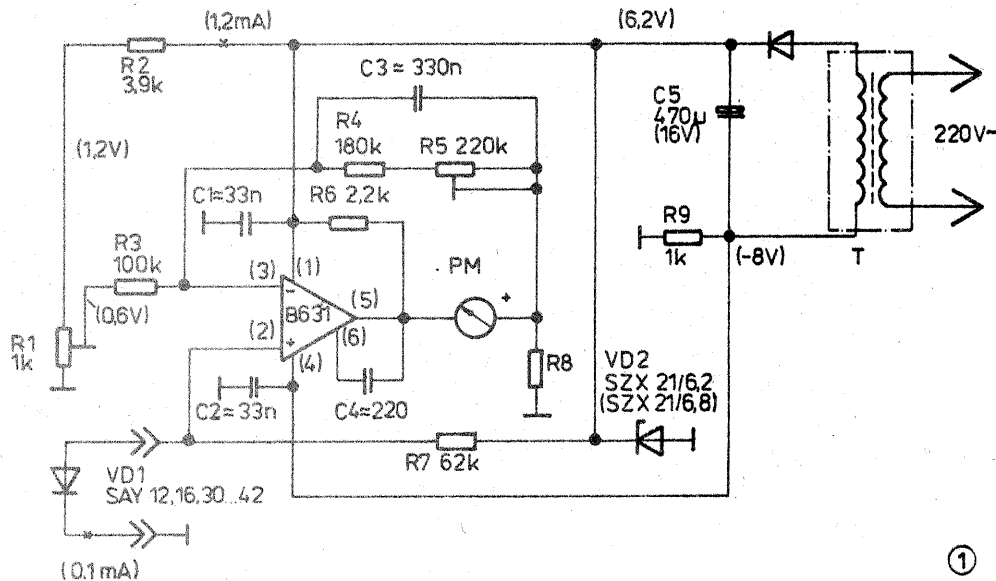
Aparatul poate fi construit pentru diverse domenii de măsură a temperaturii funcție în special de sensibilitatea detectorului, adică a diodei VD1, dar poate acoperi domeniul -40 C ÷ 50 C.

Formula după care se calculează R8 este  $R8 = \frac{\Delta T \cdot 8}{\Delta I}$

în care ΔT este domeniul temperaturii, iar ΔI este curentul prin instrument.

Astfel, pentru domeniul -20 C ÷ +40 C, ΔT = 60, iar dacă curentul maxim prin instrument este 0,6 mA, rezulta R8 = 800 Ω. Din R1 se stabilește zero instrument și din R5 indicația maximă. Alimentarea este asigurată de un transformator de sonerie.

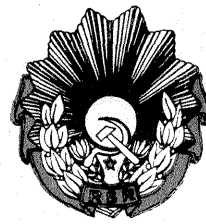
JUGEND UND TECHNIK, 1/1987



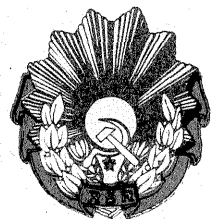
MIMUEECIETA  
 ÎNTEPRINDEREA  
 DE APARATE ELECTRICE DE MĂSURAT TIMIȘOARA

aem

CALEA BUZIAȘULUI NR. 26  
 CONT VIRAMENT 30.17.80701 B.N. TIMIȘOARA



CL. I



CL. I

ORDINUL MUNCII

Pentru ridicarea eficienței întregii activități, colectivul întreprinderii de Aparate Electrice de Măsurat Timișoara își amplifică, în acest an, eforturile vizând asimilarea unei game variate de aparatură electrică diversă și modernă, cu performanțe superioare, la nivelul tehnicii mondiale.

Prezentăm câteva dintre noile produse ce poartă prestigioasa marcă AEM-Timișoara.

**MINICENTRALA DE AVERTIZARE INCENDIU 1 SIGUR**

1 SIGUR face parte din categoria instalațiilor destinate supravegherii centralizate a detectoarelor de incendiu cu semnalizare prin curent (al căror circuit de ieșire este de tip normal deschis), de tip DICI—83, DICT—77, DFO—85, DFI—86. Minicentrala permite supravegherea simultană a trei linii independente de maximum 15 detectoare, oferind următoarele posibilități de semnalizare: semnalizare optică a stării de alarmă în timpul funcționării cuplată la tensiunea rețelei, precum și comutarea automată pe sursa tampon la căderea tensiunii rețelei. Starea de alimentare este supravegheată și sint semnalizate optic următoarele: procesul de încărcare a bateriei tampon; funcționarea pe bateria tampon; tensiunea de alimentare a circuitelor electronice scăzută sub limita admisibilă pentru buna funcționare.

**CARACTERISTICI TEHNICE:**

- tensiunea de alimentare: 220 V/50 Hz sau 24 V c.c.;
- putere absorbită de minicentrală (mai puțin la încărcarea bateriei): max. 4 W în veghe (inclusiv detectoarele); max. 12 W în alarmă (exclusiv detectoarele);
- curenți absorbiți de o linie: în veghe — max. 12 mA; în alarmă — min. 20 mA; în scurtcircuit — max. 300 mA cu decuplarea automată a liniei defecte;
- masa: 2 kg minicentrala; 3,5 kg alimentatorului;
- dimensiuni de gabarit: 400 x 206 x 160 mm minicentrala; 140 x 240 x 170 mm alimentatorului;
- număr de linii supravegheate: 1 ÷ 3;
- număr de detectoare pe linie: max. 15.

Produsul are codul intern 1 SIGUR, iar codul de comandă 3715111.

**INSTALAȚIE DE SPĂLARE CU ULTRASUNETE ISU—1**

ISU—1 este destinată curățării unei diversități de piese de dimen-

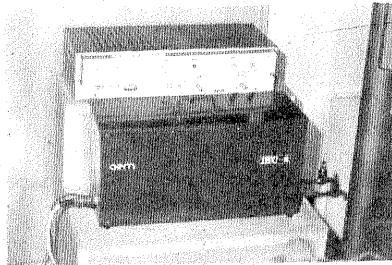
siuni mici și mijlocii (rulmenți, roți dințate, scule, repere din materiale plastice, componente electronice, instrumente chirurgicale etc.) care necesită un grad de curățare foarte ridicat sau care prezintă orificii și zone în care accesul este foarte dificil. Efectul de curățare (datorat fenomenului de cavitație produs de cîmpul ultrasonic în tot volumul de soluție) se manifestă intens pe toată durata imersării pieselor în soluție, pe suprafața lichid-piesă.

**CARACTERISTICI TEHNICE:**

- tensiunea de alimentare: 220 V/50 Hz;
- puterea absorbită: 4 200 VA;
- frecvența de lucru: 20 kHz, reglabilă;
- puterea ultrasonică: reglabilă max. 250 W;
- tip de transductoare ultrasonice: magnetostrictive ceramice;
- dimensiuni cuve: 550 x 165 x 165 mm;
- dimensiuni de gabarit: 650 x 715 x 900 mm;
- masa netă (fără soluție): cca 40 kg.

**SISTEMUL DE TELEGESTIUNE A ENERGIEI ELECTRICE STEE—256**

STEE—256 este un echipament destinat supravegherii consumului de energie electrică al unui consumator sau grup de consumatori pentru folosirea optimă a energiei electrice și încadrarea în normele de consum stabilite. În acest scop, sistemul culege informații de la traductoarele de putere folosite — contoare generatoare de impulsuri (CGI) — și realizează în timp real calculele energetice necesare evaluării consumului de energie electrică, verifică încadrarea consu-



mului în normele stabilite și informează asupra măsurilor ce pot fi luate pentru încadrarea în aceste norme, afișează datele obținute, le tipărește la cerere și semnalizează apariția regimurilor anormale de funcționare.

STEE—256 poate gestiona pînă la 256 CGI, care se pot împărți în maximum 16 grupe, în funcție de structura sistemului energetic al consumatorului respectiv.

Toate mărimile energetice urmărite se raportează în timp la un ceas de timp real, programat la inițializarea pe minut, oră, zi, lună și an.

Pe display se afișează rezultatele procesului de gestiune: puterea momentană totală; puterea medie pe palier planificată și realizată; energia absorbită pe sfert de oră, orar, pe palier, pe ziua curentă și pe ziua precedentă; graficul consumului orar pe ziua curentă, planificat și realizat; corecția de putere; informații privind funcționarea anormală; lista subconsumatorilor depășitori, orar și pe paliere.

La imprimantă se tipărește, la cerere, informația afișată. Semnalizarea se realizează acustic și optic la apariția regimurilor anormale de funcționare sau la neîncadrarea în normele de energie stabilite

**CARACTERISTICI TEHNICE:**

Contoare generatoare de impulsuri (CGI), tip 5TA2CA32GI:

- clasa de precizie: 1; 2; 2,5;
- curent de bază: 5A;
- tensiunea auxiliară: 100 V;
- constanta: 1 920 rot/kWh;
- număr de impulsuri: 4 impulsuri/rot;

● parametrii impulsului: formă dreptunghiulară; amplitudinea 12V±5%;

● gradul de protecție IP 50, conform STAS 5325/79.

CGI TIP 5TA2CA43GI:

- clasa de precizie: 1; 2; 2,5;
- curent de bază: 5A;
- tensiunea auxiliară: 220 V;
- constanta: 960 rot/kWh;
- număr de impulsuri: 4 impulsuri/rot;

● parametrii impulsului: forma dreptunghiulară; amplitudinea 12 V ±5%;

● gradul de protecție: IP 50, conform STAS 5325/79.

În echipamentul livrat, la numărul de CGI și de MT solicitate se livrează modulul de recepție MR și un microcalculator TIM—S dotat, în afara de monitor, cu casetofon și imprimantă.

Pentru informații suplimentare vă rugăm să vă adresați Întreprinderii de Aparate Electrice de Măsurat Timișoara, Calea Buziașului nr. 26, telefon: (961) 64507, 64520, 64536, int. 128 sau 116, telex: 71343.

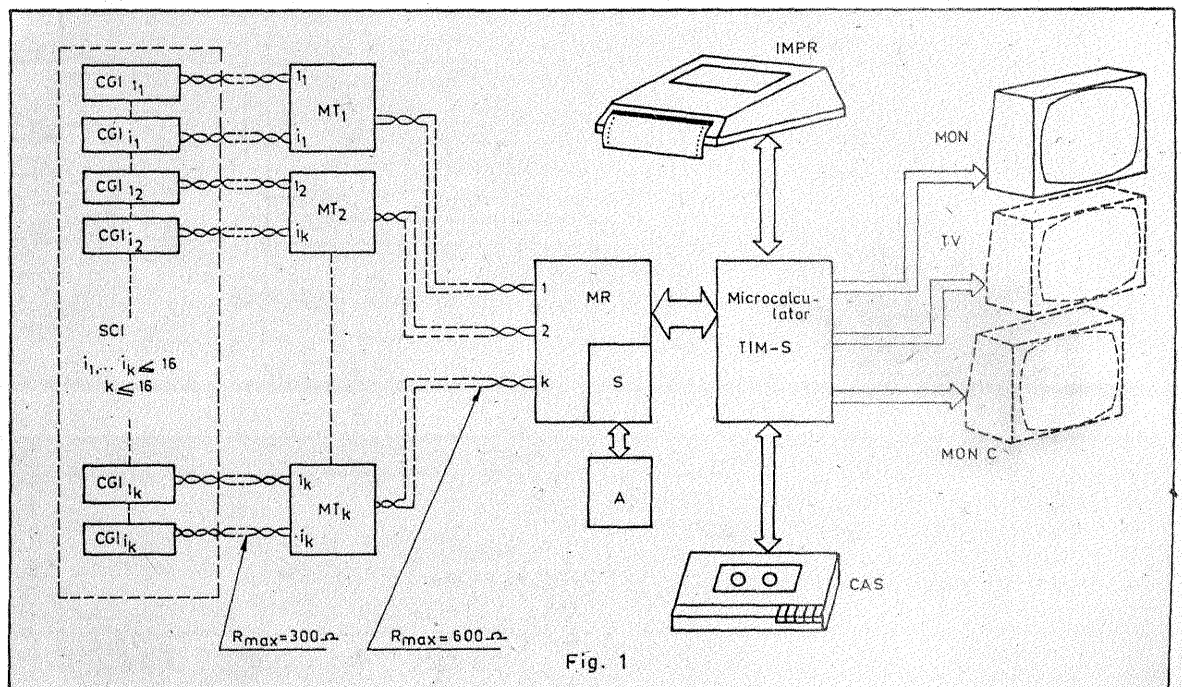
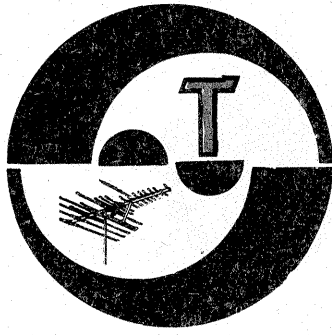


Fig. 1



# SERVICE

**GHITĂ DAN — Pitești**  
Amplificatorul de antenă echipat cu tranzistorul BF960 poate fi folosit în toate cele 12 canale din benzile I—III—TV.

**CONSTANTINESCU MIHAIL — Craiova**  
Circuitul integrat la care vă referiți nu poate fi înlocuit cu un alt circuit integrat.

**MOLDOVAN PETRU — Tg. Mureș**  
La intrarea receptorului sincronă se poate cupla direct cablul de 75 Ω. Un indicator de acord electronic nu vă este folositor.

**MOCEANU MIHAI — Cluj-Napoca**  
Obligativu tranzistoarele din etajul final vor fi montate pe radiatoare de căldură.

**SZÖCS LASLO — jud. Vaslui**  
Măriți tensiunea de alimentare la 6 V sau chiar 9 V și oscilatorul va funcționa.

**CIOLAN VALERIU — Birlad**  
Nu cunoaștem canalele stațiilor de televiziune la care vă referiți. Selectoare de canale și receptoare complete TV puteți procura din magazinele de specialitate. Schema receptorului „Neptun” a fost publicată în „Tehnum” nr 4/1976.

**IACOB CRISTIAN — Pașcani**  
Nu deținem schema la care vă referiți. Antenele descrise în scrisoare

aparțin fanteziei și nu eficienței.

**PIRCEA NELU — jud. Timiș**  
Tranzistorul T2 este BC108(npn), așa cum este notat și în schemă.

**DĂSCĂLESCU CRISTIAN — Iași**  
Vom publica atunci când va oferi cineva colecția „Tehnum”.

**KLUMPNER CRISTIAN — Reșița**  
Construiți un amplificator la care aveți toate datele.

**MÎNDRICEL NICOLAE — București**  
Încercați introducerea semnalului prin borna de pick-up și reglați în așa fel încît nivelul de intrare să fie cît mai mic posibil. Verificați și o înregistrare făcută cu ajutorul microfonului pentru comparație.

**BARBU E. — jud. Dimbovița**  
Alimentat cu o tensiune mai mică, avertizorul nu va funcționa. La aparatul „Gloria” verificați alimentarea primelor tranzistoare.

**PETRESCU EMIL — Zimnicea**  
Tranzistorul 104NU71 poate fi înlocuit cu EFT377.

Pentru alimentarea ceasului construiți un convertor care să livreze tensiune la frecvența de 50 Hz.

**DIRLEA ION — Voineasa**  
Construiți o antenă Yagi.

**GEORGESCU ANDREI — Iași**  
O bună definiție a imaginii obți-

neți reglînd corect circuitele din amplificatorul FI — cale comună.

**BĂRĂNESCU MARIUS — Alba Iulia**  
Nu deținem datele solicitate.

**VIZITEU BENONE — Timișoara**  
Notatiile au următoarele semnificații: RAA — reglaj automat al amplificării; SSB — transmisii cu o singură bandă laterală; CAF — control automat al frecvenței; VFO — oscilator cu frecvență variabilă.

Schema trimisă reprezintă un filtru LC pe gama UUS.

**MARINESCU D. — Reșița**  
Vom publica filtrele pentru telecomandă.

**CHIȘ DORIN — Oradea**  
Condensatoare pentru blitz se găsesc în magazinele cu articole foto.

**GHILĂ GABRIEL — jud. Mehedintzi**  
Ca să absoarbă numai 1 A, amplificatorul trebuie alimentat la o tensiune mai mică.

**BULIGĂ GABRIEL — Comarnic**  
Canalul FIF în care este transpus canalul UIF depinde de frecvența oscilatorului din convertor.

**CORNEA MIHAI — Rădăuți**  
Verificați (eventual înlocuiți) condensatorul de decuplare din grila ecran la tubul ECL82.

I.M.

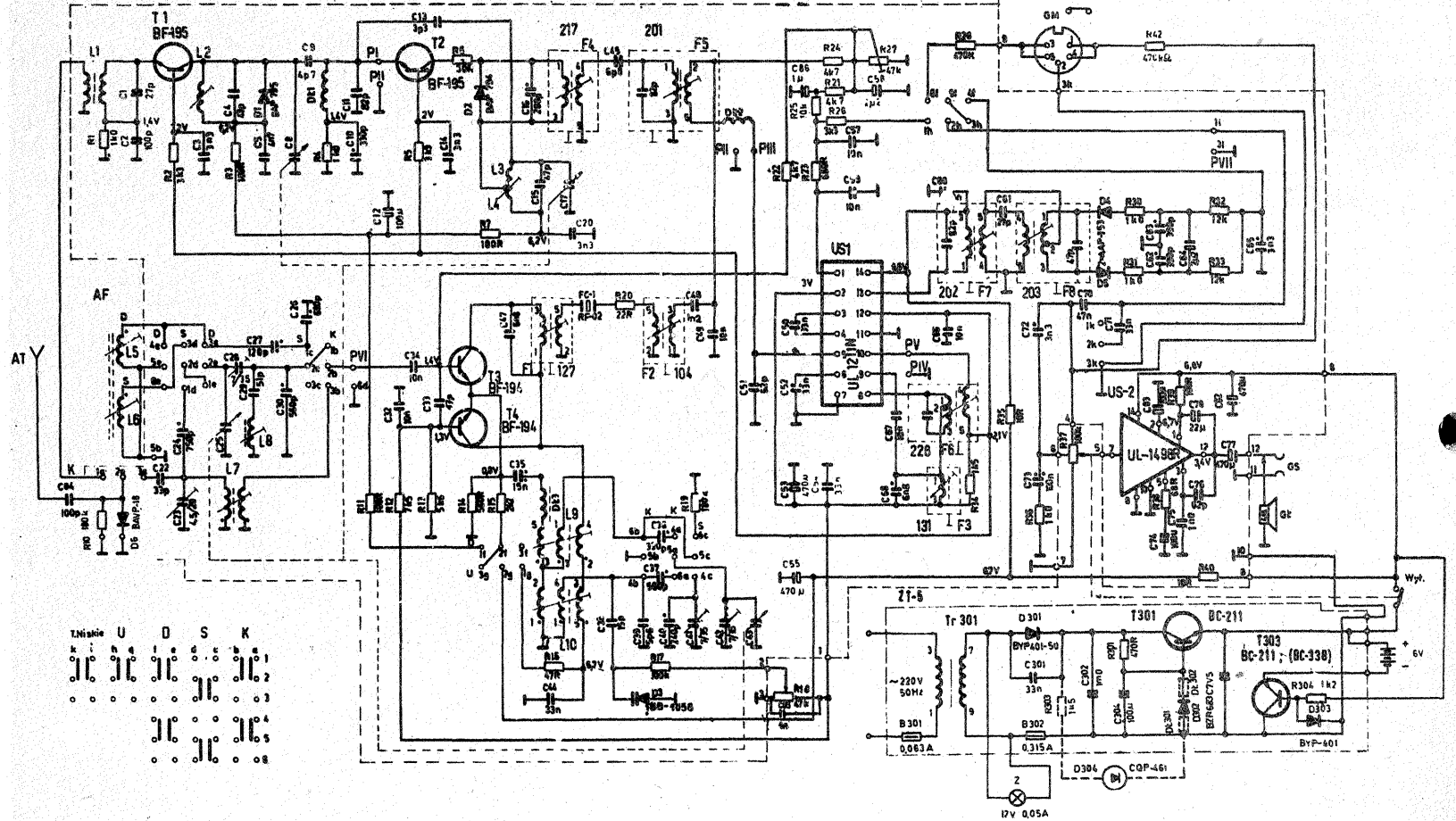
# AZIMUT

**RENEANU DRAGOȘ — Rădăuți**

Radioreceptorul AZIMUT lucrează în UL (165—285 kHz), UM (525—1605 kHz), US (5,95—11,97 MHz) și în UUS (65,5—73 MHz). Semnalul IF—MF are 10,7 MHz,

iar semnalul IF—AM are 465 kHz. Blocul FM este echipat cu două tranzistoare BF195, iar blocul AM două tranzistoare BF194. Amplificatorul conține circuitul integrat UL1211N,

iar amplificatorul final AF circuitul integrat UL1498. Alimentarea cu energie electrică se face cu 6 V din baterii sau de la rețeaua de curent (220V)



**Redactor-șef: ing. IOAN ALBESCU**  
**Redactor-șef adj.: prof. GHEORGHE BADEA**  
**Secretar responsabil de redacție: ing. ILIE MIHĂESCU**  
**Redactor responsabil de număr: fiz. ALEXANDRU MĂRCULESCU**

Administrația  
Editura Știința

**INDEX 44212**

**CITITORII DIN STRĂINĂTATE SE POT ABONA PRIN „ROMPRESFILATELIA” — SECTORUL EXPORT-IMPORT PRESĂ, P.O.BOX 12—201, TELEX 10376, PRSFIR BUCUREȘTI, CALEA GRIVIȚEI NR. 64—66.**

Tiparul executat la  
Combinatul Poligrafic - Casa Științei